

# OLIVAE

المجلة الرسمية للمجلس الدولي للزيتون



مizza أوراق الزيتون، والتركيب الكيميائي لزيوت الزيتون من  
أصول مختلفة، تتبع زيوت الزيتون

# ملخص

يوليو 2014 - OLIVAE 119



دراسة محتوى العناصر الرئيسية والنادرة في ورقة الزيتون  
أكاثار رومان، ر. أموروس، ج. أ. بيريث دي لوس ربيس  
ك. جارثيا نافارو، ف. خ. برافو، س.

صفحة 1

مساهمة في دراسة مماثلة زيوت الزيتون البكر المنتجة في إقليم سايس (المغرب)

م. السياري، ر. زهير، هـ. شيمي

صفحة 8

التصنيف الفيزيائي-الكيميائي للثباتية تجاه الأكسدة لزيوت زيتون الأصناف:  
بيشولين المغربي، حوزية، كورنيكي وأريكيينا الإقليم زراعة الزيتون  
الأوسط بالمغرب (الشاوية وردية)

مليكة هدام ، حمادي شيمي ، عبد الرؤوف عنترى ، محمد زاهويلى ، رقيمة وهبى ،  
عبد العلي زاز ، محمد إبراهيمى وعزيز أمين .

صفحة 21

التركيب من الأحماض الدهنية ومن الجليسيريدات الثلاثية لزيوت الزيتون البكر  
لعدد 34 صنفاً و 8 مسميات منشأ فرنسي وصنفان أجنبيان مزروعان في فرنسا:  
إنشاء بنك معلومات (الجزء I)

دنيس أوليفيه، كريستيان بيناتل، فيرونيك أوليفيه، جاك أرتو

صفحة 34

طريقة جديدة لتحديد منشأ زيوت الزيتون: المورفogram والأنماط المورفولوجية  
(الجزء II)

كريستيان بيناتل ، دنيس أوليفيه، فيرونيك أوليفيه، جاك أرتو

صفحة 45

إن المذكرة ياتي المواردة وعرض المادة في هذه المذكرة لا تمثل تصريحاً لأي وجهة نظر من جانب المجلس الدولي  
لزيتون ب شأن الموقف الفقadero لأي دولة أو بلد  
هاؤ ب شأن ترسيم الحدود أو مدينته أو منطقته أو سلطاته  
الخاصة بهابن مد نوى المقالات التي ظهرت في هذه  
المذكرة لا يعبر بالضرورة عن وجهة نظر الأمانة  
يمكن إعالة تذكرة لمجلس الدول يلزم زيتون  
إعادة نشر المقالات التي ظهرت بالكامل أو جزء منها  
شريط ذكر المصدر.

# دراسة محتوى العناصر الرئيسية والنادرة في ورقة الزيتون

ألكاثار رومان، ر. أموروس، ج. أ، بيريث دي لوس ريسس ك.، جارثيا نافارو، ف. خ.، برافو، س.

مدرسة المهندسين الزراعيين. جامعة كاستيا لا مانتشا. Ronda de Calatrava, 7. 13071 CiudadReal (إسبانيا)

## الملخص

الغرض الأساسي من هذا العمل هو تحليل محتوى العناصر الرئيسية والنادرة في ورقة الزيتون. وستتم أيضًا دراسة تطور تركيز تلك العناصر في الأوراق ذات الأعمار المختلفة. البيانات التي تم الحصول عليها ستتم مقارنتها ببيانات محصول خشبي آخر وهو الكرم.

السمة الجديدة الرئيسية في هذا المقال هي البيانات المتوفرة عن محتوى العناصر النادرة في ورقة الزيتون، مع الأخذ في الإعتبار ندرة المراجع في هذا الملمح على المستوى العالمي.

## 1. مقدمة

قد يكون للتوازن الحيوي للعناصر النزرة، عن طريق المصادر الهوائية، من خلال الأوراق تأثير كبير على تلوث النبات (الزئبق، الكادميوم، ...)، وله أيضاً أهمية كبيرة في تطبيقات التسليم، خاصة لعناصر مثل الحديد، والمنجنيز، والزنك والنحاس. قد تُنقل العناصر النادرة الممتصنة من خلال الأوراق إلى أنسجة النبات، بما في ذلك الجذور، حيث تبدو وقد خرقت فائض من بعض المعادن. تختلف سرعة حركة العناصر النزرة بين الأنسجة اختلافاً كبيراً، اعتماداً على عضو النبات وعمره والعنصر المعنى. في حالة الورقة، يشكل سطح الأوراق عاملاً مهماً يحدد الامتصاص الورقي للعناصر النزرة.

يوجد في دراسة لمحتوى العناصر الغذائية الرئيسية في أوراق شجر الزيتون مراجع كلاسيكية، مثل البيانات المقدمة من فريمان وأخرون. (1994) وبaranko وأخرون. (2008). على الرغم من ذلك، يوجد القليل من الدراسات الخاصة بمحظى العناصر النزرة في ورقة شجر الزيتون: بارانكو وأخرون. (2008) يظهر تطور المحتوى من العناصر النزرة وتفسير مستويات بعض هذه العناصر. وقد بدأ واضعو هذا العمل دراسة هذه العناصر في شجر الزيتون الموجود في مناطق متأثرة بالتعدين (إيجويراس وأخرون، 2012)، على الرغم من عدم التفرقة بين عمر ورقة الزيتون الخاضعة للدراسة.

ويهدف هذا العمل إلى دراسة اختلاف تركيز العناصر الغذائية الرئيسية والنزرة في أوراق شجر الزيتون في المناطق التي قد تكون متأثرة بنشاط تعديني سابق، وذلك بتحديد عمر ورقة المحصول. وهذا سُقّارون محتويات العناصر الغذائية الرئيسية والنزرة لأوراق شجر الزيتون بتلك المحددة سلفاً في أوراق الكرم، ذلك المحصول الخشبي ذو الأهمية البارزة في نفس المنطقة.

## 2. المواد والطرق

### 2.1. منطقة الدراسة وأخذ العينات.

تم أخذ العينات في سبع مناطق مختلفة من مقاطعة ثيوداد ريال (الواقعة بوسط إسبانيا)، داخل صوبية تبلغ مساحتها 70 كم، مع أخذ منجم الزئبق بمدينة المادن كمرجع (انظر جدول رقم 1). تشكل البيانات جزءاً من دراسة مفصلة حول محتوى الزئبق ومدى سميته (إيجويراس وأخرون، 2012). ووُجد أن التربة تحتوي على الخصائص العامة التالية: تربة حمضية دون أية مشاكل خاصة بالملوحة، تغلب عليها التركيبة الرملية الطينية، وتحتوي على نسب قليلة من الكربونات والحجر الجيري النشط، ونسب مختلفة من مادة عضوية.

تشغل بساتين الزيتون في إسبانيا مساحة تقارب من 3 ملايين هكتار بعده يتجاوز 300 مليون شجرة (وزارة الزراعة والغذاء والبيئة، 2010)، وتحتل مقاطعة كاستيا لا مانتشا المركز الثاني في إسبانيا من حيث الإنتاج الإجمالي للزيتون والمساحة الباساتينه، وذلك بعد الأندرس. وترجم الأهمية القصوى لعمل الأبحاث على شجر الزيتون للشأن الزراعي والإقتصادي للمحصول.

تعتبر الكثير من العناصر الكيميائية المعروفة أساسية بالنسبة للنباتات، وتنقسم إلى تلك التي يحتاجها النبات بكميات كبيرة نسبياً (العناصر الكبيرة أو المواد الغذائية الرئيسية)، وتلك التي يحتاجها بكميات صغيرة جداً (مواد غذائية صغيرة وعناصر نزرة)، وقد بُرِز الاهتمام الكبير بها في السنوات الأخيرة، حيث أن بعضها يعتبر أساسياً بالنسبة للنباتات مثل المغذيات الصغيرة. العناصر الرئيسية تبلغنا بالمحتوى الكلي للمكونات الهيكيلية للتربة ومخصباتها (وايلد، 1992، لأنيون وأخرون، 2004، وايت، 2009). العناصر النزرة هي مكونات كيميائية تظهر في التربة بتركيزات أقل من 1000 مجم/كجم) وتعطي معلومات حول الأصل الجيوكيميائي للتربة (جارثيا وأخرون، 2009) والتغيرات السمية المحتملة (كوندي وأخرون، 2009). تُورث هذه العناصر بشكل أساسي من حجر الأساس، ولكن توزيعها داخل قوالب التربة مشروط بعمليات أحوال التربة الوراثية المتنوعة. ومن ناحية أخرى، ينعكس تركيب التربة على النبات وكذلك على منتجاته، ومع ذلك يجب الأخذ بعين الاعتبار أن كل نظام تربى-نباتي قد يحمل اختلافات كبيرة فيما يخص التمثيل الغذائي للعناصر النزرة. هذه العناصر تتدخل في عمليات التمثيل الغذائي الرئيسية، مثل التنفس، والتثبيت واستيعاب بعض العناصر الغذائية الرئيسية (مثل النيتروجين والكربون).

شكل الجذور الطريق الرئيسي لامتصاص العناصر النزرة، على الرغم من أنه لوحظ أن أنسجة أخرى أيضاً يمكن أن تكون لديها القدرة على امتصاص بعض المغذيات والعناصر النزرة. وبشكل عام، فعلاوة على تأثير امتصاص العناصر النزرة في النباتات بالقدرة الخاصة للنبات، فإنه يتأثر أيضاً بعامل التربة، لكونها الأهم بالنسبة لدرجة الحموضة، وجهد الاختزال، والنظام المائي، ومحظى المادة العضوية، والقدرة على تبادل الأيونات الموجبة، وتوازن العناصر الغذائية وتركيز العناصر الأخرى النزرة والرئيسية. بالإضافة إلى ذلك، فإن الظروف المناخية قد تؤثر على معدل امتصاص المعادن النزرة، وعموماً تؤدي زيادة درجة حرارة الجو إلى امتصاص هذه العناصر بصورة أكبر.



**الشكل رقم 1.** أوراق ذات أعوام مختلفة في القديم: أ) أوراق العام "صفر"، ب) أوراق العام "1"، ج) أوراق العام "2".

## 2.2 الطريقة التحليلية

دخلت كل العينات في فرن، على درجة حرارة ثابتة تبلغ 36 درجة مئوية لمدة 10 أيام لجعلها تفقد رطوبتها تماماً. وقد طحنت بمساعدة طاحونة، وتم الحصول على عينة من مسحوق ناعم متوازن. ويستخدم هذا المسحوق لتحديد تركيز العناصر الرئيسية والنزرة من خلال فقد التكليس وطريقة الإشتعاع لأنشعة إكس.

وقد تحقق تكليس العينة في دثر عند 1.100 درجة مئوية، خلال 5 ساعات بانحدار تدفئة يبلغ 10 درجات مئوية/الدقيقة. يعطي فقدان التكليس نسبة من وزن العناصر المتطابقة التي يجب أن تؤخذ بعين الاعتبار عند تحديد نسب العناصر الرئيسية والنزرة التي تم الحصول عليها عند الاستشعار.

واستخدم في طريقة استشعار أشعة إكس مقياس طيف تجاري (Philips)، موديل Magix Pro بقطب موجب من الروديوم في أنبوب أشعة إكس) والذي يمكنه العمل بطاقة قصوى تبلغ 4 كيلو وات. وجرى تقييم مراقبة الجودة من خلال التحليل المكرر المطابق للعينات المعتمدة من المرجع (BCR-62). وأخيراً، تم استخدام برنامج للمعالجة الإحصائية والرسوم البيانية Microsoft Office Excel 2007.

## 3. النتائج والمناقشة

### 3.1 العناصر الرئيسية

تنعكس المحتويات المتوسطة من العناصر المسيطرة في الورقة في الجدول رقم 2. بمقارنة القيم التي تم الحصول عليها بتلك الموجودة في المصادر المرجعية (فريمان وآخرون، 1994، بارانكو وآخرون 2008)، قد وجدت معظم المواد الغذائية الرئيسية بكثيارات مناسبة.

**جدول رقم 1.** موقع مناطق أخذ العينات في مقاطعة ثيوداد ريال في إسبانيا، وبعد كل منطقة عن منجم المادن.

المنطقة	الوصف	الإحداثيات	المسافة (كم)
1	Almadén, Avenida de la Libertad	X: 340.054 Y: 4.293.486	0.433
2	Almadén, Carril del Norte	X: 340.075 Y: 4.293.871	0.380
3	Chillón, polígono 1 parcela 614	X: 337.813 Y: 4.294.755	2.052
4	Almadenejos, Calle Carretas	X: 351.507 Y: 4.289.240	12.628
5	Fontanosas (Abenajar) polígono 37, parcela 243	X: 366.656 Y: 4.291.811	27.012
6	Almodóvar del Campo, polígono 71, parcela 739	X: 390.909 Y: 4.285.415	51.870
7	Picón, polígono 9, parcela 69	X: 407.999 Y: 4.324.209	74.769

من كل منطقة من تلك المناطق تم أخذ عينة من ورق أربع شجرات زيتون مختلفة أثناء الأسبوع الثاني من شهر مايو لعام 2010، للإسقادة من البراعم الجديدة لشجر الزيتون وهكذا يتم تسهيل أخذ عينات الأوراق للسنة الأولى. تم اختيار عدد من البراعم تتراوح بين 30-35 من كل شجرة زيتون، وكانت على ارتفاع 1.20 م وذلك في محاولة للحصول على ورق كافي مثل لكل سنة من أجل دراسته. بهذه الطريقة تم الحصول على أوراق لأعوام مختلفة قديمة، أوراق خاصة بالعام الحالي (سنة 0)، أوراق مر عام على تكوينها (سنة 1) وأوراق مر عامين على تكوينها (سنة 2).

بمجرد أخذ العينات في الحقل، يتم حملها إلى المعمل حيث يتم حفظها في جو بارد حتى يتم فصل الأوراق على أساس العام (الشكل رقم 1). ولذلك كان من الضروري تمييز كل برعم على أساس الأعوام المختلفة للأوراق: مثل أوراق العام "صفر" تم جمع تلك الأوراق الموجودة في نهاية البرعم، ذات اللون الأخضر الواضح والحجم الصغير، ذات سمات خاصة ومميزة عن الأوراق حديثة النمو. أوراق العام "1"، هي تلك الأوراق التي نمت في الجزء المركزي للبرعم، ذات لون أخضر أدق من تلك الخاصة بالعام "صفر"، ذات حجم متوسط. وأخيراً، أوراق العام "2"، وهي تلك التي نمت في الجزء بعيد من رأس البرعم، ذات حجم كبير ولون أخضر أدق من باقي العينات.

**الجدول رقم 3. القيمة المتوسطة للعناصر الغذائية الرئيسية والنزرة في ورقة شجرة الكرم.**

(آموروس وأخرون، 2011)

العنصر الرئيسي النزرة في ورقة شجرة الكرم. المقدار المكافئة (جم) كم	العنصر النزر النزرة في ورقة شجرة الكرم. المقدار المكافئة (جم) كم	العنصر الرئيسي النزرة في ورقة شجرة الكرم. المقدار المكافئة (جم) كم
الفاناديوم	الفالنتين	الصوديوم
5.183	الكرم	الماغنيسيوم
2.783	الكوبالت	الألومنيوم
2.050	النيكل	السيليكون
15.617	الزنك	الفسفور
3.917	الروبيديوم	الكبريت
133.550	السترونتيوم	البوتاسيوم
4.250	النيوبيوم	الكالسيوم
5.450	السيزريوم	المنجنيز
39.483	الباريوم	الحديد
10.767	السيريوم	
3.550	الرصاص	
4.300	النيوديميوم	

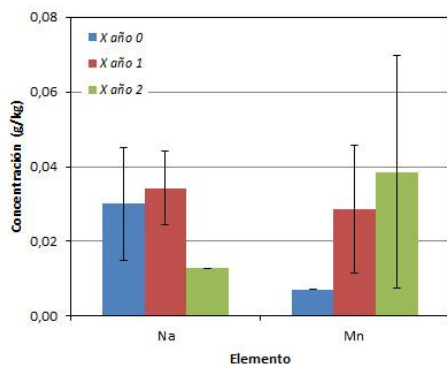
القيم التي تم الحصول عليها في تراكم العناصر الرئيسية في ورقة ما لمدة عام (شكل رقم 2) تُظهر سلوك مشابه لتلك الموجودة في المراجع المتخصصة (بارانكو وأخرون، 2008). يمكن ملاحظة ترکيز أعلى للكلور والفسفور والبوتاسيوم في الأوراق الأصغر وذلك يرجع لحركة هذه العناصر ولأنها تنتقل إلى المناطق ذات الكثافة الأعلى بالنسبة للتمثيل الغذائي. ومع ذلك فإن الماغنيسيوم أيضاً يعتبر عنصر متحرك يظهر بتركيز أكبر في الأوراق القديمة. وعلى الرغم من أن المنجنيز والحديد والكالسيوم والكبريت عناصر قليلة الحركة (باستثناء الكبريت ففرقة حركته متغيرة) فإنها تتصرف بنفس طريقة الماغنيسيوم، وذلك لأن الكالسيوم عنصر أساسي في تكوين الجدار الخلوي. يبقى ترکيز باقي العناصر ثابت إلى حد كبير في الأوراق من مختلف الأعمار.

**الجدول رقم 2. متوسط محتوى العناصر الرئيسية في الورقة (جم/كجم).**

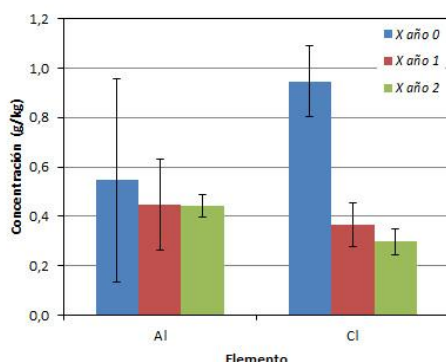
العنصر	$\bar{X}$ سنة "صفر"	$\bar{X}$ سنة "٢"	$\bar{X}$ الورقة	$\bar{X}$ الورقة (جم/كجم)
الصوديوم	0.030	0.034	0.013	0.026
الماغنيسيوم	1.503	2.489	2.346	2.112
الألومنيوم	0.546	0.449	0.444	0.480
السيليكون	1.149	1.313	1.133	1.198
الفسفور	3.594	2.406	2.123	2.708
الكبريت	3.827	4.213	4.191	4.077
البوتاسيوم	11.781	7.521	7.724	9.009
الكالسيوم	10.180	23.850	23.843	19.291
المنجنيز	0.007	0.029	0.039	0.025
الحديد	0.110	0.160	0.166	0.145
الكلور	0.947	0.367	0.299	0.538

للحصول على لمحة عامة لمعنى مستويات تركيز هذه العناصر في ورقة شجر الزيتون، من المهم مقارنة القيم المتوسطة التي تم الحصول عليها بتلك الموجودة في مراجع ورقة المحاصيل الخشبية الأخرى مثل الكرم (آموروس وأخرون، 2011). تُظهر هذه القيم في الجدول رقم 3.

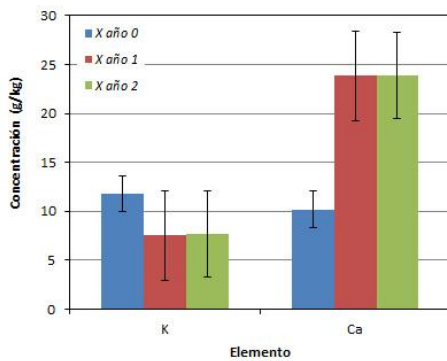
يمكن ملاحظة أن مستويات الصوديوم والماغنيسيوم والسيليكون والكالسيوم والمنجنيز وال الحديد في الكرم (0.075 جم/كجم، 4.420 جم/كجم، 27.502 جم/كجم، 0.102 جم/كجم، 0.102 جم/كجم، 7.336 جم/كجم، على التوالي) أكبر من تلك الموجودة في ورقة شجرة الزيتون. وعلى الرغم من ذلك، فإن المستويات المتوسطة للفسفور والكبريت (1.793 جم/كجم، 2.215 جم/كجم، 8.200 جم/كجم، 2.215 جم/كجم، على التوالي) أقل من تلك الموجودة في ورقة شجرة الزيتون. أما الألومنيوم فيوجد بنساب مشابهة في كل من شجر الكرم وشجر الزيتون.



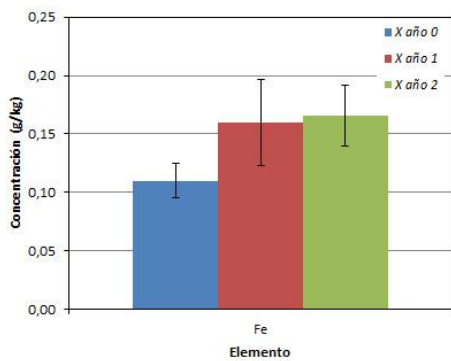
(ب)



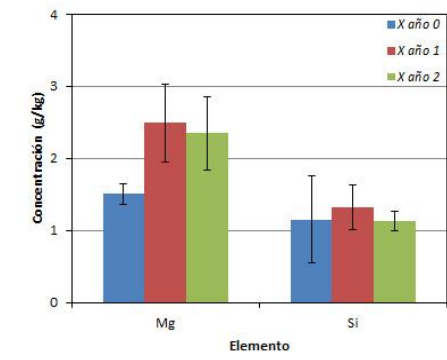
(ج)



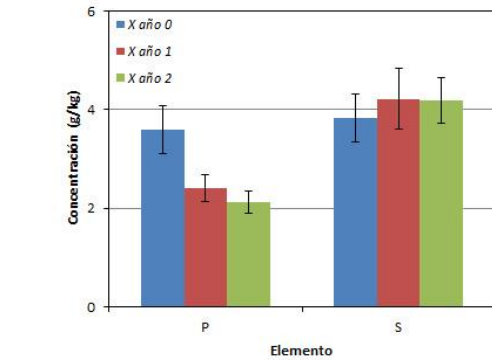
(د)



(هـ)



(و)



(بـ)

التراكز (جم/كجم)  
العنصر  
السنة

Concentración (g/kg)  
Elemento  
año

### 3.2. العناصر النزرة

المحتويات المتوسطة للعناصر النزرة في الورقة تظهر في الجدول رقم 4، باستثناء المحتويات الخاصة بالعناصر التالية: السكائديوم، والزركونيوم، والتنجستن، والهفنيوم، والغاليوم، والإتريوم، والبيورانيوم، والزيرنيق، حيث توجد خارج حدود الكشف عن التقنية المستخدمة.

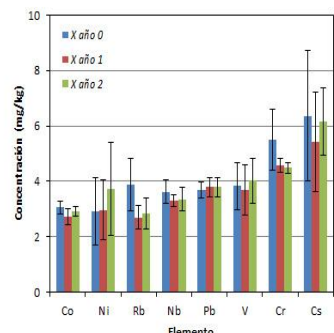
الشكل رقم 2. محتوى العناصر الرئيسية معبّراً عنها

بـ جم/كجم، في أوراق الأعوام "صفر"، و"1"، و"2":

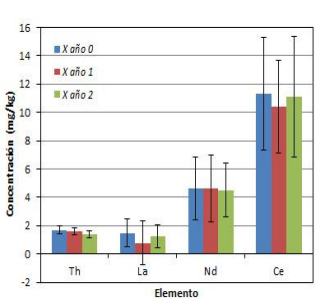
(أ) الألومنيوم والكلور، (ب) الصوديوم والمنجنيز، (ج) الحديد، (د) البوتاسيوم والكالسيوم، (هـ) الفسفور والكربونات، (و) الماغنيسيوم والسيликون.

**جدول رقم 4. متوسط محتوى العناصر النزرة في الورقة (مجم/كجم)**

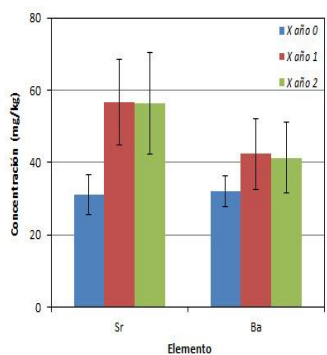
العنصر	$\bar{X}$	"2" السنة $\bar{X}$	"3" السنة $\bar{X}$	"ستة" سفر $\bar{X}$
الفاناديوم	3.848	4.029	3.686	3.829
الكرום	4.857	4.486	4.571	5.514
الكوبالت	2.900	2.914	2.729	3.057
النيكل	3.205	3.714	2.971	2.929
النحاس	20.295	22.914	18.571	19.400
الزنك	22.657	20.414	21.157	26.400
الرُّوبِيدِيُوم	3.143	2.843	2.700	3.886
السترونتيوم	48.014	56.257	56.700	31.086
النيوبيوم	3.429	3.357	3.300	3.629
السيزيوم	5.981	6.157	5.414	6.371
الباريوم	38.600	41.357	42.443	32.000
اللثانيوم	1.152	1.214	0.757	1.486
السيريوم	10.929	11.086	10.386	11.314
الرَّصاص	3.762	3.800	3.800	3.686
الثوريوم	1.576	1.414	1.614	1.700
التيوديميوم	4.576	4.500	4.629	4.600



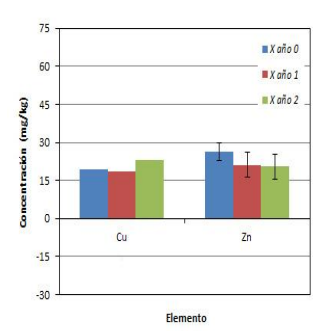
(ب)



(ج)



(د)



(ج)

التركيز (جم/كجم)  
العنصر  
السنة

Concentración (g/kg)  
Elemento  
año

الشكل رقم 3. محتوى العناصر النزرة معيّراً عنه بـ مجم/كجم في أوراق الأعوام "صفر"، و"1"، و"2": (أ) الثوريوم، واللثانيوم، والنبيوديميوم والسيريوم، (ب) الكوبالت، والنحاس، والرُّوبِيدِيُوم، والنبيوديميوم، والرَّصاص، والنحاس والنبيوديميوم، (ج) السترونتيوم والباريوم، (د) السترونتيوم والباريوم.

#### 4. الخاتمة

انطلاقاً من النتائج التي تم الحصول عليها في هذا العمل، يمكن الاستنتاج بأن معظم العناصر الرئيسية توجد في محتويات عادية بأوراق شجر الزيتون في السبع مناطق اللاحئ تم تحليتها، بغض النظر عن عمر الورقة، مع ملاحظة وجود نسبة عالية من الكالسيوم والبوتاسيوم . العناصر الأكثر حرارة (الكلور، والفسفور والبوتاسيوم) تتركز في الأوراق الأصغر، ماعدا في حالة المنجنيز حيث يتركز في الأوراق الأقدم، وهو نفس عمر العناصر القليلة الحرارة (المنجنيز، والحديد، والكالسيوم والكربون).

ونظراً لندرة المراجع الموجودة فيما يخص تركيز تلك العناصر في ورقة شجر الزيتون تمت مقارنة النتائج التي تم الحصول عليها بمحتويات العناصر النزرة في ورقة الكرم (جدول رقم 3). يمكن ملاحظة أن مستويات الفاناديوم، والكرום، والنبيوديميوم، والباريوم في الكرم (6.933 مجم/كجم، 10.929 مجم/كجم، 3.762 مجم/كجم، 1.576 مجم/كجم، 4.576 مجم/كجم على التوالي) أعلى مما هي عليه في الزيتون، وفي حالة السترونتيوم نجد المحتوى أعلى نسبياً (133.550 مجم/كجم) عن محتوى ورقة الزيتون (48.014 مجم/كجم). وعلى الرغم من ذلك فإن القيم المتوسطة للنيكل والنحاس في الكرم (2.050 مجم/كجم، 15.617 مجم/كجم على التوالي) أقل من تلك الموجودة في شجر الزيتون (3.205 مجم/كجم، 22.657 مجم/كجم على التوالي). توجد باقي العناصر بنسب مقاربة في كلا المحسولين.

في الشكل رقم 3 تظهر النتائج التي تم الحصول عليها للعناصر النزرة (مجم/كجم) وفقاً لعمر ورقة شجر الزيتون وكذلك الانحراف المعياري، ماعدا في حالة النحاس، حيث لا يعكس هذا المعيار بسبب القاوات الكبير الذي يحدث نتيجة لإجراءات الصحة النباتية التي تُجرى في محصول شجر الزيتون.

وفقاً للنتائج التي تم الحصول عليها يمكن ملاحظة تركيز أعلى للكروم والنحاس والرُّوبِيدِيُوم والثوريوم في الأوراق الجديدة، ومن خلال ذلك يمكن استنتاج أن لهذه العناصر علاقة بعملية التمثيل الغذائي للنبات. بالنسبة إلى النحاس والنحاس والسترونتيوم والباريوم، فإن تركيزهم أعلى في الأوراق القديمة بسبب احتواهم على عناصر صعبة الإفراز بالنسبة للنبات. اللثانيوم والسيريوم يقومان بحركة متغيرة في الورقة، بينما يعتبر سلوك باقي العناصر ثابتاً نسبياً على مدار الثلاث سنوات.

الزيتون والكرم، يخلص إلى أن السترونتيوم، والباريوم، والفالانديوم، والكروم والنيوبيوم، توجد بكميات مرتفعة في أوراق الكرم مقارنة بأوراق شجر الزيتون. على الرغم من ذلك، فإن قيم النيكل والزنك في الكرم أقل من ذلك. توجد باقي العناصر بنسب مترابطة في كلا المحمولين.

مستقبلًا يجب تعزيز معرفة محتويات هذه العناصر في المحاصيل الممتدة، كما في شجر الزيتون، بهدف فهم حركتها واستخداماتهم المحتملة كبصمة جيوكيميائية للأرض في زيوت الزيتون التي يتم طرحها في الأسواق، وضمان أصالتها بهذه الطريقة.

عند مقارنة متوسط كميات هذه العناصر بالكرم وجد أن مستويات الصوديوم، والماغنيسيوم، والسيликون، والكلاسيوم، والمنجنيز، والحديد أكبر في هذا المحصول الأخير من محصول شجر الزيتون. وعلى الرغم من ذلك، فإن القيم المتوسطة للنفسور، والكيريت والبوتاسيوم في الكرم أقل، ووجود الألومنيوم بكميات متشابهة في كلا المحمولين.

بالنسبة للعناصر النزرة، فإن تطور تركيز هذه العناصر على مر العصور يشير إلى أن محتويات النيكل، والنحاس، والسترونتيوم والباريوم تزيد بهذا المعيار، أما الكروم، والزنك، والروبيديوم، والزركونيوم، والهافنيوم والثوريوم فتقع نسبتها. بمقارنة متوسط محتويات العناصر النزرة في أوراق

## المراجع

- Higueras, P., Amorós J.A. , Esbrí J.M., García-Navarro F.J., Pérez de los Reyes C., Moreno G. (2012). "Time and space variations in mercury and other trace element contents in olive tree leaves from the Almadén Hg-mining district". Journal of Geochemical Exploration 123, 143-151.
- Lanyon, D., Cass, A., Hansen, D. (2004) "The Effect of Soil Properties on Vine Performance", CSIRO Land and Water Technical Report, 34/04.
- MAAMA (Ministerio de Agricultura, Alimentación y Medio Ambiente). El olivar español., Agencia para el Aceite de Oliva. Dirección web: [http://aplicaciones.mapa.es/pwAgenciaAO/OlivarEspanol.aa?opcion\\_seleccionada=2100&idoma=ESP&numPagina=210](http://aplicaciones.mapa.es/pwAgenciaAO/OlivarEspanol.aa?opcion_seleccionada=2100&idoma=ESP&numPagina=210)
- White, R.E. (2009) "Understanding Vineyard Soils", Editorial Oxford University Press, Reino Unido, 230.
- Wild, A. (1992) "Condiciones del Suelo y el Desarrollo de las Plantas según Russel", Editorial Mundiprensa, Londres.
- Amorós, J.A., García Navarro F.J., Pérez de los Reyes C., Campos Gallego J.A., Bravo Martín-Consuegra S., Jiménez Ballesta R., García Moreno R. (2012) "Geochemical influence of soil on leaf and grape (*Vitis vinifera L. 'Cencibel'*) composition in La Mancha region (Spain)". Vitis 51(3) 111-118.
- Barranco, D., Fernández-Escobar, R., Rallo L. (2008) "El cultivo del olivo", 6a ed., Editorial Mundiprensa, Madrid.
- Conde, P., Martín, J., De la Horra, J., Jiménez-Ballesta, R. (2009) "Trace elements contents in different soils of a semiarid mediterranean environment: Castilla-La Mancha, Spain", Fresenius Environmental Bulletin, 18 (5), 858-867.
- Freeman, M., Uriu, K., Hartmann, H.T. (1994) "Olive Production Manual: Diagnosing and correcting nutrient problems", 2<sup>a</sup> ed., University of California.
- García, F.J., Amorós, J.A., Sánchez, C., Jiménez-Ballesta, R. (2009) "Red soil geochemistry in a semiarid mediterranean environment and its suitability for vineyards", Actas VII Congreso Ibérico de Geoquímica, 315-324.

# مساهمة في دراسة مماثلة زيوت الزيتون البكر المنتجة في إقليم سايس (المغرب)

م. السياري<sup>1</sup>, ر. زهير<sup>1</sup>, هـ. شيمي<sup>2</sup>

<sup>1</sup>: قسم البيولوجي، كلية العلوم، جامعة مولاي اسماعيل - ميكناس

<sup>2</sup>: قسم العلوم الغذائية والتغذية، معهد الحسن الثاني للزراعة والبيطرة، الرباط

## نبذة مختصرة:

تهدف هذه الدراسة إلى تحليل تأثير مكان الزراعة على جودة زيت الزيتون لأربعة أصناف (بيشولين المغربي وأريبيكين وحوزية ومينار) المزروعة في منطقتين مختلفتين من حيث التربة والمناخ. المتغيرات التي سيتم مراجعتها هي الخصائص الكربومترية ومؤشر النضج والخصائص الفيزيائية الكيميائية (المحتوى من الزيت والحموضة الحرة ومؤشر الأكسيد الفوقي، والامتصاص للأشعة فوق البنفسجية، الأحماض الدهنية ومادة الأستيرول).

النتائج التي تم الحصول عليها تبين أن مكان الزراعة يؤثر على تاريخ الحصاد وكمية وجودة الزيت. صنفت الزيوت التي تم تحليلها في فئة "البكر الممتاز". وزن ثمار زيتون 4 أصناف بالمنطقة 1 (عين طاوجدات، إقليم الحاجب) أعلى منه في المنطقة 2 (آيت ولال، إقليم ميكناس). تأثرت الخصائص الكربومترية بالصنف ومكان الزراعة.

الصنفان مينارا وحوزية لهما محتويات أعلى من الزيت بالتتابع خلال حملتي 2010/11 و 2011/12. فيما يتعلق بالنسبة المئوية للحموضة، في حملة 11/2010، يوجد اختلاف طفيف بين الزيوت الناتجة عن زراعات الزيتون في المنطقة 2 مقارنة بالزيوت الناتجة عن المنطقة 1. وسُجل نفس التوجه خلال حملة 12/2011 باستثناء الصنف أريبيكين. مؤشر الأكسيد الفوقي يبين لنا حالة تأكسد الزيوت. هذا المؤشر مرتفع في زيت الصنفين أريبيكين وحوزية بالمنطقة 1 مقارنة بزيوت نفس الأصناف بالمنطقة 2، والحالة هي عكس ذلك في صنفي بيشولين المغربي ومينارا.

نتائج الامتصاص في الأشعة فوق البنفسجية تُظهر أن، زيت الحملتين لهما درجات امتصاص تتتوافق مع القيم التي توصي بها مواصفة المجلس الدولي للزيتون.

التركيب من الأحماض الدهنية لزيوت الزيتون المختبرة متغير ويتأثر بوضوح بالعامل التنويعي. خلال الحملتين، وُجد أن معدلات حمض الزيتيك منخفضة بالنسبة لصنف أريبيكين ومرتفعة بصورة طفيفة بالنسبة لصنف بيشولين المغربي. وتظل هذه المعدلات متوسطة بالنسبة لصنفي حوزية ومينارا.

المحتويات من مادة الأستيرول لزيوت في المنطقتين تُقارن بتلك الخاصة بالمجلس الدولي للزيتون وتوضح وجود تفوق طفيف للكامبستيرول في صنف أريبيكين.

إجمالاً، يمكن استخدام التوصيف الجغرافي من أجل اختيار زيت بجودة ممتازة تلبي معايير الأسواق المحلية والعالمية.

**كلمات مفتاحية:** الخصائص الكربومترية، الثوابت الفيزيائية الكيميائية، المناطق من حيث التربة والمناخ.

**مقدمة**

**الخامات والطرق**  
**جرت الدراسة أثناء الحملات الزراعية 2010/11 و 2011/12** في إقليم سايس (المغرب). يُعرف هذا الإقليم بموروثه من زراعة الزيتون المنتوحة والهامة.  
 المواد النباتية التي استخدمناها في دراستنا تتكون من ثلاثة أصناف مغربية: بيشولين المغربي (**الصنف 1**), حوزية (**الصنف 3**) ومينارا (**الصنف 4**) وصف أحجني: أربيكين (**الصنف 2**). هذه الأصناف، مع تفعيل خطة المغرب الأخضر، تطورت بشكل سريع سواء من ناحية الإنتاج أو إضفاء القيمة.

1. عينات الزيتون وزيت الزيتون:

  - 1.1. عينات الزيتون  
 بالنسبة لمؤشر النضج والخصائص الكربومترية، تم تنفيذ تجميع العينات كل أسبوع خلال فترة تبدأ من **10 تشرين الثاني/نوفمبر** حتى **12 كانون ثاني/يناير** (حملتي 11/2010 و 12/2011).  
 المناطق المختارة، هي بساتين الزيتون في عين تاووجطات في مقاطعة الحاجب (**المنطقة 1**) وتلك الخاصة بait و لال في مقاطعة ميكاناس (**المنطقة 2**).  
 تمأخذ عينات الزيتون بمستوى طول الإنسان على كل ورق الشجرة وكل عينة تتكون من حوالي كيلو غرام واحد من الزيتون.

**1.2. عينات زيوت الزيتون**  
 لهدف تحديد الخصائص الفيزيائية-الكيميائية للزيوت الناتجة على مستوى بساتين الزيتون في نفس مناطق الدراسة، جرى تنفيذ أخذ عينات الزيوت في نفس فترة أخذ عينات الزيتون من خلال وحدات الهرس ثنائية المراحل المقامة في المناطق المذكورة.

2. التحاليل التي جرت على الزيتون:
- 2.1. مؤشر نضج الزيتون (IM).  
 هي طريقة مطورة بواسطة المعهد الوطني للبحوث الزراعية (Inra)-محطة خيان (إسبانيا)، وهي ترتكز على تقدير تلوين عدد 100 زيتونة كثينة ماخذة عشوائياً على عينة مقدارها كيلوغرام واحد. تم تقسيم هذا الزيتون على 8 فئات بداية من زيتون بأدمة شديدة الأخضر حتى زيتون بأدمة سوداء ولب بنفسجي بشكل كامل.

يتم حساب هذا المؤشر كما يلي:  

$$IM = \frac{\text{نضج الزيتون}}{\text{مؤشر}}$$

مع ، ب، ج، د، ه، و، ز، ح تتوافق مع عدد الزيتون المنتمي إلى الفئات 0، 1، 2، 3، 4، 5، 6، 7 و 8.

خصائص كل فئة هي:  
 أ: أدمة شديدة الأخضر  
 ب: أدمة خضراء مصفرة  
 ج: أدمة خضراء مع بقع محمرة في أقل من نصف الثمرة (بداية النضج)

- د : أدمة محمرة أو بنفسجية في أكثر من نصف الثمرة (نهاية النضج)  
 ه : أدمة سوداء ولب أبيض  
 و : أدمة سوداء ولب بنفسجي في أقل من نصف الثمرة  
 ز : أدمة سوداء ولب بنفسجي بدون بلوغ النواة  
 ح : أدمة سوداء ولب بنفسجي بشكل كامل.

**2.2. الخصائص الكربومترية للزيتون.**  
 من عينة 100 ثمرة، حددنا وزن الثمرة والنواة واللب بواسطة ميزان دقيق (شيمي و آخرون، 1993).

تشكل شجرة الزيتون الأصول المثمرة الأساسية في المغرب، بمساحة 920.000 هكتار. هذا القطاع، الذي يمثل أكثر من 57% من الزراعة الشجرية الوطنية، يمتد على كامل الأراضي الوطنية، باستثناء شريط ساحلي على المحيط الأطلسي، بسبب قدراته على التكيف مع طبقات التربة والمناخ.

سجل الناتج الوطني من الزيتون المحقق في 2008/09 و 2009/2010 ارتفاعاً بالتتابع قدره 1.500.000 و 1.200.000 طن/عام. يخصص منه حوالي 65% للهرس. والباقي (%) 35 يوزع بين التعليب والاستهلاك الذاتي.

يشكل قطاع الزيت من وحدات حديثة وطواحين تقليدية "معصرة". يتركز نصف هذه الوحدات في إقليم فاس وميكاناس وماراكش. قدر متوسط إنتاج الزيت (في الفترة 2004-2008) بمقدار 160.000 زيت الزيتون، الموجه بشكل أساسى للسوق المحلي، يمثل ما يقرب من 75% من الإنتاج ويسهم في سد عجز الدولة فيما يتعلق بالزيوت الغذائية بحوالي 17%. تظل صادرات زيت الزيتون ضعيفة بسبب الكمية والجودة المطلوبة. فضلاً عن ذلك، فإن عدم ثبات معدلات الإنتاج على الصعيد الوطني لا يمكن أن يؤدي إلى إيجاد تعاقديات ثابتة مع العملاء الأجانب المطالبون بكميات وجودة ثابتة ومنتظمة في ذات الوقت.

مع تفعيل خطة المغرب الأخضر، حدث تطور سريع لقطاع الزيتون كما وكيفاً على السواء. في هذا الإطار، تأتي الخطة الزراعية الإقليمية ميكاناس-تافيلالت، التي تنظر بعين الاعتبار إلى ظروف التربية والمناخ وتتوفر وحدات الهرس في إقليم سايس، واحتل هذا القطاع جانباً هاماً من جهة توسيع المساحات المنزرعة وإضفاء القيمة على زيت الزيتون. في نفس هذه الظروف والتتنوع التبايني، تتغير الإنتاجيات من زيت الزيتون والزيوت من منطقة لأخرى تبعاً للمناخ المحلي وأنواع التربة (كافوسوكلو وآخرون، 1994) والارتفاع (م. معرض، 2005). الأصناف المختارة في بحثنا هي: بيشولين المغربي وحوزية ومينارا وأربيكين. هذه الأصناف توفر نسبة مئوية كبيرة على مستوى بساتين الزيتون في سايس وعليها طلب كبير من مزارعي الزيتون.

تلعب الجودة دوراً أساسياً في التداول التجاري لزيت الزيتون البكر. تتأثر هذه الجودة بعدة عوامل، وبخاصة، الصنف (فونتانا)، 1988: نورحية، 1989)، الممارسات الزراعية الجيدة، التاريخ الحصاد (م، رحماني وآخرون، 1997)، مكان الزراعة (أ. رانالي، وآخرون، 1999)، جودة الزيتون المهروس، إجراء الاستخلاص (دي جيوفاشينو ل، 1996، رحماني، م، 1996، شيمي، ه، 2006) وتخزين الزيوت (مونتيورو، 1989، سيماتو، 1990، 1993، رحماني، 1993، انكليز، 1994، كوتسيكيس، 2000، شيمي، ه، 2006).

في هذا السياق، فإننا نقوم في هذا العمل بتقييم الخصائص الفيزيائية-الكيميائية ومماطلة زيوت زيتون أربعة أصناف زيت ممزوجة في منطقتين مختلفتين بإقليم سايس (مقاطعتي ميكاناس وال حاجب) وهي للعلم (عين تاووجطات وait و لال). يأتي هذا الإقليم كمنطقة زراعة زيتون بأكثر من 30.000 هكتار من بينها 40% مروية. يتميز القطاع برأس ماله الإنتاجي والتوزع السريع لبنيته التحتية الزراعية الصناعية. تهدف الخطة الزراعية الإقليمية (PAR) بدقة إلى توسيع رقعة زراعة الزيتون. ثوابت الجودة المدروسة هي: مؤشر الحموضة ومؤشر الأكسيد الدهني والانطفاء النوعي والأحماض الدهنية ومادة الأستيرول. تنوع هذه الثوابت من حملة لأخرى تبعاً للمناطق الجغرافية لكل صنف مدروس.

حمض دهني في العينات المرجعية تبعاً لطريقة المجلس الدولي للزيتون (COI/T.20/Doc. n° 24).

**3.5. مادة الأستيرول**  
طريقة التحديد، بواسطة التحليل الكرومومتوغرافي في الحالة الغازية على أنبوب شعري، لتركيب المكون المakanî للأجسام الدهنية من أصل حيواني ونباتي.  
تقوم الفكرة على تصفين عينة اختبار واستخلاص الأجزاء غير القابلة للتصفين وعزل مادة الأستيرول بواسطة التحليل الكرومومتوغرافي لطبقة رقيقة، وتحليل مادة الأستيرول المعزولة أو المشتقة المجهزة من خلالها بواسطة التحليل الكرومومتوغرافي في الحالة الغازية (المجلس الدولي للزيتون، COI/T.20/Doc. n° 24). (30)

**4. التحليل الإحصائي**  
تم التحليل الإحصائي للبيانات المقاسة من خلال الإحصائيات الوصفية، باستخدام برنامج Statistica الإصدار 10.0. الهدف هو قياس كافة المعلومات والنتائج على شكل منحنيات موحدة لإتاحة تسهيل التفسيرات والعرض العياني للفرق بين الفروقات الكبيرة بين مختلف المتغيرات النوعية والكمية الخاضعة الدراسة.

#### النتائج والنقاشات

##### I. مؤشر النضج

يزداد نضج الزيتون تبعاً لنقدم تواريخ أخذ العينات ويتغير من منطقة لأخرى تبعاً لظروف التربية والمناخ (هشمي وأخرون، 2007). يبين الشكل 1 وتطور مؤشر نضج أربعة أصناف في مناطقين مختلفتين أثناء حملتي 2010/11 و2011/12. وفقاً للنتائج، فإن جميع الأصناف محل الدراسة ظهرت مبكراً في المنطقة 1 مقارنة بالمنطقة 2.

خلال حملة 2010/11، في المنطقة 1 ينتقل مؤشر النضج على التوالي من 2,68 إلى 5,35 ومن 2,25 إلى 5,25 في المنطقة 2. خلال حملة 2011/12، يتغير هذا المؤشر بين 2,78 إلى 5,38 في المنطقة 1 وإلى 1,95 إلى 5,30 في المنطقة 2. من ناحية النوع، فإن صنف أربيكين هو الأكثر تبكيراً في المناطقين وخلال الحملتين.

على مستوى المناطقين وخلال الحملتين، يأتي ترتيب نضج الأصناف محل الدراسة على النحو التالي:

##### حملة 2010/11:

- ترتيب نضج الأصناف في المنطقة 1: أربيكين، مينارا، حوزية وبيشولين المغربي
- ترتيب نضج الأصناف في المنطقة 2 : أربيكين، مينارا، بيشولين المغربي وحوزية.

##### حملة 2011/12:

- ترتيب نضج الأصناف في المناطقين 1 و 2: أربيكين، بيشولين المغربي، حوزية ومينارا.

**2.3. المحتوى من زيت الزيتون**  
خلال حملتي دراسة وأثناء الفترة المذكورة آنفًا والتي تبدأ من 10 تشرين الثاني/نوفمبر حتى 12 كانون ثاني/يناير، تمأخذ عينات من زيت الزيتون كل أسبوع من خلال وحدات الاستخلاص (نظام ثاني المرحلة) الموجودة في المنطقتين.

#### 3. التحاليل التي جرت على زيت الزيتون:

##### 3.1. المجموعة الحرة.

يتم التعبير عن المجموعة بالنسبة المئوية لحمض الزيتني لزيت الزيتون. وهي تبدو كطريقة بسيطة وفعالة من أجل التقييم النوعي والتصنيف بقعة تجارية لزيوت الزيتون. يتم تحديد هذا البارامتر تبعاً للرقم المرجعي ISO 660 2009. تقوم فكرة الطريقة على عمل محلول لكمية معروفة من المادة الدهنية في الإيثانول الساخن، ثم معایرة الأحماض الدهنية الحرّة الموجودة بواسطة محلول مائي لهيدروكسيد البوتاسيوم KOH لضروري لمعادلة الأحماض الدهنية الحرّة الموجودة في جرام واحد من الأجسام الدهنية.

##### 3.2. مؤشر الأكسيد الفوقي.

يتم التعبير عن مؤشر الأكسيد الفوقي بمقدار جزء من ألف مكافيء من الأكسجين النشط للكيلوغرام واحد من الزيت. هذا المؤشر يفيد في تقييم حالة الحفظ لمادة دهنية أثناء التخزين، وينبغى لا يتجاوز 20 جزء من ألف مكافيء من الأكسجين/كلغ لكل فنات زيت الزيتون. كمية الأكسيد الفوقي الموجودة في عينة هي عدد الأجزاء من الألف مكافيء للأكسجين النشط للكيلوغرام الواحد من المنتج وأكسيد أيدور البوتاسيوم مع تحرير اليود في ظروف طريقة ISO 3960: 2007.

تقوم فكرة هذه الطريقة على معالجة محلول عينة اختبار في خليط من حمض الأستيك والأيزو أوكتان، ثم إضافة محلول أيدور البوتاسيوم. يتم بالعين تحديد اليود المتحرر بواسطة الأكسيد الفوقي بواسطة مبين نشا ومحول معياري من ثيوسلفات الصوديوم.

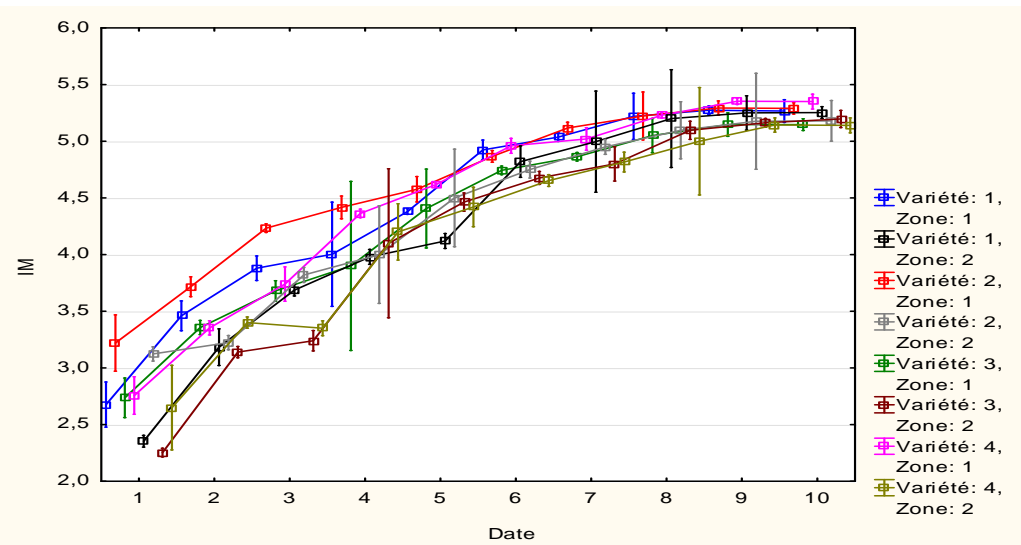
##### 3.3. الامتصاص في الأشعة فوق البنفسجية.

ثبت حالة التأكسد هو بارامتر هام من أجل تقييم جودة زيت الزيتون. ويُعرف بأنه الفترة اللازمة حتى يبدأ زيت الزيتون في إظهار دلائل التآكل بعد التأكسد المتتسارع للأحماض الدهنية غير المشبعة.

يستد تحديد الامتصاص على الطريقة ISO 3656-2011. وتقوم فكرة هذه الطريقة على القياس الطيفي في مجال محدد بطول موجة في الأشعة فوق البنفسجية، لامتصاص لعينة في محلول. يتم حساب الامتصاص بتراكيز غرام واحد لكل 100 مل في حوض بسمك 10 مم.

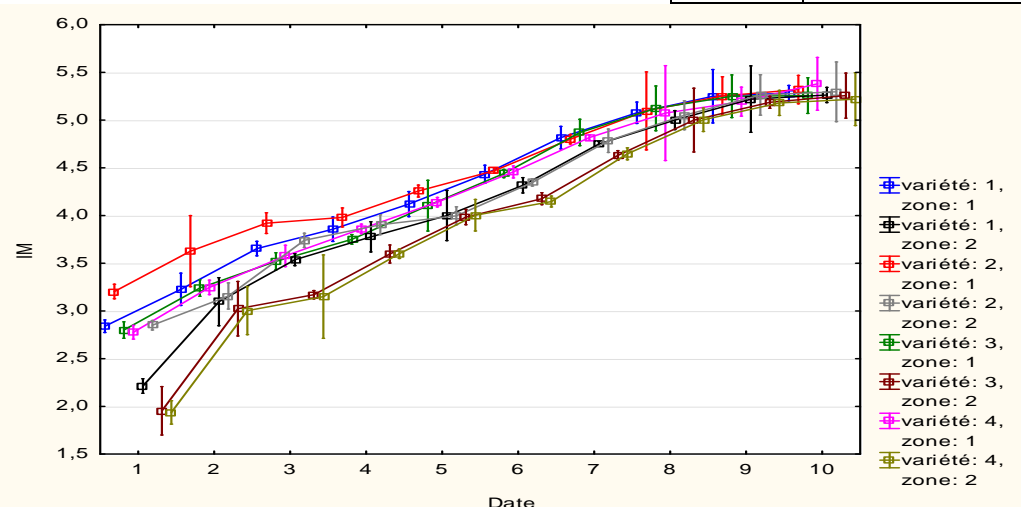
##### 3.4. الأحماض الدهنية (AG)

يتم تحليل الأحماض الدهنية الموجودة في الزيت بواسطة التحليل الكرومومتوغرافي في الحالة الغازية، استناداً على وقت احتباس كل



شكل 1: تطور مؤشر نضج الزيتون للأربعة أصناف من شجرة الزيتون المزروعة في منطقتين من إقليم سايس-المغرب (المنطقة 1: عين تاووجطات والمنطقة 2: ايت ولل) (حملة 2010/11).

IM	مؤشر النضج
Date	التاريخ
Variété:	الصنف:
	Zone:



شكل 2: تطور مؤشر نضج الزيتون للأربعة أصناف من شجرة الزيتون المزروعة في منطقتين من إقليم سايس (المغرب) (المنطقة 1: عين تاووجطات والمنطقة 2: ايت ولل) (حملة 2011/12).

غرام) وأريبيكين (1,85 غرام و 1,85 غرام، 1,85 غرام و 1,94 غرام). وُجدت نفس النتائج بواسطة سويني، 2005 لحالة صنف أريبيكين.

النتائج هي نفسها بالنسبة لوزن اللب، وتبدو ثمرة بيشولين المغربي الأكثر غنى من حيث اللب، في حين أن ثمرة أريبيكين هي الأقل لحمًا. أظهرت الأصناف الأخرى نسبة مئوية متعددة من اللب، وأوزانها من اللب متقاربة مع صنف بيشولين المغربي.

تبعًا للدراسة التي قام بها لاشير وسيدي بابا (1994)، لوحظ، بعد مرحلة النضج المتقدمة (مؤشر النضج >5)، اتجاهًا لأنخفاض وزن 100 ثمرة وزن 100 لب، ويعزى هذا الانخفاض إلى فقدان كبير لماء الثمار. لم يلاحظ هذا الاتجاه في حالتنا خلال حملتي الدراسة.

يمكن تفسير هذا الاختلاف من منطلق أن بحثتين الخاضعة للدراسة مروية (بالتفصيل) وكذلك الظروف المناخية الغير موافقة والتي كان من شأنها تقليل الكثافة والنضج.

## II. الخصائص الكربومترية.

المعطيات المبينة في الشكل 3 (a, b, c, d, e, f) توضح تطور الخصائص الكربومترية لأربعة أصناف (بيشولين المغربي، أريبيكين، حوزية ومينارا).

تبين النتائج ارتفاع الوزن في حالة الطازجة للزيتون مع نضج الزيتون حتى بلوغ وزنه الأقصى، عند النضج الكامل. تم تسجيل هذا الاتجاه، أيضًا بواسطة أتواطي (1991). الوزن في الحالة الطازجة للثمار واللب والنوى في المنطقة 2 أعلى قليلاً مما هو مسجل في المنطقة 1.

من ناحية التنوع، في المنطقتين خلال الحملتين 2010/11 و 2011/12 سجلت ثمار زيتون الصنف بيشولين المغربي على التوالي في الحالة الطازجة أعلى وزن: (4,23 غرام و 4,36 غرام، 4,26 غرام و 4,43 غرام) تليها ثمار زيتون الصنف حوزية (2,83 غرام و 3,42 غرام، 2,59 غرام و 2,653 غرام)، ومينارا (2,56 غرام و 2,57 غرام و 2,59 غرام و 2,65 غرام).

شمار بيشولين المغربي لها وزن مرتفع، يقل أو يزيد، ولب ينفصل بسهولة عن النواة. (المجلس الدولي للزيتون ، 2000)، أصناف حوزية ومينارا هي أصناف مختارة من خلال صنف بيشولين وتتميز بأحجام متوسطة، لذا، فهي أصناف مخصصة لغرضين (الزيت وزيتون المائدة)، في حين أن صنف أربيكين هو صنف لإنتاج الزيت. وهو صنف ريفي معروف بمقاومته للبرد وتحمله للملوحة، إلا أنه حساس لنقص الحديد في الأراضي الكلسية، ويتميز كذلك بمقدرتها الجذرية المرتفعة وإنتاجه المبكر. وهو يُزَرِّ في مدة متوسطة ومتواقة ذاتياً. وبحظى هذا الصنف بتقدير خاص نظراً لإنتاجيته المرتفعة والثابتة. (المجلس الدولي للزيتون، 2000). بشكل عام، تهتم زراعة الزيتون تقليدياً بعده خصائص زراعية وتكنولوجية. الأصناف المستحدثة وراثياً المميزة هي تلك التي تتميز بشمار كبيرة، وتلك المخصصة للحفظ ينبغي أن يكون لها نسبة لب مرتفعة بالنسبة إلى النواة (هدية حناشي وأخرون، 2006).

تبعاً للफات التي حددتها ديل ريو وكاباليرو (1994) (منخفض جداً: < 0,2، منخفض: 0,4-0,2، متوسط: 0,6-0,4، مرتفع: 0,6-0,8، مرتفع جداً: > 0,8)، الوزن في حالة الطازجة للنواة منخفض بالنسبة لأصناف أربيكين وحوزية ومينارا ومتوسط بالنسبة لصنف بيشولين المغربي. خلال عامي الدراسة على مستوى المنطقتين، كان للأربعة أصناف نسبة متوسطة لب/نواة تتراوح بين 4,08 و 7,93. لهذا الغرض، استناداً إلى هذا المعيار، قام ديل ريو وكاباليرو (1994) بتحديد الفئات التالية: (i) منخفضة (< 5,0)، (ii) متوسطة (7,5 - 10,0)، (iii) مرتفعة (10,0 - 12,5) و(iv) مرتفعة جداً (> 12,5)، النسبة لب/نواة منخفضة لصنف أربيكين، متوسطة لصنف بيشولين المغربي ومينارا مرتفعة بالنسبة لصنف حوزية.

حملة 2011/12

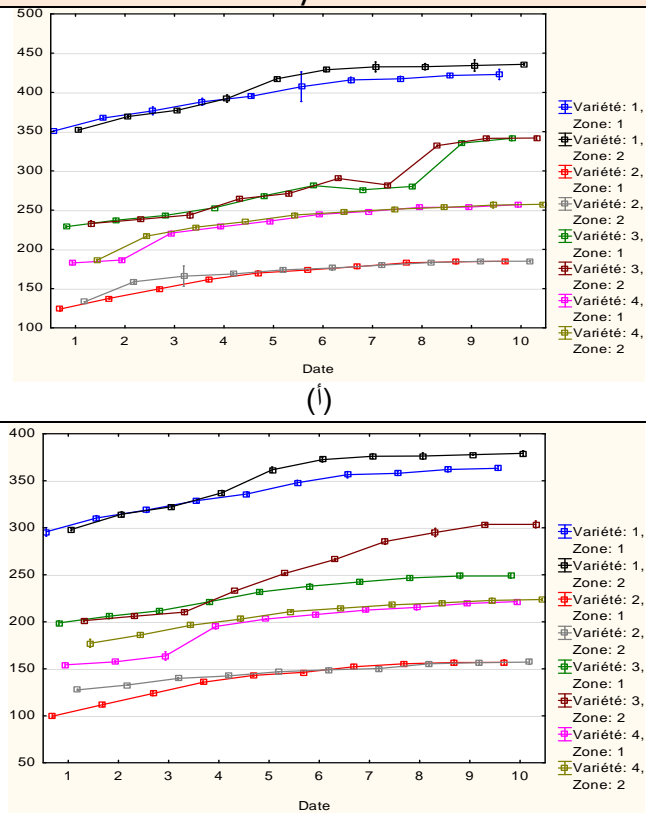
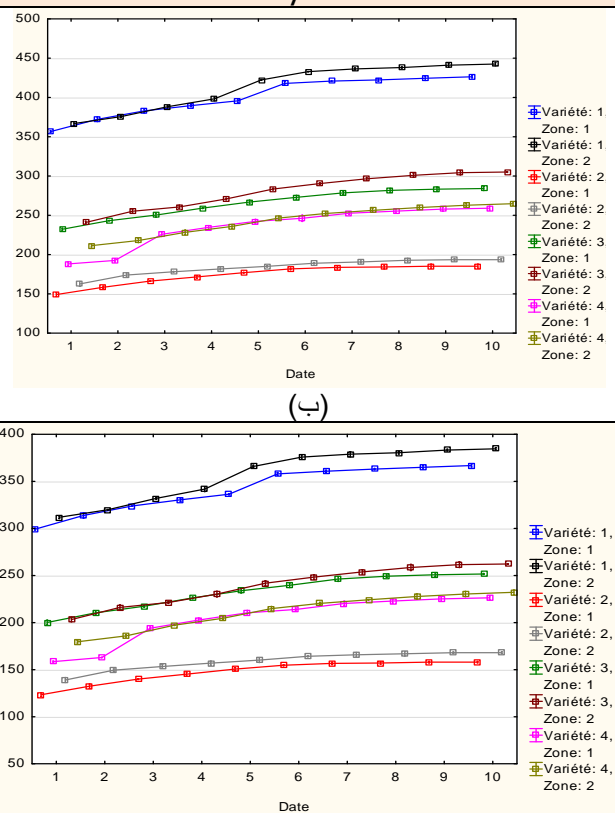
(ب)

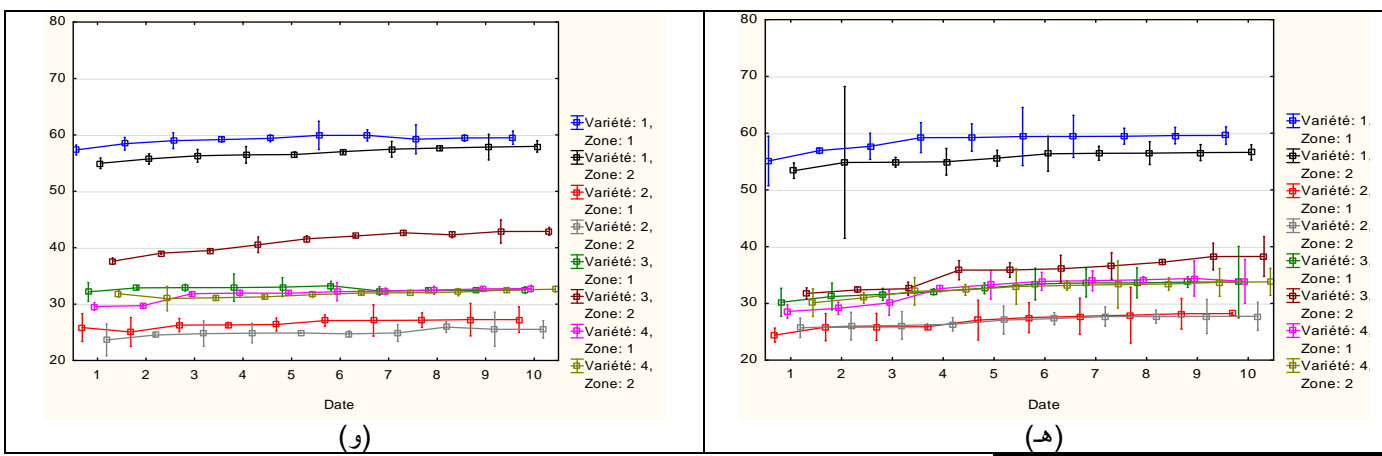
حملة 2010/11

(أ)

وزن 100 مثمرة (بالغرام)

وزن 100 لب (بالغرام)

(ج)  
(د)



شكل 3: (أب، ج ، د ، هـ) : تطور الخصائص الكربومترية لثمار زيتون أربعة أصناف مزروعة في إقليم سايس بال المغرب

### III. تكوين الزيتون

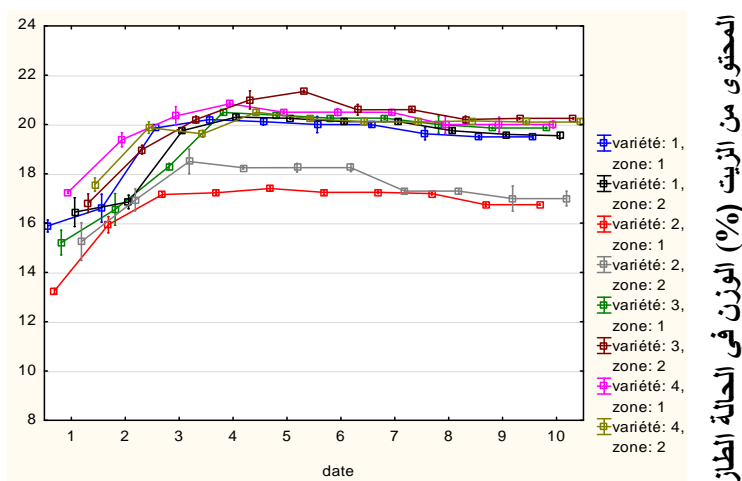
#### 1. المحتوى من الزيت

يتتنوع المحتوى من زيت الزيتون تبعًا للصنف، وتاريخ الحصاد ومكان الزراعة. لا يشك هذا البارامتر معيار تحديد لجودة الزيت ولكن معيار يتيح على وجه الخصوص تحديد التاريخ الأمثل للحصاد.

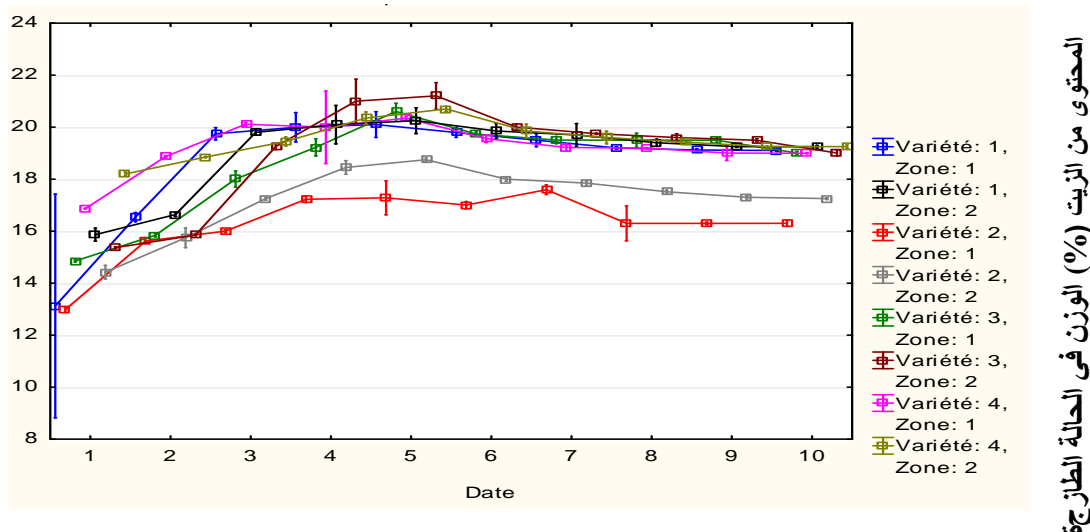
من ناحية التنوع، في منطقتين، لا يُظهر المحتوى الأقصى من الزيت اختلافاً بين الأصناف المغربية، وهو يتراوح بين 20,10% و 21,20%， في حين يتراوح المحتوى بالنسبة لصنف أربيكيين بين 17,56% و 18,75%.

فيما يتعلق بتاريخ الحصاد، تُظهر النتائج المسجلة أنه تم تسجيل الانتاجيات القصوى بداية من الأول من كانون أول/ديسمبر في المنطقة 1 (عين تاوجطات) وبداية من 07 كانون أول/ديسمبر في المنطقة 2 (ایت ولال) لحملتي الدراسة (شكل 4 و 5)، وهو التاريخ الذي يقترب فيه مؤشر نضج جميع الأصناف من 4. وهذا يؤكد النتائج التي تم الحصول عليها سابقاً بواسطة أسلافنا والتي أظهرت اختلافاً في المحتوى من الزيت بين تواريخ أخذ العينات (ولالي وآخرون، 1984) لخمس مجموعات من صنف بيشولين المغربي. أوضح العنترى (2006) الفارق بين صنف مينا ر وحزوية لتواريخ أخذ عينات تقع بين تشرين أول/اكتوبر وتشرين الثاني/نوفمبر. يكون التخليل الحيوي للزيت سريعاً في مرحلة اللون الأخضر للزيتون إلى أن يصطفي تماماً باللون الأسود، الذي تأتي بعده مرحلة استقرار محتوى الزيت (أوسيدا وآخرون 1975، سواريز، 1984 وسيفانتوس، 1999) بل يحدث انخفاض طفيف في المراحل المتقدمة للنضج (لاشير وسيدي بابا، 1994، القاضي وجماعي، 1998 وفقيه وحمامة، 1999).

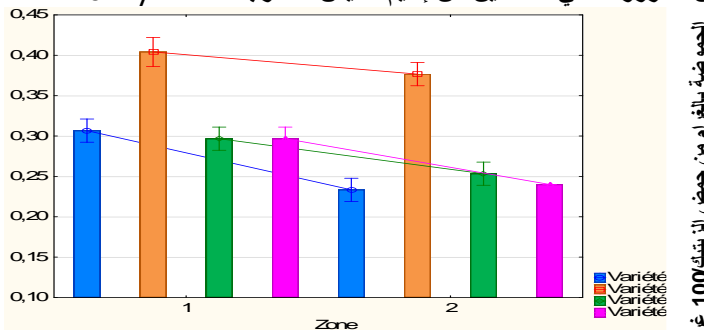
يمكن أن يعزى هذا الانخفاض في محتوى الزيت إلى تراكم المادة الجافة في ثمار الزيتون ذات النضج المتقدم، ولكن إنزيم الليبيز



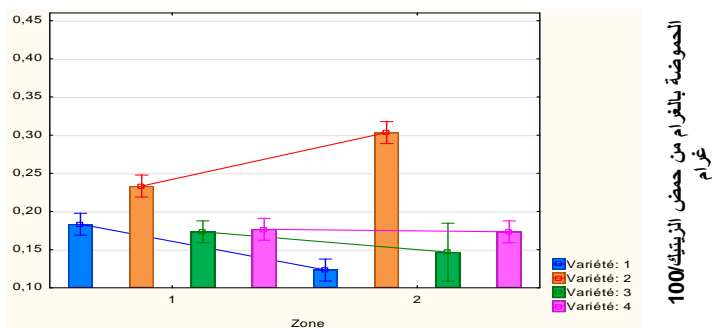
شكل 4. تطور المحتوى من الزيت للأربعة أصناف من شجرة الزيتون المزروعة في منطقتين من إقليم سايس-المغرب حملة 2010/11



شكل 5. تطور المحتوى من الزيت للأربعة أصناف من شجرة الزيتون المزروعة في منطقتين من إقليم سايس-المغرب حملة 2011/12



شكل 6. تنوع مستويات حموضة زيت الزيتون لأربعة أصناف منتجة في منطقتين مختلفتين (حملة 2010/11)



شكل 7. تنوع مستويات حموضة زيت الزيتون لأربعة أصناف منتجة في منطقتين مختلفتين (حملة 2011/12)

#### VI. مؤشر الأكسيد الفوقي (IP).

مؤشر الأكسيد الفوقي هو عدد الهيدروبريروكسیدات المتشکلة في جسم دهنی خلال حفظه، وهو يدل على حالة تأكسده. نتائج التحليلات الممثلة في الشكلين 8 و 9، توضح تراوح المحتويات من الأكسيد الفوقي بين 4,29 إلى 6,06 جزء من ألف مكافئ أكسيجين/ كلغ من الزيت بالنسبة للأربعة أصناف في منطقتي الدراسة. بمقارنة هذه القيم مع قيم المواصفة التجارية للمجلس الدولي للزيتون، فإننا نلاحظ أيضاً أن جميع العينات التي تم تحليلها مطابقة للمواصفة وهو ما يتيح بذلك تصنيف هذه الزيوت في فئة بكر إكسترا ( الأكسيد الفوقي  $\geq 20$ ). هذه القيم توضح أنه تم استخراج الزيت بسرعة بعد حصاد الزيتون. من الناحية الجغرافية، النتائج التي تم الحصول عليها لحملة 2010/11 توضح أن زيوت صنفي أريبيكين وحوزية من

الشكلان 6 و 7، بمثابة حموضة (معبر عنها بالنسبة المئوية % من حمض الريبيك) عينات زيوت الزيتون الناتجة من أربعة أصناف تم دراستها في مرحلة النضج. استناداً إلى هذا التحليل، يصنف كل الزيوت التي جرى تحليلها وأيًّا كانت مناطقها، في فئة "زيتون بكر" حيث يظل المحتوى من الحمض الدهني الحر للعينات التي تم تحليلها أعلى من 0,8%.

خلال حملة 2010/11، تبعاً للعينات التي تم تحليلها، تلاحظ وجود فارق طفيف بين الزيوت الناتجة عن أصناف المنطقة 2 بالنسبة إلى أصناف المنطقة 1. ويوضح هذا الفارق أن حموضة زيوت المنطقة 1 أعلى من حموضة زيوت المنطقة 2. وكان قد تم تسجيل نفس الاتجاه خلال حملة 2011/12 باستثناء صنف أريبيكين. حيث سجل هذا الأخير نسبة مئوية من الحموضة مرتفعة نسبياً في منطقة ايت ولال بالنسبة إلى تلك المسجلة في منطقة عين تاوچطات. ويمكن أن يُعزى ذلك إلى الممارسات التكنولوجية خلال عملية الهرس وكذلك مدة راحة الزيتون قبل الهرس.

وتوضح النتائج أيضاً ارتفاع درجات حموضة زيوت أريبيكين خلال الحملتين وفي المنطقتين. درجات الحموضة هذه مرتفعة في معظمها في زيوت المنطقة 1 (عين تاوچطات) بالنسبة إلى الزيوت الأخرى في المنطقة 2 (ايت ولال).

يظل دور الصنف هاماً بدرجة كبيرة، حيث يؤثر، في الزيت، على مستويات البولي فينولات والتوكوفينولات (أليساندري، 1997). تحدد هذه المكونات ثبات هذه الأخيرة، ومقاومتها للتآكسد، وبالتالي، إمكانية الحفظ (كافوسوكلو وأخرون، 1994). هنا تأثير التربة على جودة زيت الزيتون ظاهرة معقدة جداً. هنا تظهر عدة عوامل مثل طبيعة التربة، والرقم الهيدروجيني pH والتركيب الكيميائي ويمكن لهذه العوامل أن تؤثر على جودة الزيت (مايا المر، 2005).

بشكل عام، فإن الأرضي الخصبة تنتج بالمقارنة زيوتاً أقل عطرية من الأرضي غير الخصبة معأشجار أقل إنتاجية (أ. كافوسوكلو وأخرون ، 1994). بالإضافة إلى ذلك، الزيوت الناتجة من تربة كلسية لها حموضة منخفضة بدرجة أكبر من تلك الناتجة من تربة طينية.

الامتصاص في الأشعة فوق البنفسجية هو طريقة لتقييم حالة حفظ الزيت. وهي أيضًا مؤشر على تواضع طريقة الاستخلاص وعلى التأكسد بفعل فرط تعريض الزيت للهواء أثناء عملية الهرس. كلما يتم الاستخلاص في درجة حرارة منخفضة ( $> 28$  درجة) وكلما يقل التعرض للهواء أثناء عملية الاستخلاص، وكلما تنخفض قيمة  $K_{232}$ ,  $K_{270}$ .

نتائج الامتصاص في الأشعة فوق البنفسجية (شكل 10) توضح أن، عينات زيت الزيتون للحملتين 2010/11 و2011/12، لها درجات امتصاص في الأشعة فوق البنفسجية تتوافق مع القيم التي توصي بها مواصفة المجلس الدولي للزيتون (COI/T.15/NC n)3/Rév.5.2010) ( $\geq 2,5$ ,  $K_{232} \geq K_{270} \geq 0,25$ ,  $0,01 \geq K_{270}$ ). قيم الامتصاص  $K_{232}$  و  $K_{270}$  تتزامن بالحد الذي تسمح به مواصفة المجلس الدولي للزيتون من أجل التصنيف كزيت زيتون بكر ممتاز.

مقارنة القيم المتوسطة للامتصاص في الأشعة فوق البنفسجية لحملتي زيتون (الأشكال 10) ومنطقتين، لا تظهر أي فارق بين المنطقتين. يشير كل من رانالي وأخرون (1996)، وكيربيتسكيس (1998)، إلى عدم وجود ثمة تأثير ملحوظ للأصل الجغرافي على هذه الثوابت التحليلية التي، تتأثر بشكل أساسي بالعوامل المضرة بالثمار مثل هجمات الذباب وأدوات الحصاد ونقل مخزون الزيتون. من ناحية التنوع، يشار إلى أن قيم الامتصاص  $K_{232}$  و  $K_{270}$  للصنف أريبيكين أعلى من تلك الخاصة بقيم اصناف أخرى.

## VIII. التركيب من الأحماض الدهنية

تنوع بنية الجليسيريدات الثلاثية لزيت الزيتون تبعًا للنسبة المئوية لمختلف أنواع الأحماض الدهنية في كل صنف مستحدث وراثيًا. الحمض الدهني الأساسي هو حمض الزيتنيك، وهو المكون الأكبر في النسبة المئوية للحمض الدهني في زيت الزيتون، ويليه في درجة الأهمية حمض

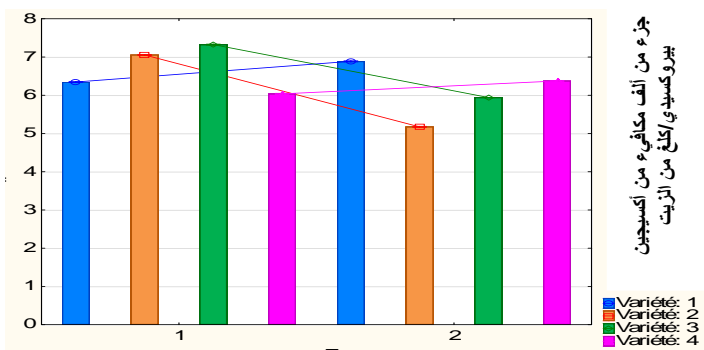
لينولينيك ثم حمض بالميتينيك. وتشكل هذه الأحماض الدهنية عاملاً هاماً في تحديد جودة وأصالحة زيت الزيتون. لينولينيك ثم حمض بالميتينيك. وتشكل هذه الأحماض الدهنية عاملاً هاماً في تحديد جودة وأصالحة زيت الزيتون. بإلقاء نظرة فاحصة على الجدولين 1 و 2 يتبين تنوع التركيب من الأحماض الدهنية لزيوت الزيتون المختلفة ويتأثر بجلاء بالعامل التنوعي.

هناك عوامل متعددة مثل درجة نضج الزيتون والمناخ والصنف لها تأثير على شكل تكوين الأحماض الدهنية لزيت الزيتون (بروني، يو، كورتيزي، ن. إفيورينو، ب.، 1994، خوسبيه. جارسيما، سيلفيا سيلر، م. كارمن بيريز-كامينو. 1996، أوليه ميشيل، 2002، جودي أ.، 2004) استخدم بعض المؤلفين هذا الشكل كبارمتر لتصنيف زيوت الزيتون تبعًا لأصولها (رانالي، دو ماثيا ج، فيرانت م ل، جيانسانت ل، 1997) وسجل غيرهم تغيرات طفيفة في معدلات الحمض الدهني الأساسي (C18:1:1:0) في نفس صنف شجرة الزيتون حتى لو كانت مزروعة في أماكن مختلفة (أوسعيدي/المغرب، 2006).

نتائج تحليلات الزيوت في منطقتي الدراسة وخالل الحملتين 2010/11 و 2011/12، تبين انخفاض معدلات حمض الزيتنيك، الأحماض الدهنية الكبيرة لزيت الزيتون، بالنسبة لصنف أريبيكين: (76,80%, 76,48%, 63,58%, 62,42%), في حين تزيد بصورة طفيفة لصنف بيشولين المغربي (76,71%, 76,62%, 76,80%). وتظل هذه المعدلات متوسطة بالنسبة لصنفي حوزية ومينارا.

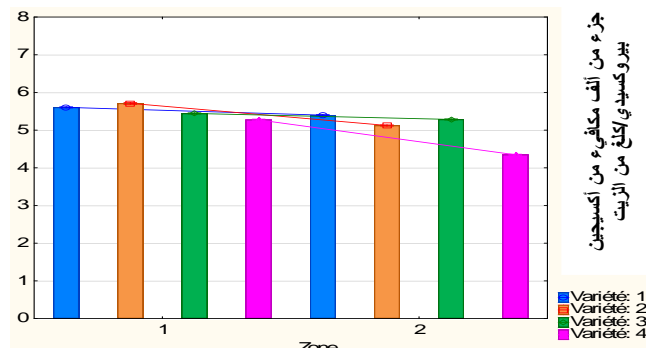
المنطقة 1 لديها مؤشرات أكسيد فوقى أعلى من تلك الموجودة في زيوت نفس الأصناف في المنطقة 2، في حين أن الوضع عكس ذلك في صنفي بيشولين المغربي ومينارا. بالنسبة لحملة 2011/12، زيوت الأربعه أصناف محل الدراسة في المنطقة 1 لها مؤشرات أكسيد فوقى أعلى بصورة طفيفة من تلك الخاصة بنفس الأصناف المدروسة في المنطقة 2.

بشكل عام، ظهر النتائج أن غالبية مؤشرات الأكسيد الفوقى (IP) لزيوت 4 أصناف مرتفعة أثناء حملة 2010/2011، ويعزى ذلك لوجود مكونات حدث لها فوق أكسدة، لأن تأكسد زيت الزيتون يبدأ بعد جمع الثمار من الشجرة، ويستمر في ذلك خلال تخزين الثمار ومعالجتها (ك. بوحجرة، 2011). فسر كل من تانوتي ك. وآخرون (2011) هذه الظاهرة بفاعلية التدريب الفني لمزارعي الزيتون ولممارسات زراعة الزيتون.



شكل 8. قياس مؤشر الأكسيد الفوقى لزيت الزيتون لأربعة أصناف منتجة في منطقتين مختلفتين (حملة 2010/11)

Variété:	الصنف:
Zone:	المنطقة:



شكل 9. قياس مؤشر الأكسيد الفوقى لزيت الزيتون لأربعة أصناف منتجة في منطقتين مختلفتين (حملة 2011/12)

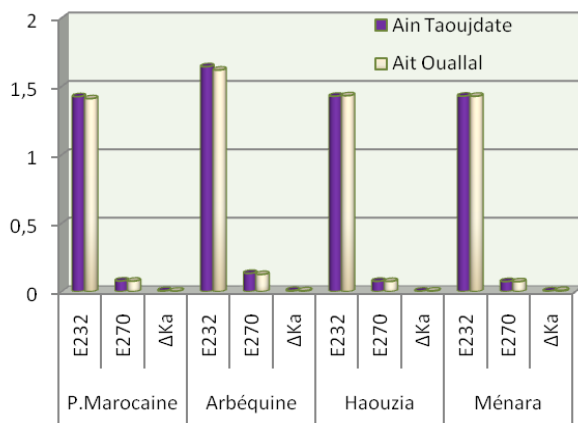
## VII. الامتصاص في الأشعة فوق البنفسجية.

قيم مؤشر الأكسيد الفوقى  $\geq 20$  جزء من ألف مكافىء أكسجين/كلغ زيت لا تعنى دائمًا غياب ظاهرة التأكسد. اللجوء إلى تحديد معاملات ( $K_{232}$ ,  $K_{270}$ ) الامتصاص في الأشعة فوق البنفسجية، يبين وجود أو غياب منتجات التأكسد الثانوي في الزيت الهيدروبروبوكسيدات في المراحل الأولى للتأكسد تمتثل حتى 232 نامومتر، بينما منتجات التأكسد الثانوي مثل السيتونات غير المشبعة-الديسيتونات تمتثل ما يقرب من 270 نامومتر (أوليه ميشيل، 2002، ر.جيانتيت وآخرون، 2006).

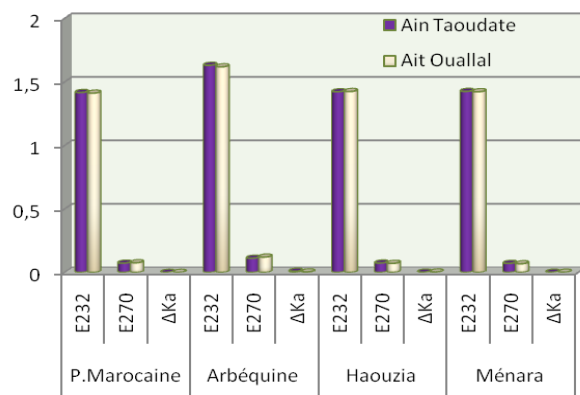
بصورة طفيفة تبعاً للأصناف. وهي تتغير بالنسبة لصنف أريبيكين، بين 80,4% و 82,8% خلال حملة 2010/11 وبين 81,34% و 80,68% خلال حملة 2011/12 مع ارتفاع طفيف في المنطقة 2. تم تسجيل أعلى معدلات الدهون غير المشبعة (AGI) في الأصناف بيشولين المغربي وحوزية ومينارا. تتنوع هذه المعدلات بين 85,53% و 88,76% في المنطقتين خلال حملتي الدراسة.

خلال الحملتين وفي منطقتي الدراسة. لوحظ ارتفاع النسب المئوية لحمض اللينوليك وحمض البالmitik في الصنف أريبيكين.

نسبة الأحماض الدهنية المشبعة (AGS) متغيرة حسب الحملتين، فهي تتراوح بين 12,27% (حوزية) و 19,21% (أريبيكين) لحملة 2011/2012 (مينارا) و 12,27% (أريبيكين) لحملة 2010/2011. بنفس الكيفية، تتنوع النسبة المئوية للأحماض الدهنية غير المشبعة (AGI)



(i)



(ب) شكل 10 (أ، ب): القيم المتوسطة للامتصاص في الأشعة فوق البنفسجية  $K_{270}$ ،  $K_{232}$  و  $\Delta K$  لزيوت زيتون أربعة أصناف خلال حملتين (أ: حملة 2010/2011، ب: حملة 2011/2012)

عين تاووجطات	
Ain Taoudate	عين تاووجطات
Ait Ouallal	أيت ولال
P. Marocaine	بيشولين المغربي
Arbéquine	أريبيكين
Haouzia	حوزية
Ménara	مينارا

جدول 1 . التركيب من الأحماض الدهنية لزيوت الزيتون الأربع ملـ الدراسة (%) الأحماض الدهنية الإجمالية

الإجمالي																		الصنف المدروـ سة		
C22-0	C20-1	C20-0	C18-3	C18-2	C18-1	C18-0	C17-1	C17-0	C16-1	C16-0	المن	المن	المن	المن	المن	المن	المن			
2	1	2	1	2	1	2	1	2	1	2	2	1	2	1	2	1	2			
0	0	0,4	0,4	0,3	0,3	0,88	0,88	9,4	9,4	76,71	76,8	2,2	2,2	0,1	0,1	0,02	0,1	1,27	11,56	10,7
0	0	0,3	0,3	0,2	0,2	0,72	0,72	15,9	13,12	63,58	64,37	1,7	1,6	0,2	0,2	0,1	0,09	2,1	1,69	17,21
0	0	0,35	0,35	0,21	0,29	0,8	0,82	9,41	10,6	75,25	75,5	2,31	2,1	0,08	0,04	0,03	0,06	0,66	0,87	10,69
0	0	0,36	0,34	0,21	0,29	0,79	0,81	9,42	10,62	75,2	74,66	2,32	2,1	0,09	0,04	0,04	0,05	0,75	0,86	11,26
0,2 ≥		0,3 ≥		0,6 ≥		1 >		21 - 3,5		83 - 55		5 - 0,5		0,3 >		0,3 ≥		3,5 - 0,3		
المعيار من الأحماض الدهنية الإجمالية																		مينارا		

**حول ٢: الترك من الأحماض، الدهنية لزيوت الزيتون، الألية محل الدراة (١٪ الأحماض، الدهنية الاحمال)**

بالنسبة لـ كامبستيرونول، سجل زيت الصنف أربيكين أعلى قيمة وذلك في المنطقين وخالل الحمارات. معدل الكامبستيرونول دائمًا أعلى من معدل ستيجماستيرونول. إجمالي قيم مادة الأستيرونول والتركيب الستيرولي، يقع ضمن مجالات التنوع المشار إليها بواسطة (المجلس الدولي للزيتون، 2011) و(المجموعة الأوروبية، 2002).

**يوجـالـسـتـيـجـاسـتـيرـولـ** في كل زيوـتـ الـأـصـنـافـ محلـ الـدـرـاسـةـ،ـ معـ مـحـتـوـيـاتـ مـوـجـودـةـ ضـمـنـ مـوـاصـفـاتـ الـمـلـجـسـ الـدـولـيـ لـلـزـيـتونـ آخرـ نـسـخـةـ (3)ـ (COI/T.15/NC n° 3).ـ يـشـارـ إـلـىـ أـنـهـ فـيـ الـحـمـلـتـيـنـ،ـ كـانـتـ نـسـبةـ هـذـاـ مـرـكـبـ أـعـلـىـ فـيـ الصـنـفـ أـرـبـيـكـينـ.

بالنسبة إلى 5-أفيناستيرول و 7-ستينجاماستيرول و 7-أفيناستيرول، على الرغم من الأصناف بين الإقليمية، فإن قيمها تدخل ضمن الحدود المقررة في مواصفة المجلس الدولي للزيتون (2009)

**IX. التركيب من مادة الأستيرول**  
نتائج التحليل تبين أن المكونات من مادة الأستيرول للأربعة أصناف محل الدراسة خلال حملتي الدراسة تأتي ضمن مواصفات المجلس الدولي للزيتون (2011).  
تبعاً للجدولين 3 و 4، يلاحظ بالنسبة لكل الأصناف الخاضعة للدراسة، هيمنة بيتا سينتوستيرول والتي تتراوح محتوياتها من 78,82% إلى 85,56% خلال حملة 2010/11 ومن 79,12% إلى 87,6% خلال حملة 2011/12. وللحظ انخفاض النسبة المئوية في الصنف المستحدث ورأينا أربيكين. في الواقع، زيت الزيتون هو الزيت الوحيد الذي يحتوي على كمية مرتفعة نسبياً من مادة بيتا سينتوستيرول، وهي المادة التي تتعارض مع الامتصاص المعوى للكوليستيرول (ONH, 2009).  
فيما يتعلق بالكوليستيرول، نلاحظ تسجيل زيت الصنف أربيكين لقيمة أقل (0,02 إلى 0,03) بالنسبة إلى الأصناف الأخرى. وتوجد القيمة الأكبر لهذا المكون في الصنف المستحدث ورأينا حوزية. وكانت قيم الأصناف المستحدثة ورأينا بيشولين المغربي ومبيناً متوسطة.

جدول 3. التركيب من مادة الاستيرول لزيوت أربعة أصناف من شجرة الزيتون (حملة 11/2010)

## جدول 4. التركيب من مادة الأستيرول لزيوت أربعة أصناف من شجرة الزيتون (حملة 2011/12)

الاسم													الأصناف المدروسة	
المنطقة 2	المنطقة 1	المنطقة 2	المنطقة 1	المنطقة 2	المنطقة 1	المنطقة 2	المنطقة 1	المنطقة 2	المنطقة 1	المنطقة 2	المنطقة 1	المنطقة 2		
0,3	0,3	0,3	7,76	6,97	86,58	85,01	0,6	0,6	3	3	0,08	0,1	بيشولين	
0,4	0,4	0,39	0,36	6,32	6,56	81,45	79,12	0,9	0,9	3,72	3,9	0,03	0,02	المغربي
0,3	0,36	0,3	0,2	5,98	5,88	86,85	85,5	0,59	0,62	3,3	3,2	0,09	0,08	أريبيكين
0,34	0,36	0,36	0,2	5,62	5,88	87,6	85,5	0,74	0,65	3,4	3,03	0,09	0,08	حوزية
<b>0,5 ≥</b>					<b>90-80</b>	<b>4 ≥</b>		<b>4 ≥</b>		<b>0,5 ≥</b>				مينارا
<b>المواصفات</b>														

## الخاتمة

من خلال النتائج التي تم الحصول عليها في ظروفنا التجريبية، يتضح أن وزن الزيتون الطازج يزداد مع النضج إلى أن يبلغ وزنه الأقصى، عند النضج الكامل. وهذا الوزن أعلى في الصنف بيشولين المغربي. تم تسجيل الإنتاجيات القصوى من زيت أربعة أصناف مدروسة بداية من الأول من كانون أول/ديسمبر في المنطقة 1 (عين تاواجطات- الحاجب) وبداية من 07 كانون أول/ديسمبر في المنطقة 2 (أيت ولل-ميكناس)، التاريخ الذي يقترب فيه مؤشر نضج جميع الأصناف من 4.

أظهر قياس المحوسبة في حملة 2010/2011 وجود انخفاض طفيف لكل الزيوت الناتجة من أصناف المنطقة 2 بالنسبة إلى تلك التي سجلتها نفس الأصناف المزروعة في المنطقة 1. وكان قد سُجل نفس الاتجاه خلال حملة 2011/2012 باستثناء الصنف أريبيكين. فيما يتعلق بالمحتويات من الأكسيد الفوقي ، توضح النتائج أن مؤشرات الأكسيد الفوقي لزيوت 4 أصناف مرتفعة في غالبيتها أثناء حملة 2010/2011 بالنسبة إلى تلك الخاصة بحملة 2011/2012. وتترواح هذه المؤشرات بين 4,29 إلى 6,06 جزء من ألف مكافئ من الأكسجين / كلغ. هذه القيم مطابقة لمواصفة المجلس الدولي للزيتون، (مؤشرات الأكسيد الفوقي ≥ 20%). مقارنة القيم المتوسطة للأمتصاص في الأشعة فوق البنفسجية لزيوت أربعة أصناف مدروسة في منطقتي وخلال حملتين لا تظهر أي فارق بين المنطقتين

## المراجع

Bouhadjra K., 2011. Étude de l'effet des antioxydants naturels et des synthèse sur la stabilité oxydative de l'huile d'olive vierge, Mémoire de Magistère.

Bruni U., Cortesi N., Fiorino P. 1994. Influence of agricultural techniques, cultivar and area of origin on characteristics of virgin olive oil and on levels of some of its minor components. Olivæ, 53, 28-33.

Chimi H., Atouati B.Y., 1994. Détermination du stade optimal des olives de la Picholine marocaine par le suivi de l'évolution des polyphénols totaux, Olivæ n° 54, p 56-60.

Chimi H., 2006. Technologie d'extraction de l'huile d'olive et gestion de sa qualité. Transfert de technologie

Association Française Interprofessionnelle de l'Olive. Comité Économique Agricole de l'Olivier, 2003. Les Bonnes Pratiques d'Hygiène pour la fabrication d'Huile d'Olive Vierge. Version indice 7.

Atouati B.Y., 1991 « Évolution des caractéristiques carpométriques et de la fraction phénolique totale avec le stade de maturité des olives », Mémoire de 3ème cycle Agronomie Option IAA, IAV Hassan II, Rabat.

- Hannachi H., Msallem M., Ben Elhadj S., El Gazzah M., 2006. Influence du site géographique sur les potentialités agronomiques et technologiques de l'olivier (*Olea europaea L.*) en Tunisie. Comptes Rendus Biologies, Volume 330, Issue 2, p 135-142
- Harrar, 2007. Contribution à l'amélioration de la qualité de la production oléicole dans la zone d'action de la DPA de Khénifra. Mémoire de 3<sup>e</sup> cycle pour l'obtention du diplôme d'Ingénieur d'État en Industries Agricoles et Alimentaires, IAV Hassan II, Rabat.
- International Olive Council, COI/T.15/NC No 3/Rev. 6 (2011). Trade standard applying to olive oils and olive pomace oils.
- International Olive Council, 2000. World Catalogue of Olive Varieties, pp 191 – 95 – 223.
- ISO methods cited in the text.
- Jeantet R., Croguennec T., Schuck P., Brûlé G., 2006. Science des aliments. Ed. TEC & DOC Lavoisier, Paris. Vol.1, ISBN. 2-7430-0833- 4. p:197-223.
- Judde A., 2004. Prévention de l'oxydation des acides gras dans un produit cosmétique : mécanisme, conséquences, moyens de mesure, quels antioxydants pour quelle application ? OCL- Vol. 11- N. 6, p: 414-418.
- Kiritsakis A.K., 1998. Composition of olive oil. In Olive Oil from the tree to the table. Second Edition. Food and Nutrition Press, Inc. Trumbull, Connecticut, 006611, USA. pp. 113-154.
- Lachir B., Sidi Baba A., 1994. « Diagnostic du secteur oléicole au Maroc, cas de la région de Fès », Mémoire de 3<sup>e</sup> cycle d'agronomie, option IAA, IAV Hassan II, Rabat.
- Montedero, G., 1989. Huile: variétés et technologies influencent la qualité. Olivæ 29, pp28-30.
- Mouawad M., 2005. Effet de l'altitude, sol et pressoir sur la qualité d'huile d'olive, mémoire de master en biochimie, Usek, pp.1, 7-14, 23-28, Liban.
- Nurhayat, C. 1989. Les facteurs ayant une incidence sur la formation des bourgeons à fleurs chez l'olivier. Olivæ N° 27, juin, p 25-27.
- Ollé M., 2002. Analyse des corps gras DGCCRF, Laboratoire interrégional de Montpellier France, Techniques de l'ingénieur, pp 3325.
- ONH, 2009. Composition chimique de l'huile d'olive.
- Pastor M., Vega V., Hidalgo J., Girona J., 2005. Influencia del riego sobre la calidad del aceite y sobre el comportamiento de la aceituna en el proceso industrial de extracción, p. 165-184. In: Pastor, M. (ed). Cultivo del olivo con riego localizado. Mundi-Prensa, Consejería de Agricultura y Pesca, Junta de Andalucía.
- Rahmani M., 1996 « Guide des bonnes pratiques de fabrication de l'huile d'olive: unités traditionnelles et industrielles », Département de chimie biochimie alimentaire, IAV Hassan II, Rabat.
- en agriculture, bulletin mensuel d'information et de liaison du PNTTA, 141, 1-4.
- Chimi H., Ouaouich H., 2007. Guide du producteur de l'huile d'olive (Projet de développement du petit entreprenariat agro-industriel dans les zones périurbaines et rurales des régions prioritaires avec un accent sur les femmes au Maroc), UNIDO, pp 1-29.
- Cimato A., 1990. « La qualité de l'huile d'olive vierge et les facteurs agronomiques ». Olivæ n° 31, pp 20 - 31.
- Civantos L., 1999. Obtención del aceite de oliva virgen. 2nd Edicion. Editorial Agrícola Espanola, Madrid, Spain.
- Çavusoglu A., Oktar A., 1994. Les effets des facteurs agronomiques et des conditions de stockage avant la mouture sur la qualité de l'huile d'olive. Olivæ, n° 52, p 18-24,
- Del Río C., Caballero J., 1994. Caracterización agronómica preliminar de las variedades introducidas en el banco de germoplasma de olivo de Córdoba en 1987. Revista Fruticultura Profesional, 62: 9-15.
- Di Giovaccino L., 1996. L'influence des systèmes d'extraction sur la qualité de l'huile d'olive. Olivæ, 63 , pp : 52-62.
- El Antari, 2006. Étude de la qualité de l'huile des variétés d'olivier sélectionnées par l'INRA-Maroc. In Hadidou A., Mrabet R., Oukabli A. (eds), La recherche agronomique et la profession, ensemble pour un développement durable de l'oléiculture nationale, Actes de Journée Olivier Meknès, INRA Proceding, le 26 Décembre, pp. 66-77.
- El Cadi H., Jamaï M.A., 1998, « Contribution à l'étude de l'amélioration de la qualité de la production oléicole dans la zone d'action de l'ORMVA du Tadla », Mémoire de 3<sup>e</sup> cycle Agronomie Option IAA, IAV Hassan II, Rabat.
- El Murr M., 2005. Application des méthodes chimiométriques pour la caractérisation des huiles d'olive libanaise en fonction des biotopes.
- Faqih H., Hmama M., 1999. « Contribution à l'amélioration de la qualité de production oléicole dans la zone d'action de l'ORMVA du Tadla », Mémoire de 3<sup>e</sup> cycle Agronomie Option IAA, IAV Hassan II, Rabat.
- Fontanazza G., 1988 « Comment cultiver en vue de la qualité de l'huile ». Olivæ n°24, pp 36-43.
- Fontozzi P., Montedero G., 1978. « Dosage des composés phénoliques dans les drupes des olives récoltées à différents stades de maturation ». IAA, 1335-1339.
- 'Frantoio' and 'Leccino' grown in Andalusia ; Food Chemistry, Vol. 89, 3, February 2005, pp 387-391.
- García J.M., Seller S., Pérez-Camino M.C., 1996. Influence of Fruit Ripening on Olive Oil Quality , J. Agric. Food Chem., 1996, 44 (11), pp 3516–3520.
- Gutiérrez F., Arnaud T., Garrido A. 2001. Contribution of polyphenols to the oxidative stability of virgin olive oil. Journal. Sciences. Food Agriculture. 81, 1-8.

- fruit set components and crop efficiency. *Acta Horticulturae*, 149:131-143
- Sweeney, S. 2005. National olive variety assessment – NOVA - Stage 2. Rural Industries Research and Development Corporation Publication No. 05/155, Project No. SAR-47A. T
- Tanouti K., Serghini-Caid H., Chaieb E., Benali A., Harkous M., Elamrani A. 2011. Amélioration qualitative d'huiles d'olive produites dans le Maroc oriental. Les technologies de laboratoire, Vol. 6, n° 22.
- Uceda M., Frias L., 1975. Época de recolección, evolución del contenido graso del fruto y de la composición y calidad del aceite. II seminario oleícola internacional. Cordoba.
- USAID/Maroc, 2006. Variétés d'olives de par le monde (de table et huile) comparaisons scientifiques, Ministère de l'Agriculture et du Développement rural, Royaume du Maroc, 56 pages.
- Walali L., Chmitah M., Loussert R., Mahhou A., Boulouha B., 1984. Caractères morphologiques et physiologiques de clones d'olivier, Picholine marocaine. Olivæ n° 3, p 26-31.
- Wolff J.P., 1968. Manuel d'analyse des corps gras. Edit. Azoulay, Paris.
- Rahmani M., Lamrini M., Csallany S., 1997, « Mise au point d'une méthode simple pour déterminer l'époque de récolte des olives », Olivæ n° 69, pp 48-51.
- Ranalli A., De Mattia G., Ferrante M.L., Giansante L., 1997. Incidence of olive cultivation area on the analytical characteristics of the oil. Note 1. Riv. Ital. Sostanze Grasse 74, 501-508.
- Ranalli A., De Mattia G., Patumi M., Proietti P., 1999. Quality of virgin oil as influenced by origin area. Grasa y aceites, Vol. 50, N° 4, pp. 249-259.
- Ranalli A., Angerosa F., 1996. Integral centrifuges for olive oil extraction. The qualitative characteristics of products. *Journal of the American Oil Chemists' Society*, Volume 73, Issue 4, pp 417-422
- Règlement (CE) n°796/2002 de la Commission du 6 mai 2002 relatif aux normes de commercialisation de l'huile d'olive. J.O.C.E du 15.05.2002.
- Singleton V.L., Rossi J.A., 1965. Colorimetry of total phenolics with phosphomolybdic- phosphotungstic acid reagents, Am. J. Enol. Vitic., 16:144-58.
- Suárez M. P., Fernandez-Escobar R., Rallo L., 1984. Competition among fruit in olive. II. Influence of inflorescence or fruit thinning and cross-pollination on

# التصنيف الفيزيائي-الكيميائي للثباتية تجاه الأكسدة لزيوت زيتون الأصناف: بيشولين المغربي، حوزية، كورنيكي وأربيكينا إقليم زراعة الزيتون الأوسط بالمغرب (الشاوية وردية)

المؤلف (المؤلفون): مليكة هدام (¹)، حمادي شيمي (²)، عبد الرؤوف عنترى (³)، محمد زاهويلى (⁴)، رقيمة موهى بي (⁵)، عبد العلي زاز (²)، محمد إبراهيمى (²) وعزيز أمين (¹).

¹-مخابر التحاليل الكيميائية وأجهزة استشعار العوامل البيولوجية، كلية العلوم والتكنولوجيات بالمحمدية

²-لسيبور كريستال، 1، شارع كابورال كوربى 20300 روش نوار - كازابلانكا (المغرب)

بريد الكترونى: haddam3@hotmail.fr أو haddam@lesieur-cristal.co.ma

³-معهد الحسن الثاني للزراعة والبيطرة، قسم العلوم الغذائية والتغذية ، صندوق بريد 6202 - المعاهد، 10101، الرباط، بريد الكترونى:

chimihammadi@yahoo.fr

⁴-المعهد الوطني للبحوث الزراعية (INRA، مراكش)

⁵-مخابر كاتاليز، القياس الكيميائي والبيئي، كلية العلوم والتكنولوجيات بالمحمدية

## نبذة مختصرة:

لهدف توصيف إنتاج زيت الزيتون بالإقليم الأوسط بالمغرب "الشاوية وردية" قمنا بإجراء دراسة خلال موسمين متتاليتين لزيوت أربعة أصناف زيتون ممزروعة بدقة في إقليم زراعة الزيتون بين سيات وبيرشيد . مع الحفاظ على نفس مؤشر النضج ونفس الإقليم، تم حصاد الزيتون بين 11 و 18 تشرين الثاني/نوفمبر لكل موسم.

أظهرت نتائج التحليلات التي جرت وقورنت بالمواصفات COI/OH/Doc رقم 1 تشرين الثاني/نوفمبر 2011 أن زيت الزيتون لأصناف الزيتون الأربع ف محل الدراسة، كانت من نوع زيت الزيتون البكر الممتاز الخالية من العيوب الحسية. وقد أظهرنا خلال هذه الدراسة أن المحتويات من مرکبات الفينول الكلية و مرکبات الأورثو ثنائي الفينول والتوكوفيرولات وبالتالي الشباتية تجاه الأكسدة بواسطة جهاز التحليل الحجمي الرانسيمات لزيوت الزيتون محل الدراسة تعتمد بشكل أساسي على الصنف مع كون الأمر يتعلق بنفس الإقليم ونفس مؤشر النضج.

أظهرت النتائج وجود تغير في محتوى الزيت من مرکبات الفينول الكلية بين 106 و 478 ملليغرام/كلغ: لوحظ وجود أعلى معدل في الموسمين المتتاليتين، في زيت الزيتون الناتج من الصنف بيشولين المغربي (313-478 ملليغرام/كلغ) يليه الصنف حوزية (268-288) في حين وجد أقل معدل في زيت الزيتون أربيكينا (106-125). تتبع مرکبات الأورثو ثنائي الفينول نفس الأصناف كما مرکبات البوليفينولمحتويات تتراوح من 15 إلى 22 ملليغرام/كلغ.

تراوحت الثباتية تجاه الأكسدة المعبر عنها بمعدلات الاستقرار المقاسة بواسطة جهاز التحليل الحجمي الرانسيمات من 27 ساعة إلى 40.9 ساعة: تم تسجيل أعلى معدل في الزيت الناتج عن الصنف كورونيكي (40.9-40.9) - موسم 2009-2010 يليه الزيت الناتج عن الصنف بيشولين المغربي-موسم 2009-2010 وُسجل أدنى معدل في الصنف أربيكينا (27-27) موسم 2008-2009. وجرى اتخاذ نهج للربط بين الثباتية تجاه الأكسدة المقاسة بواسطة جهاز التحليل الحجمي الرانسيمات والتركيب الكيميائي لزيوت.

كلمات مفتاحية: إقليم أراردي، زيت زيتون، جودة، توصيف، تحليل المكون الأساسي PCA

## مقدمة

زهاء 16 510 كم<sup>2</sup>، وهو إقليم ذو تربة تتميز بعذابها بعنصري الكالسيوم والمعنيسيوم، مع بقعة زراعية كبيرة (تيرس وحمرى)، تتميز بتواضع كمية الأمطار السنوية التي تسقط عليها ونادرًا ما تتجاوز 500 مم (متوسط كمية الأمطار المحسوبة خلال خمس سنوات متالية هي 333 مم). هذه المنطقة على شكل مصر معروف جدًا بإنتاج الحبوب والأعلاف والبقوليات. فضلاً عن ذلك، لا تعتبر زراعة الزيتون (5% من الإنتاج الوطني) منتشرة جدًا في هذا الإقليم على الرغم من ظروفه المشجعة جدًا من حيث التربة والمناخ . ومع ذلك بذلك العديد من المزارعين جهودًا هائلة لإنشاء وتطوير قطاع الزيتون في هذا الإقليم والذي تم النظر إليه بعين الاعتبار مؤخرًا من قبل وزارة الزراعة والصيد البحري في المغرب واستفاد بمميزات خطة المغرب - الأخضر فيما يتعلق بزراعة الزيتون (دراسة زراعية لإقليم الشاوية وردية، 2009). إلا أنه لا يوجد في الوقت الحالي بيانات عن زيوت الزيتون الناتجة في منطقة أوراديرا باستثناء بعض المنشورات (أ. ماحو و آخرون، 2011).

ذلك تهدف دراستنا إلى التركيز على التقييم المقارن للخصائص الفيزيائية - الكيميائية وثباتية تأكسد زيوت الزيتون الناتجة من أصناف مزروعة في إقليم جديد لزراعة الزيتون في المغرب.

## المواد وطريقة البحث

### 1. المادة النباتية والعينات

الأصناف محل الدراسة هي صنفين مغربيين وهما بيشولين المغربي وحوزية وصنفين أجنبيين أريبيكينا وكورونيكى . هذه الأصناف تخص زراعات خاصة مقامة في إقليم أوراديرا، على وجه التحديد نطاقات زراعة الزيتون في سيات وبرشيد. قمنا بتطبيق طريقةأخذ العينات التي تنص عليها تحديد خصائص زيت الزيتون (COI/OH/Doc. رقم 1، تشرين الثاني/نوفمبر 2011).

بالنسبة للأربعة أصناف حددنا بالطلاء أربعة قطع أراض مكونة من 10 أشجار متماثلة اختيرت عشوائيًا . من أشجار زيتون قطع أراض مختلفة مختارة تتنمي إلى ثلاثة بساتين، قمنا بأخذ مجموعتين من عينات الزيتون لكل صنف وكانت هي محل دراستنا التحديدية.

### 2. طرق التحليل.

#### 2.1 تحديد المرحلة المثلث للحصاد

تم هذا التحديد تبعًا للطريقة التي شرحها (أوسيدا وفرياس، 1975، أرون وآخرون، 2011).

#### 2.2 التوصيف الفيزيائي الكيميائي

تم حرس كميات من الزيتون لكل صنف بواسطة وحدة حديثة متواصلة العمل ذات مرحلتين . وبذلك تم حفظ أربع دفعات قدرها 5 لتر لكل صنف بمعرض عن الضوء وأجريت عليها تحليلات فيزيائية-كيميائية ودراسة للثباتية تجاه الأكسدة.

المحوضة الحرّة لزيت الزيتون للأربعة أصناف معبر عنها بالنسبة المئوية من حمض الأوليك ورقم البيروكسايد تم قياسهما

كان إنتاج زيت الزيتون دائمًا يتركز في دول البحر المتوسط : إسبانيا، إيطاليا، اليونان، تركيا، تونس والمغرب . وهذه الدول وحدها تشكل نسبة أكثر من 90% من الإنتاج العالمي . فضلاً عن ذلك، تحدد الجودة التجارية لزيت الزيتون البكر، في الترتيب الدولي بواسطة معاصرة المجلس الدولي ومواصفة هيئة الدستور الغذائي . تتميز هذه المواصفات بين أربعة أنماط جودة مختلفة لزيت الزيتون : "متاز"، "بكر"، "بكر عادي" و "بكر لمباتي" ، هذه الأنماط المتنوعة للجودة محددة تبعًا لمعايير فيزيائية-كيميائية (المحوضة الحرّة، رقم البيروكسايد، الامتصاص النوعي للأشعة فوق البنفسجية ) ومعايير حسية . كذلك فيما يتعلق بشباته تجاه عوامل الأكسدة، يعرف زيت الزيتون على نطاق واسع بمقاييس متحدة ل مختلف آليات الأكسدة وهذا يرتبط بشدة بانخفاض محتواه من الأحماض الدهنية العديبة - غير المشبعة (فيلاسكو وأخرون، 2002)، ومحتواه من مصادات الأكسدة الطبيعية وبخاصة أورثو-ديفينولات، والبوليفينول (إدريسي وأخرون، كانون أول /ديسمبر 2011 / حزيران/يونيو 2012) والتوكوفيرولات التي تحتجز الجنور الحرّة من الأكسجين وتحافظ على الجودة (بوسكي، 1996) وثباتية الزيت تجاه عوامل الأكسدة أثناء حفظه.

تشكل شجرة الزيتون المحصول الأساسي المزروع في المغرب . وكان لقدرته على النمو والإنتاج في مختلف ظروف الزراعة وتكيفه مع الظروف الصعبة للتربة والمناخ، أن أتاحت تطوره فعليًا على كامل أراضي الوطن . إلا أن الإنتاج المغربي من زيت الزيتون لا يشكل سوى 4% من الإنتاج العالمي ويبطل استهلاك المغاربة لزيت الزيتون منخفضًا جدًا ولا يتجاوز 2 كلغ / فرد / عام، وأقل من متوسط الاستهلاك على مستوى دول حوض البحر المتوسط (6 كلغ في تونس، 12 كلغ في إسبانيا، 14 كلغ في إيطاليا، و 24 كلغ في اليونان) . ولكن بفضل مشروع خطة المغرب الأخضر، أدى الجهود التي بذلت في هذا الإطار إلى تحسين هائل في الجودة والإدراك الحسي لزيت الزيتون المغربي في الأسواق العالمية . في الواقع، يشهد الإنتاج المغربي حالياً تطوراً كبيراً منطلاقاً من 75,000 طن في 2006/07 إلى 135,000 طن في 2010/2011.

تشكل زراعة الزيتون الوطنية بشكل أساسي من الصنف الشعبي "بيشولين المغربي" ، الذي يمثل أكثر من 96% من موروث زراعة الزيتون . والباقي، أي 4%، يتشكل من عدة أصناف، وبخاصة: "بيشولين لانجوك" ، "دھبیہ" و "مسلسل" ، التي تتركز على الأراضي المزروعة بنظام الري (حاوز، تادلا، الكلعا) وبعض الأصناف الإسبانية والإيطالية واليونانية : "بيكوال" ، "مانزانيلا" ، "جور DAL" ، "فرانتويو" ، "أريبيكينا" ، "كورونيكى" ،... وما إلى ذلك في إطار برنامج التحسين الوراثي، شرع عدة باحثين مغاربة، منذ عدة أعوام في استكشاف الصنف الأكثر انتشاراً، بيشولين المغربي، لغرض اختيار مجموعات تقدم نتائج أفضل . وقد أدت هذه الأعمال إلى اختيار مجموعتين هامتين تسميان "حوزية" و "مينارا" . (زاهر وآخرون، 2011، مؤشر الاقتصاد الكلي والزراعي - المغرب، 2005).

منطقة الدراسة المستهدفة في العمل الحالي، هي إقليم الشاوية وردية الذي يمتد في وسط المملكة على مساحة تقارب من

وبقطر 4.6 مم، مجهز بجزيئات مجهرية بقطر 5 ميكرومتر،  
جهاز قياس الكروماتوغرافيا السائلة عالي الدقة (HPLC)  
مجهز بمكشاف فلوريمتري طول استشارته 295 نانومتر،  
وطول إرساله 330 نانومتر، وبه مرحلة متحركة 3.85%  
من التراهيدروفوران في ن-هبتان.

تم تحديد التركيب من الأحماض الدهنية<sup>3</sup> الكلية بعد التحول إلى إسترات ميثيلية، تم الحصول عليها بواسطة تفاعل الأسترة التبادلي للجليسيريدات الثلاثية بواسطة كلوريد البوتاسيوم الميثانولي. تم الحصول على الإسترات الميثيلية للأحماض الدهنية لعينات زيت الزيتون تبعاً للطريقة الدولية ISO 5509. بعد ذلك تم تحليل هذه الإسترات بواسطة التحليل الكروموتوغرافي في الحالة الغازية تبعاً للشروط المنصوص عليها في المواصفة ISO 5508:1990، بواسطة جهاز التحليل الكروموتوغرافي VARIAN المجهز بمكثف بتain® الشعلة (FID)، المزود بأنبوب شعري (CPWAX) بطول 30 متر وقطر داخلي 0.25 مم. تم ضبط درجة حرارة الفرن عند 200 درجة مئوية، ودرجة حرارة الحاقن 220 درجة مئوية. وكان الغاز الحامل هو الهيليوم بحجم 1.2 مل / دقيقة وحجم الحقن 1 ميكرولتر.

تم تحديد المكون المستيرولي<sup>4</sup> تبعاً للطريقة المشار إليها في المواصفة 1 COI/T.20/Doc n10/Rév بعد التصبين بواسطة محلول هيدروكسيد البوتاسيوم الإيثانولي، ثم يتم استخلاص الجزء غير القابل للتصين بواسطة الإيثيل إيتيل، ويتم فصل المكون المستيرولي للخلاصة غير قابل للتصين بواسطة التحليل الكرومتوغرافي على لوحة جيل السيليكا القاعدية. تتحول مادة الأستيرول المجمعة في جل السيليكا إلى إثيل الأثير ويتم تحليله بواسطة التحليل الكرومتوغرافي في الحاله الغازية من نوع Varian 3800 مجهز بأنبوب شعري غير قطبي ماركة (VF-5HT)، بطول 30 م، وقطر داخلي 0.25 مم وقطر الفلم 0.1 ميكرومترًا. تم ضبط درجة حرارة الفرن عند 270 درجة مئوية، ودرجة حرارة الحاقن عند 300 درجة مئوية ودرجة حرارة المكتشف عند 300 درجة مئوية. والغاز المستخدم هو الهيليوم بدفق 0.5 مل / دقيقة، والحجم المحققون 1 ميكرو لتر.

تبعاً للطريقتين الموحدتين وهما على التوالي ISO 660 .ISO3960، الامتصاص النوعي للأشعة فوق البنفسجية  $232\text{ نانومتر}$  و  $270\text{ نانومتر}$  (K270) و(K232) تم احتسابها بالتتابع من خلال امتصاص  $232$  و  $270\text{ نانومتر}$  تبعاً للطريقة NF EN ISO 3656 ، باستخدام جهاز تحليل الطيف الضوئي من النوع VARIAN.

تم تحديد المحتوى من الماء والمواد الطيارة والشوائب للطريقتين الموحدتين وهما على التوالي ISO 662 و ISO 663.

**محتوى الزيت من مرکبات البوليفينول و مرکبات الاورثو ثانوي الفينول<sup>2</sup>:** تم استخلاص الفينولات الكلية تبعاً للطريقة التي سرّحها (جوتينجر، 1981): تذاب 10 غرام زيت زيتون في 50 مل من الهكسان في قارورة بمصفاة ثم يضاف ثلاثة مرات 20 مل من محلول ميثنالولي (ميثانول/ماء، 40/60، 4/7). يتم استرجاع مرحلة الميثنالول في دورق حجمي سعة 100 مل ثم إكماله بماء مقطر . تتم معايرة مرکبات البوليفينول الكلية بواسطة جهاز تحليل الطيف الضوئي للأشعة فوق البنفسجية باستخدام كاشف فولين سيو كالتو وبقياس امتصاص 725 مل (فاسكيز و آخرون، 1973).

تم استخلاص مركبات الأورثو ثنائي الفينول تبعاً للطريقة التي سرّحها (تسيميديو وآخرون، 1992) وأقرّها (أ. أمين وآخرون، 2012): تم إذابة 25 غرام من زيت الزيتون في 25 مل من الهكسان في قارورة بمصفاة، ثم أضيفت ثلاثة مرات 15 مل من محلول الميثانولي (ميثانول/ماء، 40/60، ٧/٧)، بعد ذلك يتم استرجاع مرحلة الميثانول في قارورة مدرجة سعة 50 مل ثم يتم إكمالها بماء مقطر . تمت معايرة مركبات الأورثو ثنائي الفينول بواسطة جهاز تحلييل الطيف الضوئي للأشعة فوق البنفسجية باستخدام كاشف موليبيدات الصوديوم أو الأمونيوم مع قياس امتصاص المحاليل الفينولية 370 نانومتر (دنيس وآخرون، 2004)، تم التعبير عن معدلات مركبات الأورثو ثنائي الفينول ومركبات البوليفينول (جزء في المليون) من المليغرام من حمض الكافيك/كغ زيت الزيتون.

**محتوى الزيت من التوكوفيرول:** تم تحليل التوكوفيرول بواسطة جهاز قياس الكروماتوغرافيا السائلة عالي الدقة (HPLC)، تبعاً لطريقة ISO 9936، 2006 على عمود سيليكا من ماركة:

1. الطريقة المعتمدة في المجلس الدولي للزيتون COI/T. 20/DOC الاختبار الطيف الضوئي فوق البنفسجي.

2. تحديد المحتوى الفينولي، لزبـت الزيتون، تعتمد - COI/T. 20/DOC. 29.

2- تحليلاً المحبوبي لـ روبرت رايت، محمد - 29- COIT/20/DOC/2003-24.

الحالات الخاصة بالتمدد، لـ ٢٠١٣، جـ ٣، صـ ٦٧

## 5.2 المتوسط والانحراف المعياري

النتائج المقدمة هي متوسطات التحليلات التي تمت بتكرار شائي وثلاثي. تم عرض هذه النتائج على شكل متوسط  $\pm$  انحراف معياري. تم احتساب الانحراف المعياري لنتائجنا عن طريق برنامج EXCEL 2007.

### النتائج والمناقشة

#### 1. تحديد المرحلة المثلث للحصاد

تنوع مؤشر النضج للأربعة أصناف للموسمين من 2.58 إلى 3.66 (جدول 1): القيم الخاصة بالفترة المثلث للحصاد تتطابق مع القيم المحددة في المؤلفات وتتراوح بين 2,8 و 3,5 (بن ادريس، 2010). وتدخل في النطاق (من 2.59 إلى 3.93) المسجل بواسطة (ماحو وآخرون، 2011): وهو النطاق الذي يتطابق مع معدلات مرکبات البوليفينول أعلى وكذلك الإنصال الأقصى من الزيت في الزيتون.

جدول 1: مؤشر نضج أصناف الزيتون الخاضعة للدراسة

مؤشر النضج	صنف الزيتون	
-2009	موسم 2008	موسم 2010
0,1 ± 3,0	0,1 ± 3,03	حوزية
0,2 ± 3,52	0,2 ± 3,32	أريكينا
0,2 ± 2,58	0,1 ± 3,34	كورنيكي
0,1 ± 3,66	0,1 ± 3,16	زيتون بشولين المغربي

#### 2. التوصيف الفيزيائي-الكيميائي للزيت الناتج:

توضّح نتائج التحليل معايير الجودة : الموضّعة، E270 الرطوبة، المواد الطيارة ومؤشر رقم البيروكسايد تتوافق مع معايير زيت الزيتون البكر الممتاز المحددة دليل تحديد خصائص زيتزيتون(COI/OH/Doc). رقم 1، تشرين الثاني /نوفمبر (جدول 2). (2011)

## 3. الثباتية تجاه الأكسدة بواسطة جهاز التحليل الحجمي الرانسيمات<sup>5</sup>

عُرف اختبار جهاز التحليل الحجمي الرانسيمات كطريقة رسمية في الترتيب الدولي (المواصفة ISO 6886) وبواسطة العديد من الدول مثل الولايات المتحدة الأمريكية، اليابان وسويسرا. لتقدير الثباتية تجاه الأكسدة لأربع عينات لزيت الزيتون، لجأنا إلى اختبار جهاز التحليل الحجمي الرانسيمات الذي يعطينا التمييز (زمن استقراء رانسيمات، معبر عنه بالساعة) وهو متعلق بالزمن الذي تستغرقه المادة الدهنية لمقاومة ضغط مؤكسد . فمنا بوضع 3 غرام من زيت الزيتون ليتم تحليله في أنبوب يتعرض فيها للتخلل الحراري عند 110 درجة مئوية، تحت دفق مكثف من فقاعات الهواء بمقدار 10l/س. تم الحصول على القيمة TIR بالتسجيل على جهاز كمبيوتر مرتبط مباشرة بجهاز الرانسيمات.

### 4. التحليل الحسي<sup>6</sup>

تم تحديد الوصف الحسي لعينات زيت الزيتون تبعاً للمواصفة التجارية للمجلس الدولي للزيتون COI/T.20n°15/Rév.4 (2011) عن طريق متخصصين مؤهلين من المعهد الوطني للبحث الزراعي (INRA)، مراكش.

### 5. التحليل الإحصائي

**5.1 تحليل المكون الأساسي (PCA) للزيوت المنتجة:** تم تجميع التركيب من مرکبات البوليفينول و مرکبات الأورثوثائي الفينول و مادة الأستيرول والأحماض الدهنية والتوكوفيرول لأربع عينات محل الدراسة من كل حملة ومقارنتها عن طريق تحليل المكون الأساسي من خلال برنامج Excel stat لتحليل البيانات متعددة الإتجاهات، حيث أن كل المتغيرات الخاضعة للملاحظة من النوع الرقمي وأن المرء يرغب في معرفة إذا ما كانت هناك روابط بين المتغيرات والعينات . وهو يهدف إلى شرح البيانات المتضمنة في الجدول n خطوط (زراعات) و p أعمدة (متغيرات ) (بوروش وسابورتا، 1994، بن عابد، 2009).

5. هذه الطريقة هي ليست رسمية في المجلس الدولي للزيتون  
6. هذه الطريقة COI/T.20/DOC. تم مراجعتها سنة 2013 و المتعلقة بالتحليمه الحسي

جدول 2: نتائج التحليلات الفيزيائية-الكيميائية للزيوت الخاضعة للدراسة خلال الموسمين.

مؤشر رقم البيروكسايد (جزء من ألف مكافىء/كيلو)	الشواب (%)		الرطوبة (%)		E(232)		E(270)		الحموضة (%)		الصنف	
	C09-10	C08-09	C09-10	C08-09	C09-10	C08-09	C09-10	C08-09	C09-10*	C08-09*		
1,19 ±0,1	1,27 ±0,1	0,04 ±0,01	0,03 ±0,01	14,0 ±0,02	11,0 ±0,02	1,82 ±0,01	1,60 ±0,02	0,10 ±0,02	0,11 ±0,01	0,28 ±0,01	0,25 0,02	زيتون بيشولين المغربي
0,15 ±0,01	0,00 ±0,01	0,04 ±0,01	0,03 ±0,01	0,12 ±0,03	0,12 ±0,03	1,72 ±0,03	1,56 ±0,01	0,13 ±0,01	0,12 ±0,02	0,42 ±0,01	0,29 0,01	كورنيكي
0,85 ±0,03	0,82 ±0,04	0,04 ±0,01	0,04 ±0,01	0,10 ±0,03	0,10 ±0,02	1,95 ±0,01	1,55 ±0,02	0,10 ±0,03	0,10 ±0,01	0,22 ±0,02	0,22 0,01	أريكينا
3,20 ±0,1	3,12 ±0,2	0,07 ±0,01	0,05 ±0,01	0,15 ±0,02	0,13 ±0,03	1,75 ±0,02	1,43 ±0,02	0,10 ±0,02	0,09 ±0,01	0,46 ±0,02	0,37 0,01	جوزية

.2010-2009 C09-10، 2009-2008 C08-09: موسم

الأحماض الدهنية المشبعة أعلى (18,5%), وأحماض دهنية أحادية - غير مشبعة أقل (63,7%) وبالتالي العلاقة للأحماض الدهنية الأحادية - غير المشبعة /الأحماض الدهنية عديدة التشبع الأقل (4-5%) للحملتين. الأصناف:

بيشولين المغربي وجوزية وكورنيكي بها أكبر تشكيل من الحمض الدهني متتابعه بدرجة طفيفة: (يتغير حمض بالميتيك من 8,7 إلى 12,4 %، حمض بالميتولبيك من 0,4 إلى 0,8 % وكمية من الأحماض الدهنية المشبعة : من 11,6 إلى 15،2% - الأحماض الدهنية الأحادية - غير المشبعة: 75 إلى 77,8%. يلاحظ أيضاً وجود قيمة مرتفعة بشكل ملحوظ لنسبة الأحماض الدهنية الأحادية - غير المشبعة /الأحماض الدهنية ذات الروابط المزدوجة للصنف كورنيكي (جدول3). من ناحية التركيب من الأحماض الدهنية لمختلف الأصناف محل الدراسة لاحظنا من ناحية تواجد حمض لينولينيك بصورة منخفضة جداً، (بما يتفق مع مواصفة المجلس الدولي للزيتون: بحد أقصى 1%, يتراوح محتواه من 0,5% إلى 0,9% (جدول 3). هذا المحتوى من حمض لينولينيك يشكل أيضاً محدوداً لغش زيوت الزيتون بزيوت حبوب أخرى غنية بحمض لينولينيك مثل زيت بذور اللفت والصوفيا (شجرة الزيتون، 2003a).

### 3 التوصيف الفيزيائي - الكيميائي للزيت الناتج من حيت تركيب الأحماض الدهنية ومادة الاستيرول والتوكوفيرول والفينولات الكلية ومركبات الأورثو ثانوي الفينول

3.1. التركيب من الأحماض الدهنية:  
التركيب من الأحماض الدهنية الكلية (FA) لزيت الزيتون يلعب دوراً هاماً من ناحية الجودة الغذائية. وهي أهمية المحتوى من الأحماض الدهنية الأحادية - غير المشبعة مع معدلات حمض الأوليك الذي يمكن أن يبلغ 83%， والذي يعطي أصلاته لزيت الزيتون، وكذلك خصائصه فيما يتعلق بالصحة . هناك عوامل متعددة، مثل درجة نضج الزيتون والمناخ والصنف تؤثر على تشكيل التركيب من الأحماض الدهنية وزيت الزيتون.  
(خوسيه و آخرون ، 1996 أوليه، 2002 جودي، 2004)

في العمل الحالي، تبين نتيجة تحليل الأصناف المدروسة بهذا الإقليم (ورديعة) أن التركيب من الأحماض الدهنية لزيوتها متوافقة مع الخصائص التي تتطلبها المواصفة التجارية لمجلس الدولي للزيتون، إلا أنها متغيرة وتتأثر بوضوح بالعامل الوراثي: صنف أريكينا في الواقع به تشكيل من الأحماض الدهنية يختلف بوضوح عن الأصناف الأخرى : حمض بالميتيك (16-17%)، حمض بالميتولبيك (7-1,2%) وكمية من

## جدول 3: تركيب الأحماض الدهنية لزيوت الأصناف محل الدراسة

حوزية		أركينا		كورنيكي		زيتون بيشولين المغربي		حمض دهني	
C09_10	C08_09	C09_10	C08_09	C09_10	C08_09	C09_10	C08_09		
8,9±0,1	8,7±0,1	17,9±0,1	16,1±0,1	12,3±0,2	12,4±0,1	9,6±0,1	10,9±0,1		حمض بالميتيك
0,4±0,1	0,4±0,1	2,1±0,1	1,7±0,1	0,7±0,1	0,8±0,1	0,5±0,1	0,6±0,1		حمض بالميتوالبيك
0,00±0,0	0,0±0,0	0,2±0,1	0,3±0,1	0,0±0,0	0,1±0,1	0,1±0,1	0,1±0,1		حمض هيبتاديكانويك
2,6±0,1	2,5±0,1	1,7±0,1	1,8±0,1	2,4±0,1	2,3±0,1	2,2±0,1	2,1±0,1		حمض الستياريك
75,2±0,2	74,2±0,1	61,2±0,1	66,3±0,1	75,9±0,2	76,6±0,1	75,9±0,1	76,1±0,1		حمض الأوليك
11,2±0,1	12,3±0,1	15,6±0,1	12,3±0,1	7±0,1	6,4±0,1	10±0,1	8,7±0,1		حمض لينولييك
0,8±0,1	0,8±0,1	0,5±0,1	0,5±0,1	0,6±0,1	0,6±0,1	0,9±0,1	0,7±0,1		حمض لينولينيك
0,3±0,1	0,3±0,1	0,2±0,1	0,4±0,1	0,4±0,1	0,4±0,1	0,2±0,1	0,3±0,1		حمض أرأشيديك
0,3±0,1	0,4±0,1	0,2±0,1	0,3±0,1	0,3±0,1	0,3±0,1	0,4±0,1	0,3±0,1		حمض جادوليك
0,1±0,1	0,1±0,1	0,0±0,0	0,1±0,1	0,1±0,1	0,1±0,1	0,1±0,1	0,1±0,1		حمض البيهينيك
11,9±0,6	11,6±0,5	19,9±0,5	18,5±0,5	15,2±0,5	15,2±0,6	12,1±0,4	13,4±0,5		مقدار *الأحماض الدهنية المشبعة
75,7±1	75,0±1	63,7±1	68,6±1	76,9±1	77,8±1	76,9±1	77,1±1		مقدار AGMINS*
12,0±0,5	13,1±0,5	16,1±0,5	2,8±0,5	7,6±0,2	7,0±0,3	10,9±0,5	9,4±0,6		مقدار PINS *الأحماض الدهنية العديدة- غير المشبعة
6,3±0,4	5,7±0,3	4,0±0,3	5,3±0,4	10,1±0,4	11,1±0,5	7,1±0,5	8,2±0,4		PINS/AGMINS

\*الأحماض الدهنية المشبعة: الأحماض الدهنية المشبعة - AGMINS  
الأحماض الدهنية الأحادية-غير المشبعة- AGPINS: الأحماض الدهنية العديدة- غير المشبعة

و(22-20,4) يليه الصنف "حوزية" ثم كورونيكى. وسجل أدنى محتوى في زيت الصنف "أرييكتنا" (125-106) (15,3-15,2). كذلك تميزت حملة 2009-2010 بمحتويات أعلى من مرکبات البولييفينول وأورثو ثانئي الفينول بالنسبة للأصناف الأربع محل الدراسة (جدول 4). وبُعزى ذلك على الأرجح إلى تأثير الظروف المناخية وهو ما يتوافق مع ما ورد في المؤلفات (تنيس وأخرون، 2004).

#### جدول 4: محتوى الزيوت الناجمة من مرکبات البولييفينول الكلية ومرکبات الأورثو ثانئي الفينول

مرکبات الأورثو ثانئي الفينول بالجزء في المليون	مرکبات البولييفينول الكلية بالجزء في المليون	الموسم	الصنف
20,4±3	313,0±5	C08-09*	زيتون بيشولين المغربي
22,0±4	478,3±3	C09-10	
16,4±4	130,0±7	C08-09	
18 ±2	178,0±5	C09-10	
15±3	106,0±3	C08-09	أركينا
15,2±3	125,5±6	C09-10	
19±2	268,0±2	C08-09	حوزية
20±2	287,7±4	C09-10	

2010-2009: C08-09، 2009-2008: C09-10، 2008-2009: حملة

#### 3.2. التركيب من مرکبات البولييفينول الكلية ومرکبات الأورثو ثانئي الفينول

يحتوي زيت الزيتون على كمية لا يستهان بها من المكونات الفينولية، وهي تنتقل إلى الزيت خلال استخلاصه . وهذه المكونات النبيلة هي مواد طبيعية مضادة للأكسدة . مرکبات الأورثو ثانئي الفينول مثل هيدروكسي تيروزول وحمض الكافيكيك ومادة الأولوروبين تعتبر كمواد مضادة للأكسدة فعالة جداً تحمي الزيت من التكسد وتمنحه ثباتاً أثناء التخزين (بوسكون، 1996)، مذاق مر وتأثير حسي لاذع (جوتيريز وأخرون، 2001، بنتيم، 2006). يعتمد المحتوى في الزيت أيضاً على عدة عوامل وهي للعلم : الصنف ونضج الزيتون (أوسيليا وأخرون، 1994)، ظروف الاستخلاص (رانالي وأخرون، 2003) والتخزين (فيلينج وأخرون، 2003).

محتوى الزيت من مرکبات البولييفينول و مرکبات الأورثو ثانئي الفينول لأصناف الزيتون محل الدراسة (جدول 4) تتراوح بالتابع بين 106 - 478 جزء في المليون و 22-15 جزء في المليون. وهذا يتافق مع القيم الموجودة في المؤلفات بواسطة (مايسترو وأخرون، 1994) الذين أوردوا أنه يمكن أن يتراوح التركيز من الفينولات الكلية في زيت الزيتون بين 100 و 800 ملليغرام/كلغ و (أوبن وأخرون، 2000) التي سجلت قيمة 232 ± 15 ملليغرام /كلغ في زيوت الزيتون البكر الممتازة . أيضاً، توضح نتائجنا أن المحتوى من هذه المواد الطبيعية المضادة للأكسدة يتأثر بالمعيار التقويمي . في الواقع، يأتي صنف بيشولين المغربي في المقدمة من حيث محتوياته من مرکبات البولييفينول ومن مرکبات الأورثو ثانئي الفينول على التوالي (478-313)

وأربكينا (من 5 إلى 7.5%). هذه النسبة المئوية المرتفعة باعتدال من جاما توکوفیرول في الصنف بیشولین المغربي والصنف حوزية من شأنها الإسهام بشكل إيجابي في ثباتيهما تجاه الأكسدة (جدول 5). في الواقع، النشاط المضاد للأكسدة لجاما توکوفیرول أعلى منه بالنسبة لأنفًا توکوفیرول (إيفار وآخرون، 2007، كومبيه وكاستيرا، 2010).

### 3.4. التركيب من مادة الأستيرول

يشكل التركيب الستيرولي للزيت النباتي معياراً هاماً لتحديد أصله النباتي (كارلينسكيند، 2002). التشكيل الستيرولي لزيوت الزيتون محل الدراسة (جدول 6)، على النقيض من الدراسات السابقة (أباريسيو وآخرون، 2002) التي توضح أن صنف الزيتون يؤثر على نسبة مادة الأستيرول، وقد سجلنا فروقات جوهرية في نسب مادة الأستيرول بين جميع الأصناف وأثناء الموسمين.

**3.3. التركيب من التوكوفيرول**  
 مركبات التوكوفيرول هي جزيئات هامة يتم تحليلاها بسبب خصائصها الفيتامينية والغذائية ودورها في الحفاظ على الزيت من الجذور الحرة (ريبول وآخرون، 2007). أظهر تحليل مركبات التوكوفيرول في الموسمين المتتابعين أن صنف الزيتون له تأثير على المحتوى من مركبات التوكوفيرول. في الواقع، يوجد ألفا-توکوفیرول، ذو التأثير الفيتاميني، بنسبة مئوية غالبة بالنسبة إلى مركبات التوكوفيرول الأخرى في كل أصناف زيت الزيتون الخاضعة للدراسة، ويتاثر بالتركيب الوراثي، وهو ما يتوافق مع ما ورد في المؤلفات (جاربي وآخرون، 2011)، في الواقع تم تسجيل أعلى نسبة مئوية في الصنف أربكينا من 90 إلى 91%， يليه الصنف كورنيكي بنسبة 89% ثم في الترتيب الأخير صنفي حوزية وبیشولین المغربي بنسبة 70 إلى 83%. وعلى النقيض من ذلك، النسبة المئوية من جاما توکوفیرول في بیشولین المغربي وحوزية تبرز قيمة مرتفعة بشكل واضح من 10 إلى 19% بالنسبة إلى كورنيكي

جدول 5: التركيب من مركبات التوكوفيرول (%) للزيوت الناتجة

حوزية		أربكينا		كورنيكي		زيتون بیشولین المغربي		توكوفيرول بالنسبة % المئوية
C09-10	C08-09	C09-10	C08-09	C09-10	C08-09	C09-10	C08-09	
80,2±0,6	82,7±0,6	90,7±0,5	91,7±0,5	89,5±0,7	89,7±0,6	70,4±0,9	83,9 ±0,8	أنفًا توکوفیرول
1,5±0,3	1,9±0,3	0,9±0,3	0,8±0,3	1,6±0,3	1,6±0,4	2,4±0,3	2,0±0,2	بيتا توکوفیرول
16,5±0,6	12,5±0,4	6,1±0,6	5,1±0,5	6,9±0,3	7,5±0,6	19,8±0,4	10,8±0,5	جاما توکوفیرول
1,8±0,4	3,0±0,5	2,3±0,5	2,3±0,5	2,0±0,4	1,2±0,3	7,5±0,6	3,3±0,4	دلتا توکوفیرول

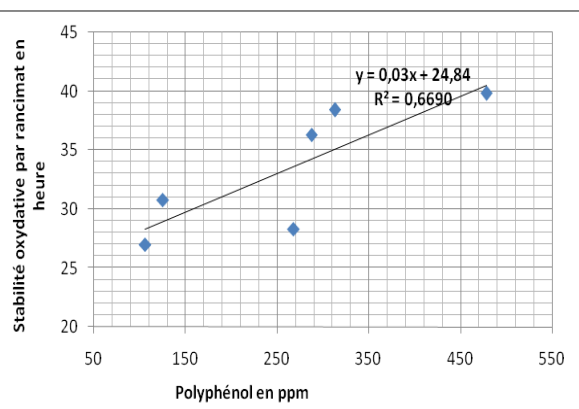
جدول 6: التركيب من مادة الأستيرول لمختلف أصناف الزيت محل الدراسة

حوزية		أربكينا		كورنيكي		زيتون بیشولین المغربي		مادة الأستيرول بالنسبة % المئوية
C09-10	C08-09	C09-10	C08-09	C09-10	C08-09	C09-10	C08-09	
0,3±0,1	0,4±0,1	0,2±0,1	0,3±0,1	0,2±0,1	0,4±0,1	0,3±0,1	0,3±0,1	كوليستيرول
3,3±0,2	3,4±0,1	3,4±0,4	3,3±0,4	3,1±0,2	3,2±0,2	3,3±0,3	3,3±0,2	كامبستيرول
1,2±0,1	1,2±0,1	1,4±0,3	1,2±0,3	1,4±0,2	1,3±0,2	1,4±0,2	1,2±0,1	ستيجماستيرول
86,2±0,5	86,8±0,7	86,5±0,6	86,4±0,7	86,5±0,7	86,1±1,5	86,8±1	86±0,5	بيتا ستيتوستيرول
8,0±0,3	7,3±0,3	7,6±0,4	7,9±0,3	7,9±0,4	8,1±0,5	7,3±0,4	8,0±0,3	دلتا-5-أفيناستيرول
0,5±0,1	0,5±0,1	0,5±0,1	0,5±0,1	0,5±0,1	0,5±0,1	0,5±0,1	0,5±0,1	دلتا-7-ستيجماستيرول
0,4±0,1	0,4±0,1	0,4±0,1	0,4±0,1	0,4±0,1	0,4±0,1	0,4±0,1	0,4±0,1	دلتا-7-أفيناستيرول

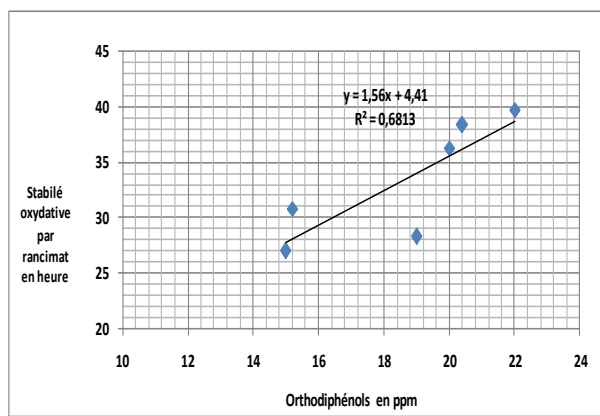
#### 4. الثباتية تجاه الأكسدة بواسطة جهاز التحليل الحجمي

##### الرانسيمات

يتم ثبات التأكسد المتتسارع بواسطة جهاز التحليل الحجمي الرانسيمات (ماتوس، 1996، رحماني 2007). النتائج التي تم الحصول عليها (جدول 7)، تظهر أن الصنف أثر بشكل واضح على ثبات الزيت وفي الواقع تم تسجيل القيم أعلى في الصنف كورنيكي (حملة 2009-2010: 40,9 س) والصنف حوزية الصنف بيشولين المغربي (39,8 س) والصنف حوزية (36,3 س). تم تسجيل القيم الأقل في الصنف أربيكينا (32 س): هذه النتائج تتوافق مع النتائج الخاصة ببعض أصناف الزيتون (أباظة وآخرون، 2005، بن تميم وآخرون، 2008a). أيضًا مع المؤلفين الآخرين الذين وجدوا مدة استقرار أقل من الصنف أربيكينا بالنسبة إلى الأصناف الأخرى محل الدراسة (جوتيريز وآخرون، 2002a، ثيبايوس وأخرون، 2003، ماتيوس وآخرون، 2006).

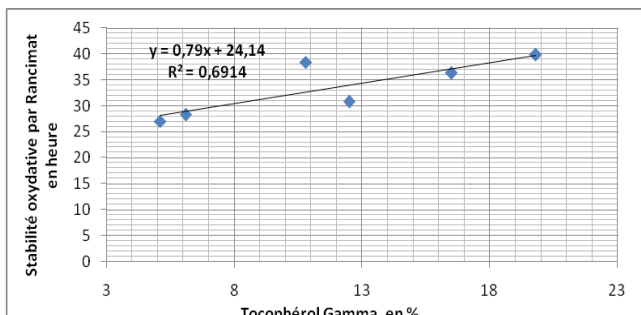


شكل 1: العلاقة بين ثباتية الأكسدة والمحتوى من مركبات البوليفينول الكلية لزيوت الأصناف بيشولين المغربي، حوزية وأربيكينا



شكل 2: العلاقة بين ثباتية الأكسدة والمحتوى من مركبات الأورثو ثانوي الفينول لزيوت الأصناف بيشولين المغربي وحوزية وأربيكينا

Stabilité oxydative par rancimat en heure	ثباتية الأكسدة بواسطة جهاز التحليل الحجمي الرانسيمات في الساعة
Polyphénol en ppm	مركبات البوليفينول بالجزء في المليون
Orthodiphénols en ppm	مركبات الأورثو ثانوي الفينول جزء في المليون



شكل 3: العلاقة بين ثباتية الأكسدة والنسبة المئوية لجاما توكوفيرول لزيوت الأصناف بيشولين المغربي وحوزية وأربيكينا

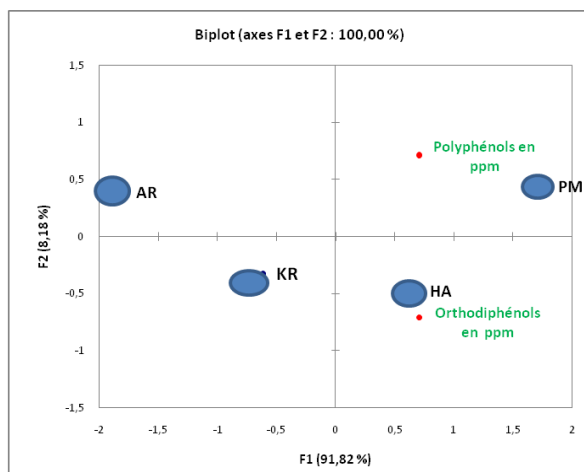
Stabilité oxydative par rancimat en heure	ثباتية الأكسدة بواسطة جهاز التحليل الحجمي الرانسيمات في الساعة
Tocophérol Gamma en %	جاما توكوفيرول بالنسبة المئوية %
AG monoinsaturés/AG polyinsaturés	الأحماض الدهنية الأحادية غير المشبعة/الأحماض الدهنية المتعددة غير المشبعة

#### جدول 7: الثباتية تجاه الأكسدة لزيوت الناتجة بواسطة جهاز التحليل الحجمي الرانسيمات 110 درجة مئوية

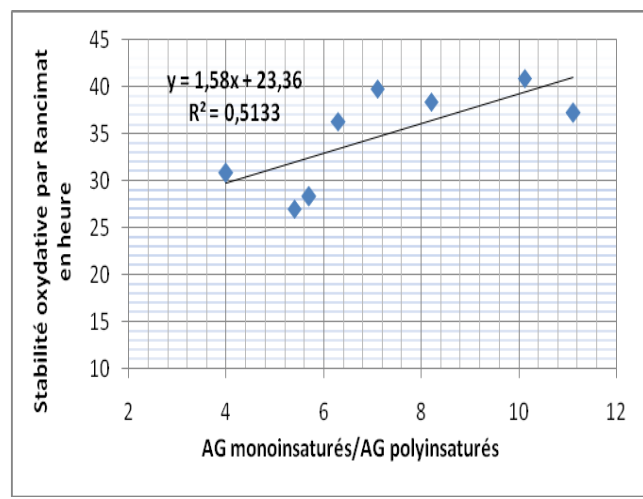
الصنف	الموسم	الثباتية (TIR) في الساعة
حوزية	C08-09*	4±0,5, 38
	C09-10	8±0,5, 39
	C08-09	37,2±0,4
كورنيكي	C09-10	40,9±1
	C08-09	27,0±2
	C09-10	28,3±2
أربيكينا	C08-09	30,8±0,5
	C09-10	36,3±1

وعليه فالأصناف حوزية وبيشولين المغربي وكورنيكي أكثر ثباتاً من الصنف أربيكينا (جدول 7) ويمكن تقسيم ذلك من ناحية أن الزيوت الناتجة من الصنفين بيشولين المغربي وحوزية لها محتوى أغنى من البوليفينولات الكلية، وأورثو ثانوي الفينول وجاما توكوفيرول، المعروفة جميعها بنشاطها المضاد للأكسدة بالنسبة لزيوت. فيما يتعلق بالصنف كورنيكي، بالإضافة إلى القيمة الكبيرة نسبياً لمحتواه من هذا المكونات المضادة للأكسدة، فإن به محتوى منخفض من الأحماض الدهنية عديدة التشبع وارتفاع النسبة الأحادية -غير المشبعة/عديدة التشبع. وعلى النقيض من ذلك يعزى انخفاض ثبات الصنف أربيكينا بالنسبة إلى الأصناف الأخرى بشكل أساسى إلى انخفاض محتواه من مركبات عديد الفينول الكلية ومركبات الأورثو ثانوي الفينول وجاما توكوفيرول وأدنى نسبة من الأحماض أحادية التشبع /عديدة التشبع. وهذا يتوافق مع المؤلفات عند جاري وآخرون، (2011) (33). كذلك سجلنا علاقة إيجابية بين المحتوى من مركبات البوليفينول و مركبات الأورثو ثانوي الفينول وجاما توكوفيرول للأصناف أربيكينا وحوزية وبيشولين المغربي للموسمين، وثبات التأكسد (شكل 1، 2، 3). وهو ما يتوافق مع المؤلفات (شيمي وأخرون، 1990).

كذلك يوضح شكل 4 علاقة إيجابية بين ثبات التأكسد ونسبة الأحماض الدهنية غير المشبعة /العديدة غير المشبعة لزيوت الناتجة من الأربع الأصناف محل الدراسة.



شكل 6: التركيب من مركبات الأورثو ثانوي الفينول ومركبات البوليفينول الكلية عن طريق المكون الأساسي (PCA) حملة 2008-2009

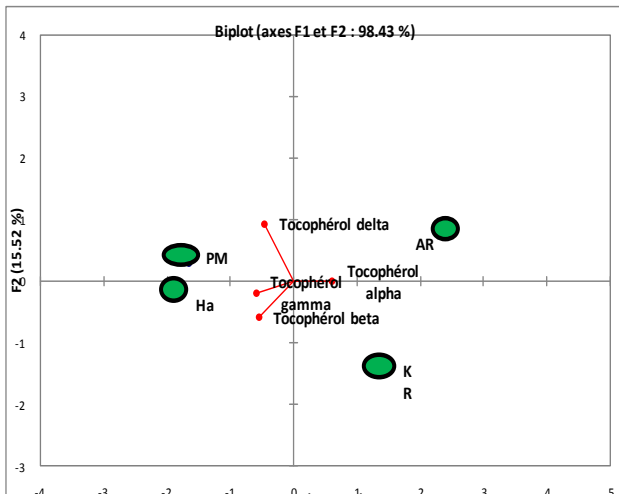


شكل 4: العلاقة بين ثباتية الأكسدة والنسبة الأحماض الدهنية الأحادية غير المشبعة / الأحماض الدهنية المتعددة لزيوت الناتجة من الأصناف الأربع محل الدراسة

زراعات صنف بيشولين المغربي وصنف حوزية بها تشكيل فيينولي متقارب جدًا وقيمة كبيرة بالنسبة إلى الزراعات الأخرى للموسمين المتعاقبين، يليها الصنف كورنيكي، وفي الأخير يأتي الصنف أربيكينا.

## 5.2. التركيب من التوكوفيرول بواسطة تحليل المكون الأساسي للزيوت الناتجة

التركيب من التوكوفيرول للزيوت الناتجة موضح بواسطة تحليل المكون الأساسي ومعرض في الشكلين 7 و 8: أفالا توكوفيرول هو عينة متعادلة (مثبتة على المحور)، موجود بنسبة مؤدية مرتفعة في كل الأصناف محل الدراسة . تشتراك الأصناف بيشولين وحوزية تقريباً في نفس النسب المؤدية المرتفعة نسبياً بالنسبة إلى الصنف كورنيكي وأربيكينا لمركبات التوكوفيرول الأخرى، وبخاصة جاما توكوفيرول.



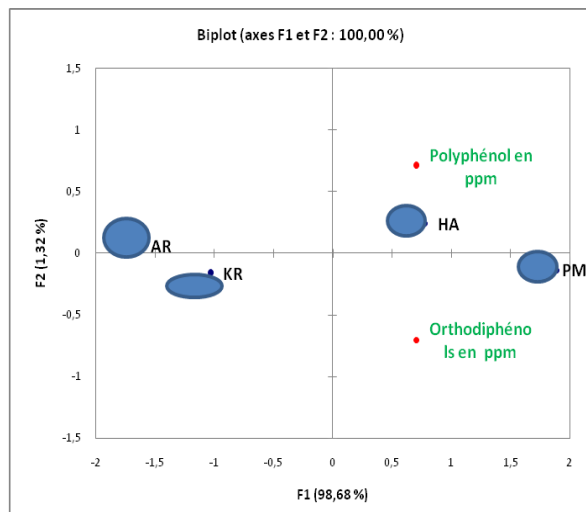
شكل 7: التركيب من التوكوفيرول بواسطة تحليل المكون الأساسي (PCA) حملة 2008-2009

## 5. تحليل المكون الأساسي (PCA) للزيوت المنتجة

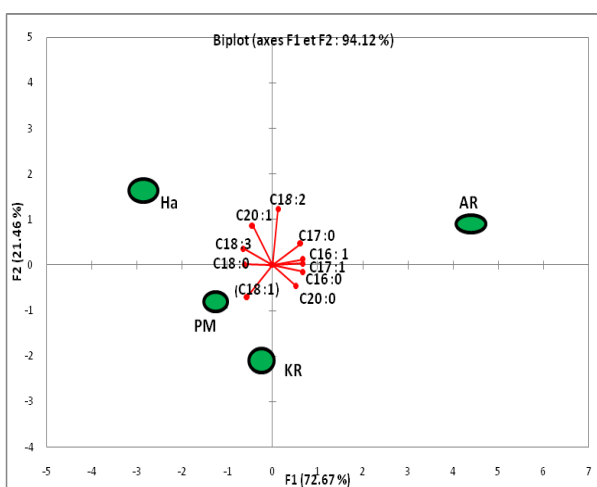
الشرح البياني لتحليل المكون الأساسي يلخص جميع التفسيرات المذكورة قل ذلك بطريقة مبسطة جداً، من حيث التركيب من مركبات الأورثو ثانوي الفينول ومركبات البوليفينول الكلية ومركبات التوكوفيرول والأحماض الدهنية.

### 5.1. التشكيل الفينولي بواسطة تحليل المكون الأساسي للزيوت المنتجة

نتائج التركيب من مركبات البوليفينول ومركبات الأورثو ثانوي الفينول لزيوت الزيتون محل الدراسة، للموسمين 2009-2010 و 2009-2010 على التوالي موضحة في الشكلين 5 و 6:

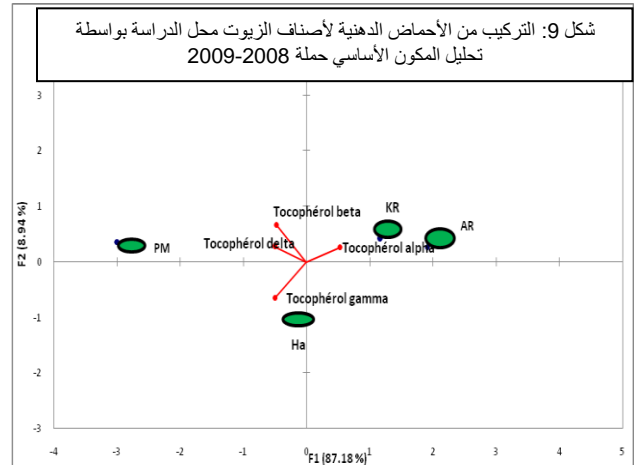


شكل 5: التركيب من مركبات الأورثو ثانوي الفينول ومركبات البوليفينول الكلية عن طريق المكون الأساسي (PCA) حملة 2008-2009



شكل 10: التركيب من الأحماض الدهنية لأصناف الزيوت محل الدراسة بواسطة تحليل المكون الأساسي حملة 2010-2009

C16:0 الحمض الدهني بالميتولييك، C16:1 الحمض الدهني ستياريك، C17:0 الحمض الدهني هيتاديكتانيوليك، C17:1 الحمض الدهني هيتانيسينولييك، C20:0 الحمض الدهني أرشاديك، C18:2 الحمض الدهني لينولييك، C18:3 الحمض الدهني جادولييك، C18:0 الحمض الدهني لينولينيك، C18:1 حمض الأولييك.



شكل 8: التركيب من التوكوفيرول بواسطة تحليل المكون الأساسي حملة 2010-2009

أربيكينا: أربيكينا-كورنيكي - حوزية: بيشولين المغربي: بيشولين المغربي

Biplot axes F1 et F2	بيبلوت أكسيس F1 و F2
Tocopherol delta	دلتا توكوفيرول
Tocophérol gamme	جاما توكوفيرول
Tocophérol beta	بيتا توكوفيرول
Tocophérol alpha	الفا توكوفيرول

## 6. الصفات الحسية

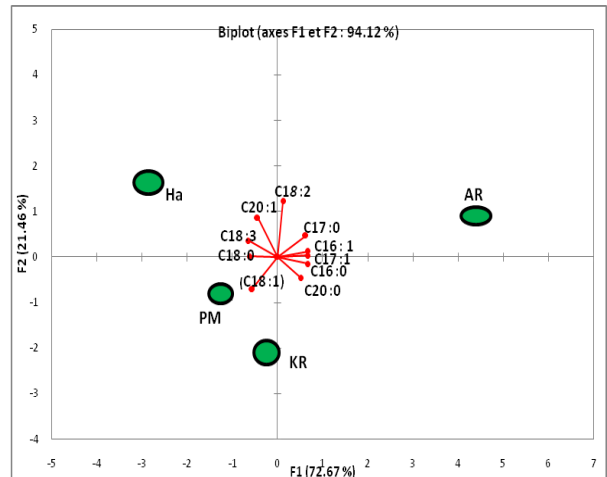
إن إجراء تحليل كيميائي بسيط لا يكفي لتحديد جودة زيت الزيتون. في الواقع تجدر الإشارة إلى أن المكونات الطيارة التي تتكون أثناء عملية إستخلاص الزيت ثم خلال التخزين قادرة على تعديل رائحة ومذاق الزيت . لذلك، قررنا استعمال التحليل الحسي لتقييم جودة عيناتنا . وبذلك فقد تم إجراء التقييم الحسي للزيوت تبعاً لمواصفة المجلس الدولي للزيتون.

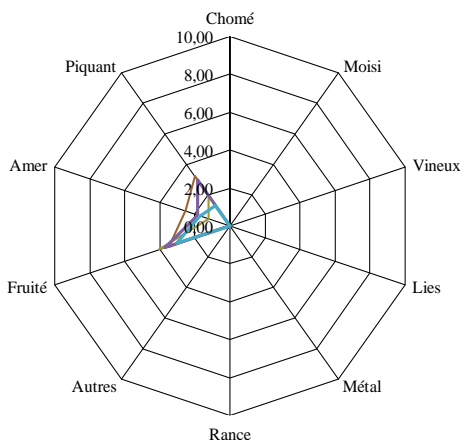
نتائج التحليل الحسي للزيوت الناتجة من أربعة أصناف خضعت للدراسة بالموسمين المتعاقبين تبين أننا بصدق زيت بكميات له نكهة ثمري من 3 إلى 4.55 ، مر من 1.2 إلى 3 ، ولادة من 1.5 إلى 4 . النكهات الخاصة المسجلة هي : العشب ، الطماطم والتفاح والخرسوف واللوز . لم يلاحظ وجود أي خاصية سلبية .

نتائج التحليل الحسي موضحة في الشكلين 9 و 10.

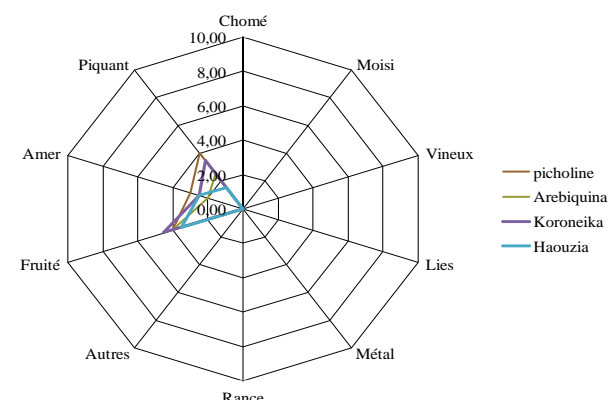
### 5.3. التركيب من الأحماض الدهنية بواسطة تحليل المكون الأساسي

التحليل بواسطة تحليل المكون الأساسي يبين بنية مختلفة بوضوح من الأحماض الدهنية للصنف "أربيكينا" بالنسبة إلى الأصناف الأخرى للحملتين المتعاقبتين، ويتبين على وجه الخصوص من خلال معدلات مرتفعة من الأحماض الدهنية : بالميتولييك C16:0 ، بالميتولييك : C16:1 ومعدل من حمض الأولييك مقارنة به للثلاثة أصناف محل الدراسة (شكل 9 و 10).





شكل 12: الصفات الحسية للزيوت الناتجة – موسم 2009-2010



شكل 11: الصفات الحسية للزيوت الناتجة – موسم 2008-2009

Chomé	متخر
Moisi	متقفن
Vineux	خمرى
Lies	مترسب
Métal	معدنى
Rance	ترنخ
Autres	أخرى
Fruité	ثمرى النكهة
Amer	مر
Piquant	حاد
Picholine	بيشولين
Arbiquina	أربيكينا
Koroneiki	كورنيكى
Haouzia	حوزية

على تركيبه الوراثي . في واقع الأمر الصنف الإسباني "أربيكينا" الذي حظى مؤخراً بتقدير العديد من مزارعي الزيتون بسبب نضجه المبكر وإنجابيته المرتفعة من الزيت، يظل دائماً صنفاً غير ثابت نظراً لما له من درجة متواضعة من ثباتية الأكسدة ومحتويات منخفضة من مضادات الأكسدة الطبيعية مقارنة مع الأصناف المغربية : بيشولين المغربي وحوزية وكورنيكي ذو الأصل اليوناني . وبذلك لرفع قيمة ممر الشاوية ورديعة بشكل أفضل فيما يتعلق بجودة زيت الزيتون، فإنه ينبغي أن يتوجه خيار مزارعي الزيتون بهذا الإقليم إلى تشجيع أصناف زيتون تنتج زيت عالي الجودة مثل الأصناف المغربية: بيشولين المغربي وحوزية والصنف اليوناني كورونيكي، وكذلك اختيار مخلوط مدرسوسة بعناية من الأصناف غير الثابتة ذات الإنتاج المغربي (أربيكينا) وأصناف أكثر ثباتاً (الأصناف المغربية، كورنيكي،... وما شابه)، لغرض استهداف كل من الجودة والإنتاجية.

## 7. خاتمة ورؤية مستقبلية

في هذا العمل الذي بين أيدينا نجد أن الزيوت المميزة لإقليم الشاوية ورديعة التي لديها مؤشر نضج لأصناف الزيتون يبدأ من 2.58 إلى 3.6 تنتهي جميعها إلى فئة زيت الزيتون البكر الممتاز تبعاً لمواصفة المجلس الدولي للزيتون.

إن جودة زيوت الزيتون البكر الممتاز هذه ترتبط بقوة بالمكونات الدقيقة وهي : مركبات الـ بوليفينول و مركبات الأورثو ثلائي الفينول و مركبات التوكوفيرول، وكذلك طبيعة الأحماض الدهنية الأحادية - غير المشبعة والأحماض الدهنية المتعددة غير المشبعة وبخاصة نسبة الأحماض الدهنية الأحادية- غير المشبعة/الأحماض الدهنية المتعددة غير المشبعة التي تعد عاملاً محدداً لثبات التأكسد . فضلاً عن ذلك، فإن الخصائص الفيزيائية- الكيميائية والحسية للأصناف الأربع من الزيوت الناتجة، توضح أن إقليم الشاوية ورديعة يبدو ممراً ملائماً لإنتاج زيت زيتون عالي الجودة. إلا أن جودة الزيت فيما يتعلق بغني محتواه من مضادات الأكسدة وثبات التأكسد يعتمد

## المراجع

- Abaza L., Taamalli W., Ben Temime S., Daoud D., Gutierrez F., Zarrouk M., 2005. Natural antioxidant composition as correlated to stability of some Tunisian virgin olive oils. *Rivista Italiana Delle Sostanze Grasse* (82) 12-18.
- Aparicio R., Luna G., 2002. Characterisation of monovarietal virgin olive oils. *European Journal of Lipid Sciences and Technology* (104) 614-627.
- Aziz A., Mandli J., Haddam M., 2012. Étude et Validation d'une méthode de dosage des orthodiphénols dans l'huile d'olive selon la norme française NF T 90-210, Mai 2009. Les technologies de laboratoire, vol 7 n°28.
- Benabid H., 2009. Caractérisation de l'huile d'olive algérienne. Apport des méthodes chimiométriques. Thèse de doctorat en science de l'Université Mentouri de Constantine. Institut de la nutrition, de l'alimentation et des technologies agro-alimentaires (INATAA), Constantine.
- Bendriss K., 2010. Présentation: «Appellation d'origine protégée huile d'olive Tyout Chiadma. Expérience marocaine » au séminaire international consacré aux indications géographiques dans le secteur de l'huile d'olive et des olives de table, octobre 2010, Reggio di Calabria, Italie.
- Ben Temime S., Taamalli W., Bacourri B., Abaza L., Daoud D., Zarrouk M. 2006. Changes in olive oil quality of Chétoui variety according to origin of plantation. *Journal of Food Lipids* (13), 88-99.
- Ben Temime S., Manai H., Methenni K., Baccouri B., Abaza I., Sanchez Casas J. et al., 2008a. Sterolic composition of Chétoui virgin olive oil: Influence of geographical origin. *Food chemistry* (110) 368-374.
- Bouroche J.M., Saporta G., 1994. Que sais-je? - L'analyse des données, PUF, 6<sup>e</sup> édition, France.
- Boskou D., 1996. Olive Oil: Chemistry and Technology. American Oil Chemist's Society Press. Champaign, IL, USA, pp. 52-83 & 115-17
- Ceballos C., Moyano M.J., Vicario I.M., Alba J., Heredia F.J., 2003. Chromatic Evolution of Virgin Olive Oils Submitted to an Accelerated Oxidation Test. *Journal of the American Oil Chemist's Society* (80) 3, 257-262.
- Chimi H., Rahmani M., Cillard J., Cillard P., 1990. Autooxydation des huiles d'olive: rôle des composés phénoliques. *Revue Française des Corps Gras* 37:363-367.
- COI/OH/Doc. n° 1. Novembre 2011.
- COI/T.20 n° 15/Rév. 4. Novembre 2011. Analyse sensorielle de l'huile d'olive, Méthode d'évaluation organoleptique de l'huile d'olive.
- Dag A., Kerem Z., Yoge N., Zipori I., Lavee S., Ben-David E., 2011. Influence of time of harvest and maturity index on olive oil yield and quality. *Science Horticulturae*, Vol. 127, 358-366.
- Evrard J., Pagès X., Argenson C., Morin O., 2007. Procédés d'obtention et compositions nutritionnelles des huiles de tournesol, olive et colza. *Cahiers de Nutrition et de Diététique* (42) 1, 13-23.
- Fielding J.M., Sinclair A.J., Di Gregorio G., Joveski M., Stockmann R., 2003. Relationship between colour and aroma of olive oil and nutritional content. *Asia. Pac. J. Clin. Nutr.* 12:36.
- García J.M., Seller S., Pérez-Camino M.C., 1996. Influence of Fruit Ripening on Olive Oil Quality, *Journal and Agricultural Food Chemistry*, 44 (11), pp 3516-3520.
- Gharby S., Harhar H., El Monfalouti H., Kartah B., Maata N., Guillaume D., Charrouf Z., 2011. Chemical and oxidative properties of olive and argan oils sold on the Moroccan market. A comparative study. *Mediterranean Journal of Nutrition and Metabolism* (44), 1-8.
- Gutfinger T., 1981. Polyphenols in olive oils. *Journal of the American Oil Chemists' Society*, 58, 966.
- Gutiérrez F., Arnaut T., Garrido A., 2001. Contribution of polyphenols to the oxydative stability of virgin olive oil. *Journal Sciences Food Agriculture*. 81, 1-8.
- Gutiérrez F., Villafranca M.J., Castellano J.M., 2002a. Changes in the Main Components and Quality Indices of Virgin Olive Oil During Oxidation. *Journal American Oil Chemist's Society*. (79) 7, 669-676.
- Idrissi J., Rahmani M., Souizi A., Décembre 2011/Juin 2012. Étude du mécanisme de désactivation de l'oxygène singulet par les polyphénols lors de la photooxydation de l'huile d'olive. *Al Awamia* 125-126.
- Indicateur Macroéconomique et agricole - Med agri 2005 et statistiques Nations Unies 2006 (Maroc E. 108/Doc. N° 4 Mise à jour n° 31 Réf. 21 p 1).
- Judde A., 2004. Prévention de l'oxydation des acides gras dans un produit cosmétique : mécanisme, conséquences, moyens de mesure, quels antioxydants pour quelle application ? *OCL - Vol. 11- N. 6*, p 414-418.
- Karleskind A., 1992. « Manuel des corps gras », Tech. et Doc. Lavoisier, Paris. Tome 1.
- Maestro-Duran R., León-Cabello R., Ruiz-Gutiérrez V., Fiestas P., Vázquez-Roncera A., 1994. Glucósidos fenólicos amargos de la semilla del olivo (*Olea Europea*). *Grasas y Aceites*, 45: 332-35.
- Mahhou A., Taiebi Z., Hadiddou A., Oukabli A., Mamouni A., 2011. Performance et qualité de production des variétés d'olivier Arbéquine, Koroneiki et Picholine marocaine conduites en irrigué dans la région de Settat (Maroc); Olivæ n° 116 p 44-59.
- Mateos R., Uceda M., Aguilera M.A., Escuderos M.E., Beltran Maza G., 2006. Relationship of Rancimat method values at varying temperatures for virgin olive oils. *European Food Research and Technology* (223) 246-252.
- Matthaus B., 1996. Determination of the Oxidative Stability of Vegetable Oils by Rancimat and Conductivity and chemiluminescence Measurements. *American Oil Chemists' Society*, (73) 8, 1039-1043.
- Monographie agricole région Chaouia-Ouardigha, Ministère de l'Agriculture et de la Pêche

- maritime, Direction régionale de l'Agriculture, Région Chaouia-Ouardigha, juillet 2009.
- Ollé M.**, 2002. Analyse des corps gras, DGCCRF, Laboratoire interrégional de Montpellier, France, Techniques de l'ingénieur, p 3325.
- Ollivier D.**, (2003a). Recherche d'adulteration dans les huiles végétales : application à la qualité des huiles vierges et notamment de l'huile d'olive. Oléagineux Corps Gras Lipides (10) 315-320.
- Ollivier D.**, Boubault E., Pinatel C., Souillot S., Guérère M., Artaud J., 2004. Analyse de la fraction phénolique des huiles d'olive vierges. Annales des falsifications, de l'expertise chimique et toxicologique, № 965, p 169-196.
- Owen R.W.**, Giacosa A., Hull W.E., Haubner R., Spiegelhalder B., Bartsch H., 2000. The antioxidant/anticancer potential of phenolic compounds isolated from olive oil. European Journal of Cancer. 36: 1235-47.
- Rahmani M.**, 2007. Méthodes d'évaluation de la stabilité oxydative des lipides. Les technologies de laboratoire (2) 18-21.
- Ranalli A.**, Lucera L., Contento S., 2003. Antioxidizing potency of phenol compounds in olive oil mill wastewater. J. Agric. Food Chem. 51: 7636-41.
- Reboul E.**, Thap S., Perrot E., Amiot M.J., lairon D., Borel P., 2007. Effect of the main dietary antioxidants (carotenoids,  $\gamma$ -tocopherol, polyphenols and vitamin C) on  $\alpha$ -tocopherol absorption. European Journal of Clinical Nutrition, (61) 1167-1173.
- Tsimidou M.**, Papadopoulos G., Boskou D., 1992. Determination of phenolic compounds in virgin olive oil by reversed-phase HPLC with emphasis on UV detection. Food Chemistry, 44, 53-60.
- Uceda M.**, Frías L., 1975. Épocas de recolección. Evolución del contenido graso del fruto y de la composición y calidad del aceite, in: IOOC (Ed.), Proceedings of II Seminario Oleícola Internacional, Córdoba, Spain.
- Ucella N.**, Casuscelli F., De Nino A., Gallo F.R., Procopio A., Romeo G., 1994. Olea Europea L. Biophenols. Applications of Modern Analytical Methodologies. Research and innovation in Agrifood Industry. 1: 178-91.
- Vázquez Roncero A.**, Janer del Valle C., Janer del Valle M.L., 1973. Determinación de los polifenoles totales en aceite de oliva. Grasas y Aceites 24, 350-35.
- Velasco J.**, Dobarganes C., 2002. Oxidative stability of virgin olive oil. European Journal of Lipid Science and Technology. 104 ; 661-676. Instituto de la Grasa (CSIC), Sevilla, Spain.
- Zaher H.**, Boulouha B., Baaziz M., Sikaoui L., Udupa SM, 2011. Morphological and genetic diversity in olive (*Olea europaea* Sub sp. *europaea* L.) clones and varieties Plant Omics Journal 4 (7) ; 370-376.

# التركيب من الأحماض الدهنية ومن الجليسيريدات الثلاثية لزيوت الزيتون البكر لعدد 34 صنفاً و8 مسميات منشأ فرنسي وصنفان أجنبيان مزروعان في فرنسا: إنشاء بنك معلومات (الجزء I)

دניס أوليفييه<sup>1\*</sup>، كريستيان بينات<sup>2</sup>، فيرونique أوليفييه<sup>1</sup>، جاك أرتو<sup>3</sup>

<sup>1</sup> مختبر مرسيليا، الإدارة المشتركة للمختبرات، وزارة المالية، 146traverse Charles-Susini, 13388 Marseille Cedex 13 ، فرنسا

<sup>2</sup> الهيئة الفرنسية لمهن الزيتون (AFIDOL)، بيت المزارعين، 22 طريق Henri-Pontier 13626 Aix-en-Provence Cedex ، فرنسا

<sup>3</sup> جامعة ليكس مارسيليا، كلية علوم سان جيروم، طريق Escadrille Normandie-Niemen 13397 Marseille cedex 20 ، فرنسا

## نبذة مختصرة

إن دولة فرنسا غنية بحوالي مائتي صنف من أشجار الزيتون وثمانية تسميات منشأ مدققة أو محمية (التسميات الأصلية) موزعة على ثلاثة عشر قسماً بجنوب البلاد. حوالي خمسة عشر صنفاً ذات نفع عام لأنها تمثل مساحات هامة مزروعة أو تدخل في تشكيل الزيوت المعتمدة. الطلب المتزايد على إمكانية تتبع المنتجات الزراعية الغذائية يتطلب توافر أدوات غير ذاتية لتحديد منشأ المواد الأولية وكذلك منشأ المنتجات النهائية. إن مطابقة المنتجات المباعة مع دليل المنشأ التوقيعي أو الجغرافي، والتشريعات المحددة عن الزيوت المستفيدة من علامات الاعتماد (IGP, AOC, AOP,...) ومراقبة أمانة المبادرات التجارية، تتطلب توافر طرق فعالة وسريعة للتثبت. تم تحديد التركيبات المتوسطة من الأحماض الدهنية ومن الجليسيريدات الثلاثية لأربع وثلاثين صنفاً فرنسيّاً، وصنفين أجنبيين مزروعين في فرنسا وثمانية تسميات منشأ (n= 2035). تتميز الزيوت الفرنسية بتقوعها الكبير في التركيبات. إنشاء مؤشرات من خلال الأحماض الدهنية والتركيبات الأساسية من الجليسيريدات الثلاثية ساعدت في تصنيف الزيوت المختلفة فيما بينها. تم تدعيم النتائج بواسطة تحليل المكونات الرئيسية من خلال 34 متغيراً محدداً. تشكل هذه البيانات جزءاً من بنك المعلومات الأصلي الذي يحتوي على أكثر من 3000 عينة. بنك المعلومات هو الأساس في المعالجات الإحصائية التي تتيح توثيق الزيوت. وسوف يقترح الجزء الثاني من هذه الدراسة طريقة بسيطة وسريعة وموثوقة وبصرية للرد على الإشكالية المطروحة.

**كلمات مفتاحية :** زيوت الزيتون البكر الفرنسي، الأحماض الدهنية، الجليسيريدات الثلاثية، إمكانية التتبع، بنك المعلومات

سيخضع مجمله لمعالجة معلوماتية أصلية تتيح التحليل البصري السريع للبيانات في الجزء II من هذه الدراسة.

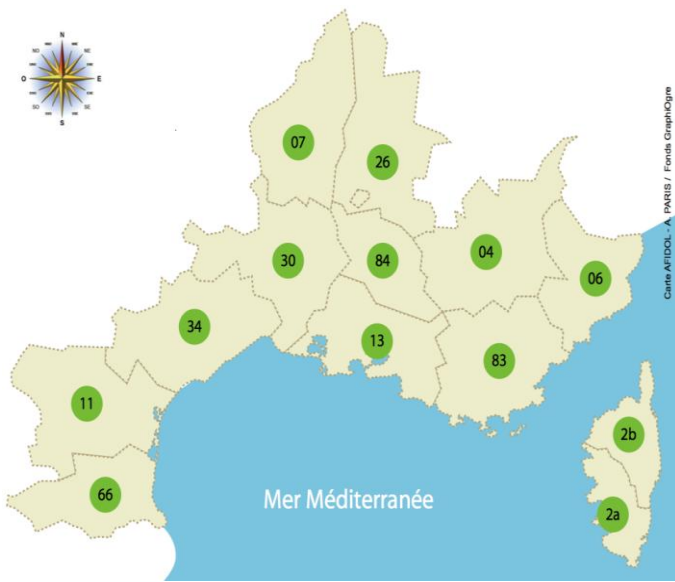
## 2. المواد والطرق

### 2.1. المواد

عينات زيوت الزيتون البكر أحادية التنوع ( $n=1009$ ) والمعتمدة (السمميات الأصلية) ( $n=1026$ ) تأتي من الهيئة الفرنسية لمهن الزيتون (AFIDOL)، Aix-en-Provence، فرنسا. تم تجميع العينات على المشتركة للمختبرات (SCL) بمرسيليا، فرنسا. تم دار 10 سنوات حصاد متغيرة (2001-2010).

يوضح شكل 1 أماكن الزراعة الرئيسية لمختلف الأصناف والسمميات الأصلية.

شكل 1. الموقع الرئيسي للأصناف الفرنسية



### 2.2. إعداد وتحليل الإسترات الميثيلية للأحماض الدهنية

يتم إجراء توزيع الجزيئات التبادلي لـ 120 مليغرام من زيت الزيتون البكر في 2 مل من الأيزو أوكتان على البارد بواسطة محلول كلوريد البوتاسيوم الميثانولي 2M (1 مل). يتم رج الخليط التفاعلي بشكل دوامي لمدة دقيقةين ثم يتعرض للطرد المركزي، المرحلة الأولى التي تحتوي على الإسترات الميثيلية للحمض الدهني تكون بإضافة 2 مل من الأيزو أوكتان. يتم رفع عينة نموذجية للتحليل. يتم إجراء التحاليل على كروموتوغراف

Perkin-Elmer Autosystem 9000XL مجهز بحافن split/splitless (درجة الحرارة = 250 درجة مئوية)، وبمكشوف بتاين الشعلة (FID) (درجة الحرارة = 250 درجة مئوية) وملقم آلي. الأنابيب الشعري DB WAX (JW) له الخصائص التالية:  $L=60\text{ m}$ ,  $\Phi_{int}=0,25\text{ mm}$ ,  $e_f=0,25\text{ }\mu\text{m}$ . الغاز الحامل هو الهيدروجين ( $kPa$ ) 154 مع توزيع الترسب (70). درجة حرارة الفرن مبرمجة: 13 دقيقة على درجة 200 درجة مئوية، 200 درجة مئوية إلى 230 درجة مئوية إلى 6 درجة مئوية/دقيقة، 17 دقيقة على درجة 230 مئوية. يتم نسخ كل التحاليل. تم تحديد الإسترات الميثيلية للأحماض الدهنية في عمل سابق [5, 17]. تم تحديد معدلات الأحماض الدهنية بواسطة توحيد المقاييس الداخلية دون النظر بعين الاعتبار إلى العوامل الكتالية للإجابة ودون أن تؤخذ في الحسبان الأحماض الدهنية التي معدلاتها أعلى من 0,01 %. تم بشكل منهجي تحليل عينة مرجعية، واردة من دائرة تحليل اعتماد المختبرات، المنظمة بواسطة المجلس الدولي للزيتون، قبل كل سلسلة تحليل لغرض التصديق على النتائج.

## 1. مقدمة

يمتلك حوض البحر المتوسط موروثاً من زراعة الزيتون يتميز بثرائه بأكثر من 2000 صنفاً مستحدثاً وراثياً منأشجار الزيتون تم إحسانها حتى يومنا هذا [1] يوجد منها حوالي مائتين في فرنسا [2, 3]. تتنوع الأصناف الفرنسية المستحدثة وراثياً تبعاً لأهمية مساحة زراعتها، وتبعاً للأصناف ذات الفائدة العامة وتبعاً للأصناف ذات الفائدة المحلية. أصناف الفائدة العامة بعدد أحد عشر تبعاً لكتالوج الرسمي للأنواع والأصناف [4] وثلاث عشر تبعاً لكل من متبيه وأخرون. [1]. زيوت بعض الأصناف ذات الفائدة العامة وبعض الأصناف (السمميات الأصلية) الفرنسية القائمة حتى يومنا هذا. حتى هذه السنوات الأخيرة، لا توجد بيانات شاملة عن التركيبات الكيميائية لزيوت الزيتون الفرنسية. وكان هنا النقص في البيانات أمراً مضراً بزراعة الزيتون الفرنسية التي، على الرغم من كونها متواضعة جداً مقارنة بتلك الخاصة بالدول المتوسطية الأخرى، بها أصلية وتنوع كبير للخصائص سيما في النواحي الحسية [5, 6]. بالإضافة إلى ذلك، من بين المشاكل الأساسية في الصناعة الزراعية الغذائية في الوقت الحالي هناك مشكلة توافر الأدوات الذاتية لتحديد منشأ المواد الأولية وكذلك منشأ المنتجات النهائية لغرض تأمين إمكانية تتبعها من المنتج إلى المستهلكين. توثيق منشأ زيت الزيتون البكر هو مثل على هذه الإشكالية. في الواقع، خضع زيت الزيتون البكر، بسبب ارتفاع سعره مقارنة بزيوت الأخرى الغذائية من جهة، والفروقات الكبيرة في الأسعار بين مختلف المصادر والجودة من جهة أخرى، إلى دراسات عديدة تقتصر طرقاً لتحديد مصدره التوقيع أو تأهيله من خلال علامات الاعتماد. وعليه، فإن مطابقة المنتجات المباعة مع دليل المنشأ التوقيعي أو الغرافي، التشيريات المحددة عن الزيوت المستقيدة من علامات الاعتماد (IGP, AOP...) ومراقبة أمانة المبادرات التجارية، تتطلب توافر طرق فعالة وسريعة للتوثيق. أيضاً تم تطوير أربع طرق مختلفة ومكملة على الزيوت: التحليل الحسي [6]، علم الأحياء الجزائري [7]، مناظير التحليل الطيفي بالأشعة تحت الحمراء [8, 9] و RMN [10, 11]، وتحليل التركيب الكيميائي. التمييز التوقيعي المستند على التركيب الكيميائي تناول العديد من عائلات المكونات: الأحماض الدهنية والجلسيريدات الثلاثية [5, 12، مادة الأستيرول [13]، المكونات الطيارة [14]

الهيبروكربونات [15]... الطرق الطيفية والكميائية مرتبطة بمعالجات القیاس الكيميائي للبيانات مثل تحليل المكون الرئيسي (ACP)، النمذجة اللينة المستقلة لمقارنة الفئة (SIMCA)، التحليل المميز بواسطة انخفاض المرءات الصغرى الجزئية (PLS-DA). منذ عدة أعوام، شرعنا في دراسة عامة لزيوت الزيتون البكر الفرنسية (HOV) أحادية التوقيع أو المعتمدة من خلال تركيبها من الأحماض الدهنية ومن الجلسيridات الثلاثية [5, 16, 17]. تم عمل خيار تحليل الأحماض الدهنية والجلسيridات الثلاثية مع النظر بعين الاعتبار إلى السهولة النسبية لتحليلاتها وثباتها مع مرور الوقت مقارنة بمكونات العائلات الكيميائية الأخرى الموجودة في زيت الزيتون البكر HOV. البيانات الكروماتوغرافية كانت موضوع تحليلات القیاس الكيميائي التي أتاحت تمييز زيوت أصناف المفعة العامة [13] والزيوت المعتمدة [6, 17]. وقد امتدت هذه الدراسة لتشمل العديد من الزيوت الفرنسية أحادية التوقيع أو التي لها تسمية أصلية، وزيوت واردة من أصناف أجنبية مزرورة في فرنسا، هذا فيما شملت الدراسة أيضاً زيوتاً أجنبية لغرض إنشاء بنك معلومات AGTG 33 [18] يشتمل على قرابة 3000 زيت زيتون متعددة المصادر.

تقدم هذه الدراسة التركيبات المتوسطة من الأحماض الدهنية ومن الجلسيridات الثلاثية لأربع وثلاثين نوعاً من الزيوت الفرنسية أحادية التوقيع، ونويع من الزيت أحادي التوقيع من أصناف أجنبية مزرورة في فرنسا وثمانية سمييات أصلية وتسهم الدراسة في تحسين المعرفة بها. تمثل النتائج جزءاً من بنك المعلومات AGTG 33 [18] الذي

- مؤشر عدم التشبع الكلي (IIT) هو نسبة الأحماض الدهنية الأحادية والأحماض الدهنية المتعددة غير المشبعة على مقدار الأحماض الدهنية المشبعة،

- مؤشر الفردية (Iimp) هو نسبة مقدار الأحماض الدهنية الفردية ذات 17 ذرة كربون على مقدار الأحماض الزوجية، مصروباً في 100.

## 2.6. مدونة

الأحماض الدهنية: حمض بالميتيك (16:0)، (حمض هكساديكانويك)، حمض هيبو جيبك (16:1ω9)، (حمض هيكسا ديسينويك)، حمض باليتو ليبك (16:1ω7) (حمض هيكسا ديسينويك)، حمض مار جاريك (17:0)، (حمض هيبتاديكانيويك)، حمض مار جاروليبك (17:1ω8)، (حمض هيبتاديسينويك)، حمض الزيتنيك (18:1ω9)، (حمض أوكتاديسينويك)، حمض ز-فاكتينيك (18:1ω7)، (حمض أوكتاديسينويك)، حمض لينولييك (18:2ω6)، (حمض أوكتاديكابينويك)، حمض لينولينيك (18:3ω3)، (حمض أوكتاديكاترينويك)، حمض أراشيديك (20:0)، (حمض إيكوزانويك)، حمض جوندويك (20:1ω9)، (حمض إيكوزينويك) [13]، حمض البيهينيك (22:0)، (حمض دوكوزانويك)، حمض لينجوسيريك (24:0)، (حمض تتراكوزانويك).

الجليسريدات الثلاثية: تم تحديد الجليسريدات الثلاثية بأحرف متوافقة مع اختصار الأحماض الدهنية المحددة على الغليسرين: P، بالميتول، PO<sub>3</sub>، بالميتو ليل، S، ستياروليل، O، أوليوليل، L، لينوليوليل، Ln، لينوليولينيل، A، أراشيدوليل.

## النتائج والنقاشات

كل العينات الخاضعة للدراسة لها نفس الأحماض الدهنية بعد أربعة عشر (الجدائل 1أ و 2). تتبع نسبها المئوية بطريقة ضمن وبين الأصناف. يمكن منح التغيرات بين الأصناف لثوابت مختلفة خاصة بالبيئة والزراعة: التربة، الظروف المناخية، الطرق الزراعية، نضج الزيتون... التغيرات البيئية التنويعية تأتي من فروقات وراثية. الجداول 1أ و 1ب تعطي قيمة متوسطة لكل حمض من الأحماض الدهنية التي معدلاتها أعلى من 0,01% وكذلك أربعة مؤشرات متوسطة IMI و IPI و IIT و Iimp.

معاملات التغير، المحاسبة على 60 تحليلاً من نفس العينة، أقل من 5% للأحماض الدهنية الرئيسية وأقل من 10% لبعض الأحماض الدهنية الدقيقة [17].

## 2.3. تحليل السكوالين

تم تحديد السكوالين خلال تحليل الإسترات الميثيلية للأحماض الدهنية بواسطة توحيد المقاييس الداخلية دون النظر بعين الاعتبار لفارق معاملات الإجابة بين الإسترات الميثيلية للأحماض الدهنية والسكوالين.

## 2.4. تحليل الجليسريدات الثلاثية

يتم تحديد الجليسريدات الثلاثية بواسطة كروموجراف Merck Model LaChrom مجهز بأنبوب Merck RP-18 (طول 30 متر وقطر داخلي 4 مم)، خاضع للسيطرة حرارياً عند حرارة 28 درجة مئوية وكاشف ريفراكتومتر Merck L-7490 10 ميكرو لتر بمحلول جليسريدات ثلاثة 5% (p/v) في البروبيلينتريل (مخثث CHEM-LAB NV، بلجيكا) [19] يتم حقتها بواسطة ملقم آلي (Merck L-7200) وحلقة حقن 100 ميكرو لتر. المذيب هو البروبيلينتريل مع مقياس خطى الدفق يتغير من 0,5 إلى 1 مل/ دقيقة لمدة 47 دقيقة. يتم نسخ كل التحليلات. تنفصل الجليسريدات الثلاثية وفقاً لعدد الكربون المكافئ (ECN) المحدد بواسطة العلاقة  $n = \frac{1}{\text{ECN}}$ . الكربيون لسلسل الأسيل و  $n$  العدد الإجمالي للروابط المزدوجة لسلسل الأسيل. تم تحديد الجليسريدات الثلاثية بواسطة البيانات الواردة في المؤلفات [20] وبعد مجموعة من القيم في التحليل الكروموجرافى السائل وتحليل إستراتها الميثيلية [17]. نظراً لأنه لا توافق لدينا قيم لعينة مرجعية، فقد أنشأنا عينة مرجعية من خلال وضع بطاقة مراقبة وتؤخذ كمرجعية القيم المتوسطة التي تم الحصول عليها بالنسبة للجليسريدات الثلاثية [17]. معاملات التغيرات، المحاسبة على 33 تحليلاً، أقل من 5% بالنسبة للجليسريدات الثلاثية التي معدلاتها أعلى من 2%. بالنسبة للجليسريدات الثلاثية التي تتراوح معدلاتها بين 1 و 2% تكون معاملات التغير أقل من 10% [17].

## 2.5. المؤشرات المتوسطة

تم احتساب أربع مؤشرات متوسطة تميز زيت الزيتون البكر. وهي محددة فيما يلي:

- مؤشر أحادي- عدم التشبع (IMI) هو نسبة مقدار الأحماض الدهنية الأحادية غير المشبعة على مقدار الأحماض الدهنية المشبعة، - مؤشر عديد- عدم التشبع (IPI) هو نسبة مقدار الأحماض الدهنية المتعددة غير المشبعة على مقدار الأحماض الدهنية المشبعة،

جدول 1أ. الترکیبات المتوسطة من الأحماض الدهنية<sup>1</sup> (%) ومن السکوالین لزيوت الزيتون البكر الواردة من 14 صنفًا لفائدة العامة

Acides gras	Aglandau	Bouteillan	Cailletier	Cayanne	Cayet roux	Cayon	Grossane	Lucques	Olivière	PicholineL	Salonenque	Tanche	Verdale 13	Verdale 34
	n=128	n=63	n=163	n=12	n=4	n=14	n=25	n=21	n=32	n=107	n=52	n=151	n=5	n=11
<b>16 :0</b>	12,78	12,02	10,88	11,14	12,80	10,29	14,19	11,98	11,96	10,75	14,58	8,43	13,13	12,70
<b>16 :1ω9</b>	0,14	0,13	0,10	0,17	0,10	0,20	0,11	0,14	0,14	0,13	0,12	0,15	0,10	0,14
<b>16 :1ω7</b>	1,03	0,63	0,63	0,71	0,89	0,94	1,75	0,86	1,42	0,58	1,07	0,39	1,00	0,88
<b>17 :0</b>	0,17	0,13	0,05	0,05	0,12	0,05	0,05	0,15	0,11	0,06	0,07	0,05	0,05	0,14
<b>17 :1ω8</b>	0,34	0,21	0,10	0,12	0,34	0,09	0,12	0,28	0,28	0,10	0,12	0,08	0,09	0,26
<b>18 :0</b>	2,48	2,53	2,13	1,76	1,43	2,12	1,94	2,34	1,75	2,24	2,60	2,66	2,04	2,02
<b>18 :1ω9</b>	71,97	68,24	75,55	75,09	66,70	78,83	69,26	72,91	74,43	73,73	64,13	79,51	65,12	68,44
<b>18 :1ω7</b>	2,49	1,96	2,13	20,51	3,26	2,25	3,33	2,21	3,49	1,84	2,46	1,47	2,81	2,43
<b>18 :2ω6</b>	7,19	12,28	6,99	6,86	12,92	3,82	7,70	7,53	4,04	8,92	13,38	5,81	14,21	11,51
<b>18 :3ω3</b>	0,60	0,96	0,60	0,60	0,64	0,63	0,71	0,73	0,69	0,84	0,59	0,61	0,67	0,79
<b>20 :0</b>	0,40	0,43	0,37	0,38	0,30	0,36	0,38	0,40	0,31	0,36	0,44	0,38	0,36	0,33
<b>20 :1ω9</b>	0,25	0,30	0,31	0,40	0,33	0,26	0,29	0,32	0,27	0,32	0,25	0,31	0,25	0,21
<b>22 :0</b>	0,12	0,13	0,12	0,15	0,12	0,22	0,12	0,11	0,08	0,09	0,13	0,10	0,10	0,10
<b>24 :0</b>	0,05	0,06	0,05	0,06	0,06	0,05	0,05	0,06	0,04	0,05	0,07	0,04	0,05	0,04
<b>Squal.</b>	0,81	0,93	0,43	0,50	0,87	0,57	0,91	0,46	0,65	0,70	0,64	0,92	1,01	0,75
<b>IMI</b>	4,77	4,71	5,78	5,83	4,86	6,45	4,46	5,12	5,66	5,65	3,79	6,99	4,40	4,72
<b>IPI</b>	0,49	0,87	0,56	0,55	0,92	0,35	0,50	0,55	0,33	0,72	0,78	0,55	0,94	0,80
<b>IIT</b>	5,25	5,58	6,34	6,38	5,78	6,80	4,96	5,67	5,99	6,37	4,56	7,54	5,34	5,52
<b>Imp</b>	3,21	2,19	1,06	1,28	3,11	1,11	1,02	2,81	2,73	1,14	1,05	1,06	0,93	2,58

جدول 1ب. التركيبات المتوسطة من الأحماض الدهنية<sup>1</sup> (%) ومن السكوالين لزيوت الزيتون البكر الواردة من 22 صنفًا لفائدة المحلية

Acides gras	Aubenc	Arbéquine F <sup>2</sup>	Artoussane F <sup>2</sup>	Baguet	Bé-dé-Cézé	Blanche de Paysac	Brun	Clermontaise	Coucourelle	Dent de Verrat	Grassois	Négrette	Petit ribier	Petite noire	Petite violette	Pointue 07 <sup>3</sup>	Rouquette 07 <sup>3</sup>	Rouquette 34 <sup>4</sup>	Rousette 83 <sup>6</sup>	Sabine	Triupe	Verdale 66 <sup>5</sup>
	n=5	n=38	n=10	n=3	n=6	n=6	n=27	n=4	n=5	n=5	n=3	n=27	n=19	n=5	n=3	n=3	n=27	n=13	n=5	n=9	n=5	n=77
16 : 0	10,46	14,22	12,88	13,76	13,66	11,18	12,53	11,67	14,06	12,71	11,86	9,88	11,24	12,52	8,13	12,89	11,76	10,24	10,78	11,22	13,70	11,00
16 : 1ω9	0,10	0,14	0,08	0,12	0,14	0,11	0,14	0,13	0,16	0,10	0,13	0,14	0,06	0,12	0,13	0,14	0,15	0,14	0,09	0,18	0,08	0,10
16 : 1ω7	0,51	1,51	1,12	1,51	1,12	0,54	1,39	0,75	1,66	1,20	0,72	0,61	0,60	0,06,61	0,51	0,75	1,05	0,63	0,60	0,057	1,43	0,52
17 : 0	0,04	0,11	0,13	0,04	0,04	0,05	1,12	0,18	0,09	0,05	0,04	0,13	0,05	0,04	0,16	0,14	0,05	0,12	0,15	0,05	0,05	0,06
17 : 1ω8	0,07	0,23	0,28	0,09	0,07	0,09	0,24	0,27	0,22	0,10	0,08	0,22	0,09	0,09	0,25	0,25	0,09	0,30	0,24	0,06	0,09	0,09
18 : 0	2,86	1,75	2,11	1,30	2,20	2,36	2,03	2,81	1,53	2,21	1,81	3,68	1,97	1,78	2,75	2,43	2,70	1,56	2,78	2,54	1,74	3,13
18 : 1ω9	78,08	69,39	74,49	71,43	68,12	72,66	70,68	71,08	68,54	74,31	75,13	73,57	76,05	72,45	82,30	71,71	72,46	72,97	77,63	71,55	68,49	74,88
18 : 1ω7	1,71	3,48	2,86	3,91	2,63	2,04	2,85	2,11	3,75	2,56	2,81	1,91	2,11	2,68	1,32	2,14	2,16	2,14	1,61	1,64	3,06	1,73
18 : 2ω6	4,92	7,78	4,54	6,54	10,16	9,57	8,76	9,37	8,53	5,48	6,01	8,12	6,39	8,23	2,86	8,20	8,10	10,49	4,62	10,45	9,94	6,99
18 : 3ω3	0,38	0,53	0,57	0,76	1,08	0,64	0,55	0,67	0,57	0,55	0,70	0,87	0,63	0,67	0,71	0,54	0,62	0,69	0,61	0,91	0,68	0,58
20 : 0	0,44	0,38	0,41	0,23	0,38	0,37	0,34	0,47	0,35	0,35	0,30	0,44	0,34	0,32	0,43	0,40	0,44	0,28	0,42	1,40	0,33	0,49
20 : 1ω9	0,24	0,30	0,30	0,22	0,22	0,26	0,23	0,28	0,36	0,22	0,28	0,28	0,30	0,32	0,31	0,23	0,25	0,29	0,28	0,27	0,26	0,25
22 : 0	0,14	0,12	0,16	0,07	0,13	0,10	0,10	0,14	0,12	0,12	0,09	0,11	0,11	0,11	0,11	0,12	0,13	0,09	0,14	0,09	0,12	0,13
24 : 0	0,06	0,06	0,06	0,04	0,05	0,04	0,04	0,06	0,06	0,04	0,04	0,05	0,05	0,05	0,05	0,06	0,05	0,04	0,05	0,06	0,04	0,05
Squa. <sup>7</sup>	0,92	0,43	0,43	0,68	0,73	0,75	0,33	0,64	0,94	0,28	0,35	0,73	0,86	0,67	1,00	0,95	0,72	0,63	0,53	0,39	0,97	0,73
IMI	5,78	4,52	5,01	5,01	4,37	5,38	4,94	4,86	4,58	5,08	5,60	5,40	5,75	5,14	7,30	4,69	5,02	6,18	5,51	5,19	4,62	5,26
IPI	0,38	0,50	0,32	0,47	0,68	0,72	0,61	0,66	0,56	0,39	0,47	0,63	0,51	0,60	0,31	0,54	0,57	0,91	0,36	0,80	0,67	0,541
IIT	6,16	5,02	5,33	5,48	5,05	6,10	5,55	5,51	5,14	5,47	6,07	6,03	6,26	5,74	7,61	5,23	5,59	7,09	5,87	5,99	5,28	5,77
Imp	0,76	2,02	2,60	0,84	0,68	0,97	2,40	2,96	1,87	0,97	0,83	2,45	0,96	0,90	3,53	2,41	0,92	3,38	2,67	0,74	0,86	1,01

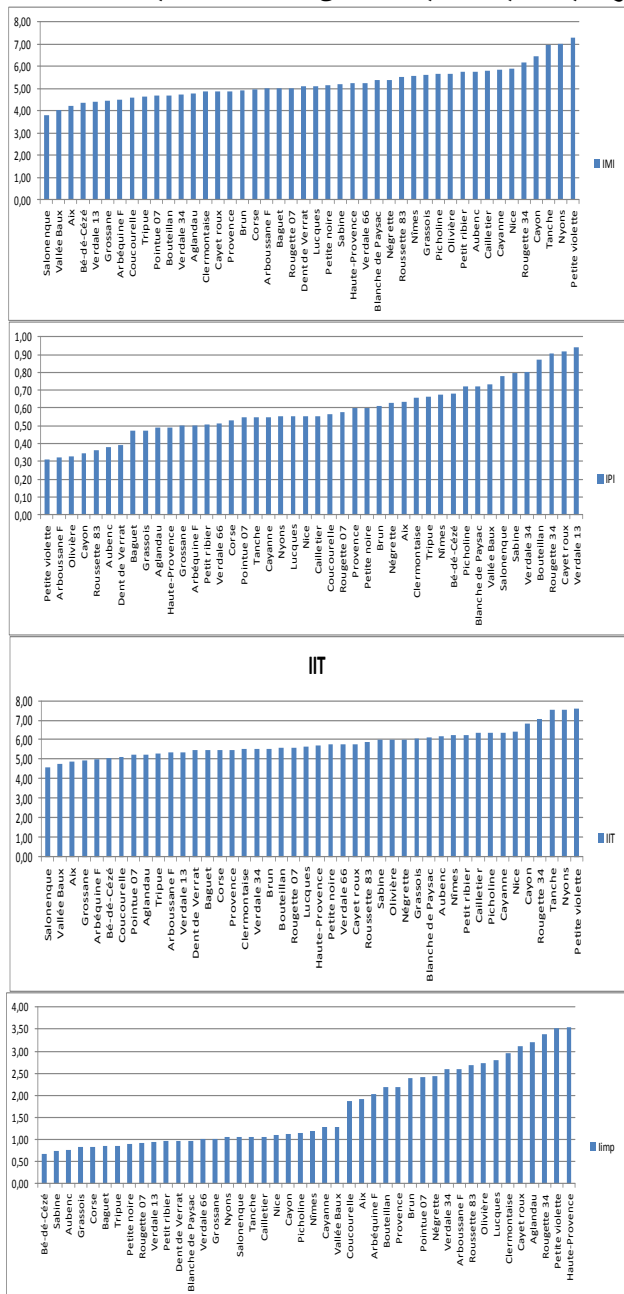
جدول 2. التركيبات المتوسطة من الأحماض الدهنية<sup>1</sup> (%) لزيوت الزيتون البكر الواردة من 8 تسميات فرنسية أصلية

Acides gras	Aix-en-Provence	Corse	Haute-Provence	Nice	Nîmes	Nyons	Provence	Vallée des Baux de Provence
	n=181	n=35	n=141	n=163	n=70	n=151	n=87	n=198
16 : 0	13,78	12,76	11,76	10,73	10,82	8,43	12,24	14,12
16 : 1ω9	0,12	0,11	0,14	0,10	0,13	0,15	0,13	0,12
16 : 1ω7	1,06	0,94	0,88	0,61	0,60	0,39	0,91	1,13
17 : 0	0,12	0,04	0,18	0,05	0,06	0,05	0,12	0,08
17 : 1ω8	0,21	0,08	0,35	0,10	0,10	0,08	0,22	0,14
18 : 0	2,57	2,09	2,41	2,10	2,35	2,68	2,52	2,54
18 : 1ω9	68,05	72,38	73,89	75,88	73,95	79,48	71,56	65,71
18 : 1ω7	2,45	2,63	2,29	2,10	1,87	1,47	2,27	2,55
18 : 2ω6	10,17	7,46	6,68	6,87	8,46	5,83	8,55	12,12
18 : 3ω3	0,61	0,69	0,59	0,60	0,83	0,61	0,65	0,64
20 : 0	0,43	0,37	0,39	0,37	0,37	0,38	0,40	0,43
20 : 1ω9	0,25	0,30	0,26	0,32	0,31	0,31	0,26	0,25
22 : 0	0,12	0,11	0,12	0,12	0,09	0,10	0,13	0,12
24 : 0	0,06	0,05	0,05	0,05	0,05	0,04	0,05	0,06
Squa. <sup>2</sup>	0,72	0,55	0,82	0,44	0,69	0,91	0,75	0,71
IMI	4,23	4,96	5,22	5,89	5,57	6,99	4,89	4,03
IPI	0,63	0,53	0,49	0,56	0,67	0,55	0,60	0,73
IIT	4,86	5,49	5,71	6,44	6,25	7,54	5,49	4,76
Imp	1,92	0,83	3,53	1,09	1,19	1,04	2,19	1,29

المؤشران IMI و IIT، المسيطر عليهما على التوالي بمعدلات حمض الزيتيك (9:18) وحمض لينوليك (18:2)، مما يقل (3,79) بالنسبة (4,56) بالنسبة لـIPI، المرتبط إحصائياً بشكل أساسى بالنسبة لبوتيت فيوليت. المؤشر IPI، المرتبط إحصائياً بشكل أساسى بالنسبة للمئوية لحمض لينوليك (18:2)، هو الحد الأدنى (0,31) بالنسبة لبوتيت فيوليت والحد الأقصى (0,94) بالنسبة لـIPI. مرتبط مباشراً بالنسبة للمئوية % من أحماض المؤشر Marjاريك (0:17) و Marjaronilic (17:0)؛ بيه دى سيزيه له مؤشر IPI هو الأقل (0,68) على النقيض من بوتيت فيوليت حيث أنه أكثر ارتفاعاً (3,53). ينبعى أن يكون تصنيف المسميات الأصلية تبعاً للمؤشر قريباً من الأصناف التي تتشكل منها وبخاصة عنما تتشكل من صنف غالب أو شيد الغالبية. بذلك فإن التسميات الفرنسيّة الأصلية المحمية *Nice* و *Nyons*، المشكّلة بنسبة 95% من الصنفين تانش وكابونتيه، لها موشرات مطابقة لصنفها الخاص. أيضاً، التسمية الفرنسيّة الأصلية المحمية *Nîmes* حيث يغلب الصنف بيشولين لها تصنيف قياسي قريب من الصنف الغالب. يتميز أجلاندو، الصنف الفرنسي الأساسي، بممؤشر فردية ضمن الأعلى بالنسبة للأصناف الفرنسيّة محل الدراسة. يغلب هذا الصنف في التسميات الفرنسيّة الأصلية المحمية *Aix-Provence* (~80%) و- *Aix-en-Provence* (~50%) حيث أنه متواجد بنسبة مئوية أقل في التسميات الفرنسيّة الأصلية *mhmme Vallée des Baux* (~15%). قيم IPI لهذه التسميات الفرنسيّة الأصلية المحمية تتخلص عن التسمية الفرنسيّة الأصلية المحمية *Haute-Provence* (3,53) ثم التسمية الفرنسيّة الأصلية المحمية *Aix-en-Provence* (1,92) والتسمية الفرنسيّة الأصلية المحمية *Vallée des Baux* (1,29). التسمية الفرنسيّة الأصلية المحمية *Corse Provence* و *AOC Provence*، المشكّلة من أصناف مختلفة، لها مؤشرات IPI، IMI و IIT متقاربة. وهي تختلف بفعل قيمة IPI، المرتفعة في التسمية الأصلية المدققة *Provence* عنه في التسمية الفرنسيّة الأصلية المحمية *Corse*، بسبب وجود أجلاندو في التسمية الأصلية المدققة *Provence*. تتيح الأربع موشرات تصنيف مختلف الزيوت بسرعة إلا أنها ليست كافية لتحديد ها صراحة. معدل السكوالين لمجمل الأصناف والمسميات الأصلية هو الأقل بالنسبة لـIPI (~0,33) والأعلى بالنسبة لـIPI (~1,01). التركيبات من الجليسريدات الثلاثية لعدد 36 صنفاً وثمانية مسميات أصلية مجمعة في الجداول 3، 4 وـ5.

حمض الزيتنيك (18:0)، بالميتينيك (16:0)، حمض لينوليليك (18:2)، وستيباريك (18:0) هي أحماض دهنية رئيسية توجد عادة في زيت الزيتون البكر. المتصاوغات الأحادية-غير المشبعة للأحماض ذات السته عشر ذرة كربون (هيوجيبيك، 16:1 09، 16:1 09، 1:1 07) وثمانية عشر ذرة كربون (الميتوليليك، 18:1 09، Z-فلاكسينيك، 1:1 07)، تم أخذها في الاعتبار، على النفيض من كل الموافقة التجارية للمجلس الدولي للزيتون [21] والتشريع الأوروبي الذي يحسبها معاً [22]. وبعد هذا النهج الأكثر صرامة مفاداً من أجل تمييز الأصناف والسميات الأصلية لأن العديد من الأحماض الدهنية الثانوية هي مسجلات للusp، من بينها

**شكل 2** يمثل المؤشرات المتوسطة لكل صنف وكل مسمى من المسمايات الأصلية وكذلك المؤشرات المتوسطة لست وثلاثين صنفاً وثمانية مسميات أصلية محددة من خلال 2035 عينة.



## شكل 2. تصنيف الأصناف والتسميات الفرنسية الأصلية محمية AOP وفقاً لأربعة مؤشرات

جدول 3أ. التركيبات المتوسطة من الجليسيريدات الثلاثية<sup>1</sup> (%) لزيوت الزيتون البكر الواردة من 14 صنفًا لفائدة العامة

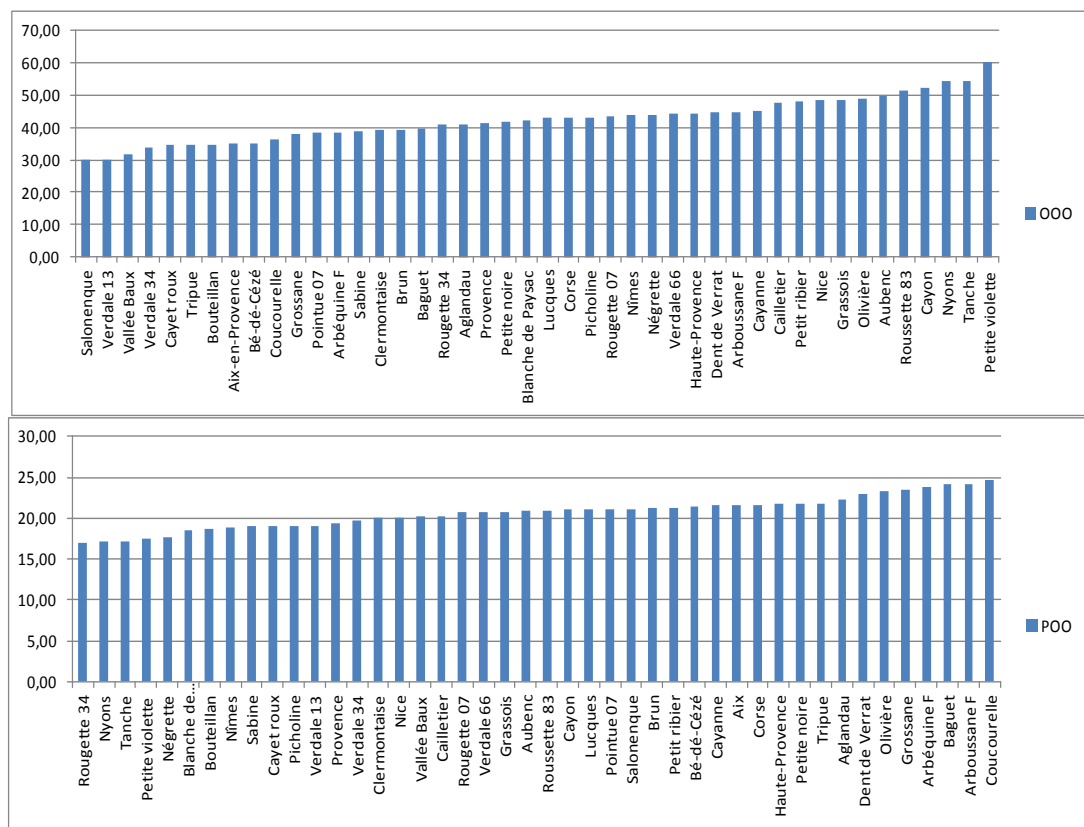
Triglycérides		Aglandau	Bouteillan	Cailletier	Cayenne	Cayet roux	Cayon	Grossane	Lucques	Olivière	Picholine	Salonenque	Tanche	Verdale 13	Verdale 34
	n=128	n=63	n=163	n=12	n=4	n=14	n=25	n=21	n=32	n=107	n=52	n=151	n=5	n=11	
LLL	0,09	0,41	0,06	0,09	0,22	0,06	0,09	0,10	0,07	0,07	0,31	0,06	0,41	0,20	
OLnL	0,19	0,56	0,20	0,21	0,38	0,14	0,27	0,25	0,13	0,19	0,32	0,17	0,48	0,49	
PLnL	0,05	0,15	0,05	0,05	0,13	0,03	0,07	0,06	0,03	0,05	0,11	0,03	0,10	0,12	
LOL	1,42	3,99	1,36	1,51	4,24	0,68	1,51	1,66	0,79	1,19	4,05	1,25	4,80	3,31	
OLnO	1,44	1,91	1,49	1,57	1,64	1,73	1,86	1,77	1,57	1,47	1,30	1,59	1,78	2,03	
PLL	0,51	1,21	0,40	0,46	1,07	0,23	0,67	0,49	0,33	0,37	1,66	0,21	1,68	1,14	
PLnO	0,75	0,97	0,63	0,65	0,78	0,62	0,92	0,85	0,73	0,63	0,72	0,47	0,81	1,20	
LOO	11,60	17,10	12,84	12,23	19,61	7,90	11,92	13,25	6,99	11,32	16,94	12,11	18,87	17,12	
PoOO	2,05	1,28	1,35	1,59	1,19	2,20	3,15	1,66	3,08	1,23	1,53	0,98	1,79	1,57	
PLO	5,62	7,8/2	4,85	5,22	8,80	2,97	6,49	5,48	3,07	4,67	10,15	3,26	10,06	8,67	
PoOP	1,34	0,69	0,53	0,75	1,00	0,79	1,51	1,09	1,63	0,53	0,79	0,28	0,77	0,98	
PLP	0,57	0,95	0,36	0,53	0,89	0,21	0,69	0,44	0,25	0,43	1,22	0,18	1,19	0,97	
OOO	41,16	34,87	47,71	45,15	34,59	52,36	37,92	42,90	48,94	48,28	29,94	54,29	30,03	33,74	
SLO	0,78	1,18	0,62	0,58	0,62	0,32	0,54	0,58	0,28	0,53	1,16	0,79	1,11	1,03	
POO	22,27	18,61	20,29	21,56	18,99	21,01	23,56	21,04	23,25	21,30	21,13	17,17	19,09	19,71	
POP	3,87	3,18	2,81	3,25	3,33	2,80	4,03	3,60	3,70	3,17	4,00	1,98	3,19	3,34	
SOO	3,81	3,27	3,39	2,88	1,82	3,68	2,74	3,50	3,05	3,29	3,25	4,39	2,53	2,78	
SOP	0,97	0,79	0,70	0,61	0,43	0,67	0,76	0,86	0,68	0,76	1,01	0,64	0,71	0,66	
POA	0,48	0,47	0,48	0,45	0,26	0,46	0,42	0,47	0,42	0,47	0,42	0,50	0,31	0,36	

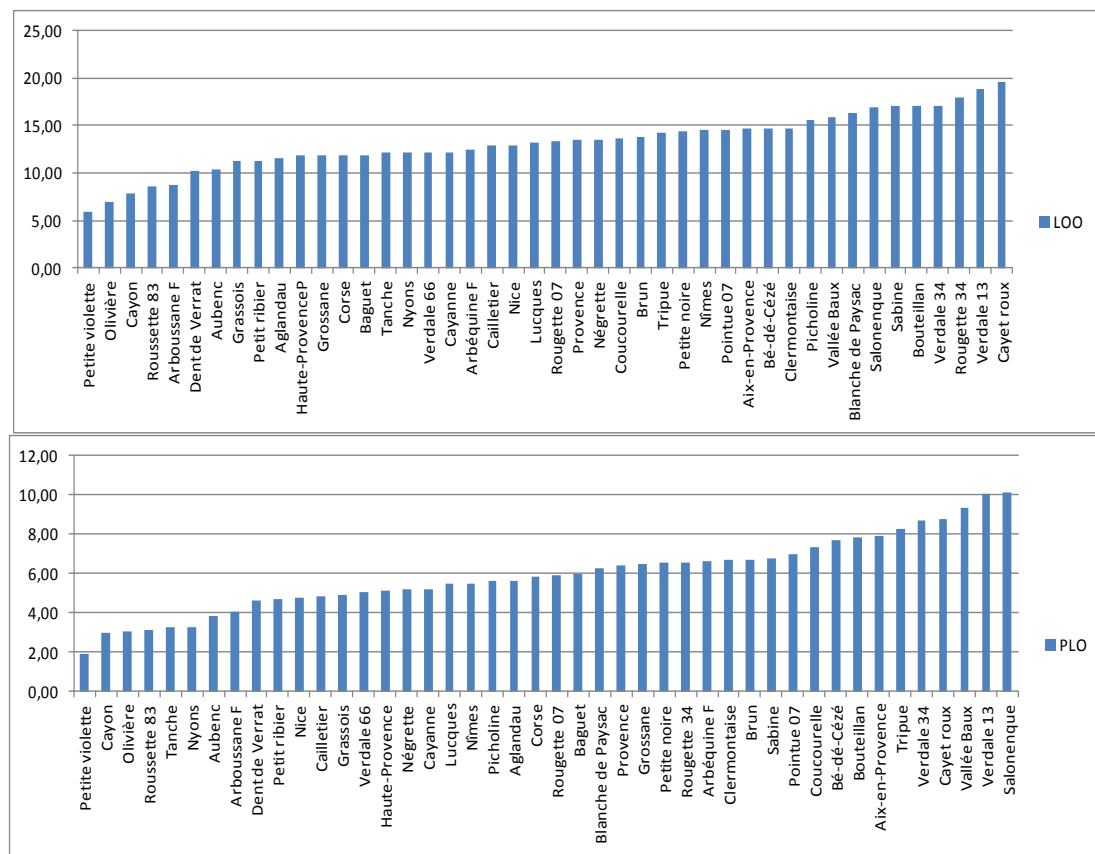
جدول 3ب. التركيبات المتوسطة من الجليسيريدات الثلاثية<sup>1</sup> (%) لزيوت الزيتون البكر الواردة من 22 صنفًا لفائدة المحلية

Triglycérides		Aubenc	Arbéquine F <sup>2</sup>	Arboussane F <sup>2</sup>	Baguet	Bé-dé-Cézé	Blanche de Paysac	Brun	Clermontaise	Coucourelle	Dent de Verrat	Grassois	Négrette	Petit ribier	Petite noire	Pointue 07 <sup>3</sup>	Rougette 07 <sup>3</sup>	Rougette 34 <sup>4</sup>	Rousette 83 <sup>6</sup>	Sabine	Tripue	Verdale 66 <sup>5</sup>
	n=5	n=38	n=10	n=3	n=6	n=6	n=27	n=4	n=5	n=5	n=3	n=27	n=19	n=5	n=3	n=3	n=27	n=13	n=5	n=9	n=5	n=77
LLL	0,02	0,07	0,05	0,06	0,16	0,12	0,14	0,16	0,08	0,07	0,13	0,13	0,07	0,12	0,04	0,11	0,13	0,24	0,10	0,20	0,17	0,10
OLnL	0,11	0,18	0,14	0,31	0,51	0,29	0,28	0,32	0,22	0,18	0,27	0,34	0,19	0,23	0,10	0,30	0,25	0,48	0,15	0,45	0,29	0,22
PLnL	0,02	0,04	0,03	0,07	0,14	0,06	0,06	0,09	0,07	0,04	0,07	0,08	0,05	0,05	0,02	0,07	0,06	0,09	0,03	0,10	0,07	0,06
LOL	0,88	1,59	0,75	1,39	2,50	2,56	2,24	2,34	1,89	1,08	1,30	1,87	1,19	2,00	0,32	1,97	1,84	3,38	0,98	3,27	2,87	1,58
OLnO	1,22	1,60	1,41	2,31	2,42	1,56	1,88	1,62	1,81	1,64	1,87	2,04	1,47	1,64	1,69	1,70	1,67	1,98	1,58	1,98	1,82	1,37
PLL	0,26	0,63	0,23	0,50	0,91	0,68	0,80	0,69	0,74	0,43	0,42	0,51	0,37	0,56	0,09	0,64	0,63	0,84	0,27	0,85	1,16	0,47
PLnO	0,43	0,78	0,68	1,13	1,21	0,62	0,86	0,76	0,91	0,68	0,88	0,76	0,63	0,69	0,54	0,86	0,67	0,84	0,60	0,83	0,97	0,56
LOO	10,43	12,41	8,76	11,94	14,65	16,35	13,87	14,72	13,66	10,30	11,29	13,45	11,32	14,37	5,92	14,56	13,36	17,90	8,59	17,06	14,18	12,15
PoOO	1,37	2,69	2,45	3,23	1,96	1,23	2,70	1,60	2,82	2,81	1,64	1,31	1,23	1,33	1,28	1,70	2,22	1,40	1,45	1,18	2,39	1,30
PLO	3,82	6,65	4,03	6,01	7,73	6,23	6,72	6,70	7,34	4,60	4,88	5,22	4,67	6,53	1,91	7,01	5,89	6,56	3,11	6,78	8,24	5,08
PoOP	0,48	1,53	1,46	1,52	0,89	0,44	1,39	0,93	1,52	1,22	0,63	0,77	0,53	0,52	0,86	1,10	0,75	0,96	0,78	0,43	1,24	0,62
PLP	0,40	0,74	0,42	0,56	0,98	0,67	0,62	0,67	0,59	0,41	0,40	0,44	0,43	0,68	0,14	0,69	0,42	0,60	0,22	0,58	1,13	0,52
OOO	49,69	38,59	44,92	39,82	35,27	42,39	39,48	39,37	36,52	44,85	18,43	44,08	48,28	41,70	60,17	38,54	43,34	40,95	51,31	38,87	34,62	44,30
SLO	0,70	0,51	0,48	0,32	0,89	1,15	0,69	1,09	0,42	0,52	0,42	1,33	0,53	0,63	0,42	0,99	0,86	0,74	0,55	1,04	0,51	1,14
POO	20,99	23,82	24,18	24,13	21,45	18,47	21,26	19,98	24,76	22,91	20,77	17,71	21,30	21,75	17,44	21,12	20,72	17,05	21,00	18,97	21,78	20,76
POP	2,96	4,27	4,03	3,74	3,70	2,60	3,03	3,26	4,11	3,61	2,74	2,64	3,17	3,44	2,37	3,80	2,73	2,64	2,89	2,76	3,43	2,86
SOO	4,88	2,56	3,64	2,16	3,23	3,39	3,07	4,29	2,23	3,44	2,78	5,76	3,29	2,63	5,22	3,43	4,13	2,30	4,41	3,49	2,36	5,00
SOP	1,06	0,76	0,95	0,53	0,90	0,77	0,72	1,02	0,54	0,86	0,67	1,03	0,76	0,59	0,79	0,94	0,86	0,54	0,75	0,60	0,65	1,04
POA	0,59	0,43	0,60	0,27	0,42	0,41	0,43	0,60	0,40	0,51	0,40	0,54	0,47	0,37	0,69	0,46	0,55	0,33	0,55	0,36	0,38	0,50

**جدول 4.** التركيبات المتوسطة من الجليسيريدات الثلاثية (%) لزيوت الزيتون البكر الواردة من 8 تسميات فرنسية أصلية محمية

Triglycérides	Aix-en-Provence	Corse	Haute-Provence	Nice	Nîmes	Nyons	Provence	Vallée des Baux de Provence
	n=181	n=35	n=141	n=163	n=70	n=151	n=87	n=198
<b>LLL</b>	0.20	0.09	0.08	0.06	0.15	0.06	0.13	0.29
<b>OLnL</b>	0.30	0.23	0.18	0.20	0.36	0.17	0.24	0.36
<b>PLnL</b>	0.08	0.07	0.04	0.05	0.08	0.03	0.07	0.11
<b>LOL</b>	2.78	1.46	1.34	1.36	2.26	1.25	2.05	3.63
<b>OLnO</b>	1.61	1.52	1.48	1.51	1.81	1.58	1.47	1.72
<b>PLL</b>	1.08	0.53	0.43	0.39	0.58	0.21	0.67	1.52
<b>PLnO</b>	0.84	0.74	0.74	0.61	0.73	0.46	0.70	0.89
<b>LOO</b>	14.65	11.92	11.83	13.85	14.48	12.11	13.44	15.91
<b>PoOO</b>	1.98	1.86	1.90	1.31	1.32	0.98	1.79	2.06
<b>PLO</b>	7.92	5.82	5.10	4.78	5.49	3.30	6.45	9.37
<b>PoOP</b>	1.06	0.87	1.23	0.52	0.57	0.28	1.00	1.07
<b>PLP</b>	0.88	0.62	0.43	0.36	0.49	0.19	0.74	1.16
<b>OOO</b>	35.21	43.01	44.39	18.32	43.98	54.20	41.48	31.85
<b>SLO</b>	1.06	0.69	0.75	0.63	0.91	0.79	0.98	1.19
<b>POO</b>	21.56	21.62	21.69	20.13	18.90	17.11	19.42	20.27
<b>POP</b>	3.73	3.67	3.38	2.74	2.85	1.99	3.35	3.67
<b>SOO</b>	3.30	3.29	3.76	3.33	3.67	4.44	3.95	3.24
<b>SOP</b>	0.92	0.83	0.85	0.67	0.78	0.66	0.97	0.95
<b>POA</b>	0.43	0.50	0.48	0.49	0.44	0.50	0.55	0.43





شكل 3. تصنيف للأصناف والسميات الأصلية تبعاً للنسبة المئوية لأربع جليسريدات ثلاثة غالبة.

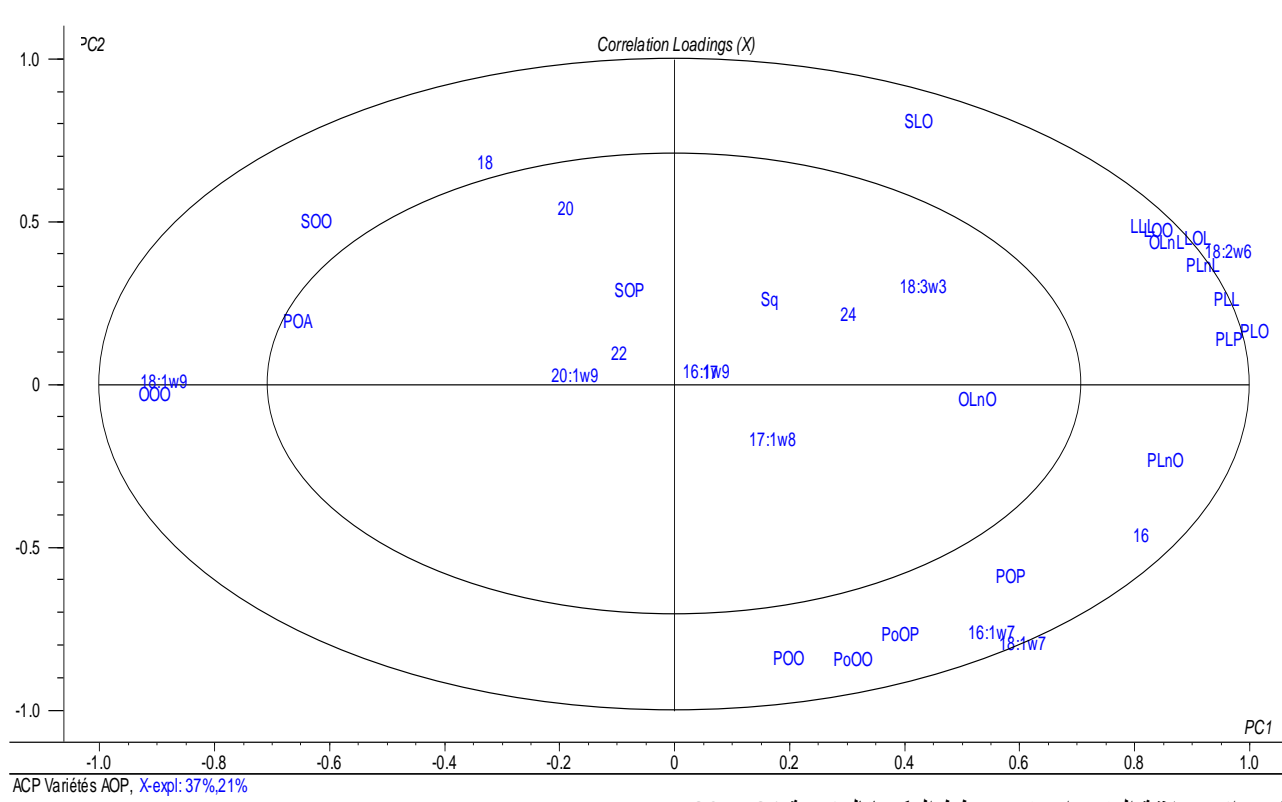
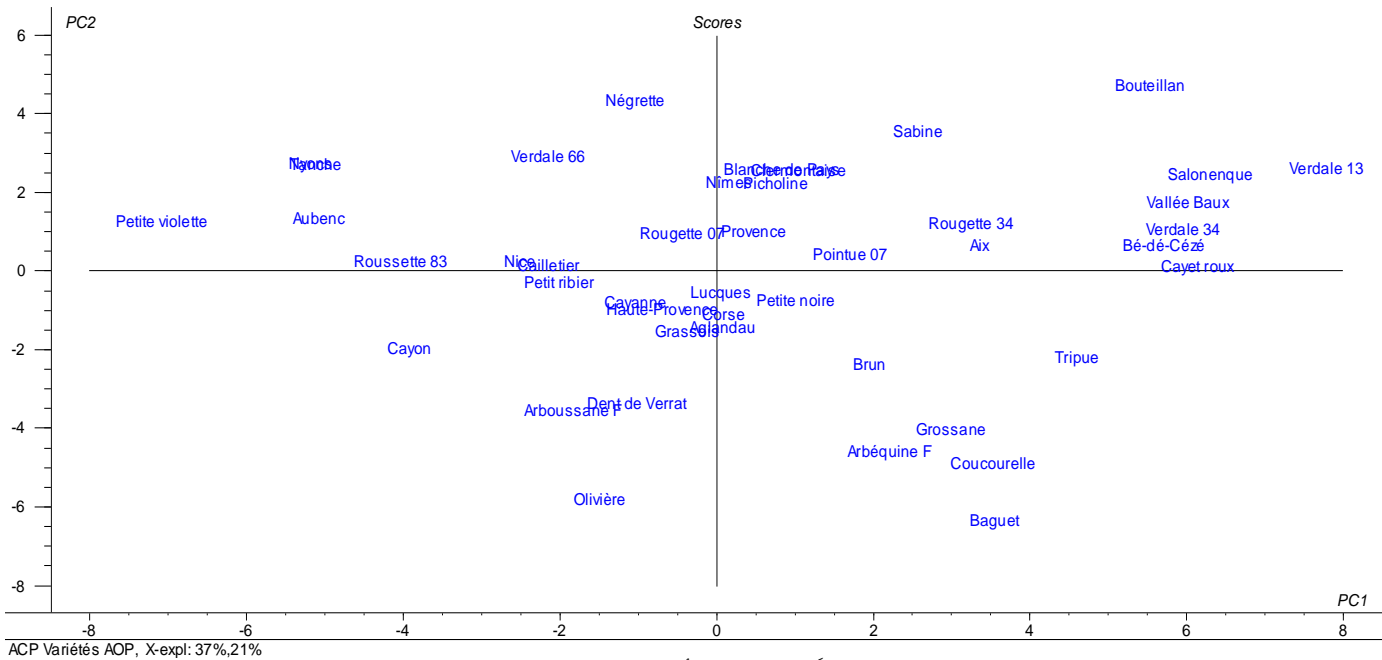
تحليل الجليسريدات الثلاثية يتيح تأكيد تحليل الأحماض الدهنية. التحديد منكمalan ويتيحان الحصول على معلومات عن التركيبات الدهنية لزيوت الزيتون الكر أفضل من تلك التي تم الحصول عليها من تحليل الأحماض الدهنية أو الجليسريدات الثلاثية منفرداً. تحليل مكونات رئيسية (ACP) (شكل 4)، مطبق على 34 متغيراً تم قياسه، يظهر في المخطط من خلال اثنين من المكونات الرئيسية (58% من التفاوت المفسر) (PC1، PC2، 37% و 21% تنويع زيوت الأصناف والسميات الأصلية الفرنسية على المكون الأساسي PC1، الأصناف والسميات الأصلية التي محاور عيناتها إيجابية مرتفعة بصورة أكبر (شكل 4)، مرتبطة إحصائياً مع المتغيرات التي محاور عيناتها إيجابية مرتفعة. بصورة أكبر (شكل 5) وبنفس الطريقة لمحاور العينات السلبية. والأمر نفسه ينطبق مع المكون الأساسي PC2. المتغيرات الأكثر تغيراً على المكونات الـ1 و 2 هي تلك المترابطة (شكل 5). لفرنسيّة أو علامات الاعتماد (AOP، AOC) (16, 5). لا يسهل دائماً تطبيق طرق القياس الكيميائي وهي تتطلب برامج خاصة ومتخصصين لتقدير النتائج بشكل صحيح. وقد سعينا كذلك إلى تطوير طريقة بسيطة وسريعة وموثوقة وبصرية للاستجابة إلى الإشكالية المطروحة. العرض التقديمي للطريقة المقترنة وتطبيقاتها يشكل الجزء II من هذه الدراسة [23].

يتبع تحليل المكون الأساسي تأكيد أوجه الشبه القوية المشار إليها سابقاً بين أحالانو والتسمية الفرنسية الأصلية المحمية أوت بروفنس، كابيونيه والتسمية الفرنسية الأصلية المحمية نيس، سالونينك والتسمية الفرنسية الأصلية المحمية نيم، سالونينك والتسمية الفرنسية الأصلية المحمية فاليه دي بو دو بروفنس، ونانش والتسمية الفرنسية الأصلية المحمية نيون.

تم تحديد تسعه عشر من الجليسريدات الثلاثية [17, 5] ولكن يوجد أيضاً مساعد إذابة لبعض الجليسريدات الثلاثية مع جليسريدات ثلاثة دقة، ويعزى ذلك إلى صعوبات فصل يتم مقابلتها مع تحليل الجليسريدات الثلاثية في جهاز قياس الكربوموغرافي السائلة عالي الدقة (HPLC). كل الزيوت لها أربعة جليسريدات ثلاثة رئيسية: تريوليبين (O00)، ديوليليلاميتيين (P00)، ديوليليلاميتيين (L00) وليليلوليولين (PLO) وهي مصحوبة بنسوب مئوية مخضضة من ديوليليليستارين (S00) ومن أوليليلاميتيين (POP) ومن ديلينوليليولينين (LLO) وأيضاً من الجليسريدات الثلاثية الدقيقة. النسب المئوية للجليسريدات الثلاثية تتراوح بشكل ضمن وبين الأصناف كما هي الحال بالنسبة للأحماض الدهنية. شكل 3 يعطي تصنيفاً للأصناف والسميات الأصلية تبعاً للنسبة المئوية لأربع جليسريدات ثلاثة غالبة. التريوليبين (O00) هو الجليسريد الثلاثي الغالب لجميع الأصناف والسميات الأصلية. النسبة المئوية المتوسطة للتريوليبين (O00) تتغير من 29,94% لـ سالونينك إلى 60,17% لـ بيوتيت فيوليت. تصنف الزيت تبعاً لـ O00 هو قريب جداً من التصنيف الذي تم الحصول عليه بالمؤشر IMI وبالتالي حمض الـ18:0 (18:0:9) (شكل 2). الـ ديوليليلاميتيين (P00) هو الجليسريد الثلاثي الأساسي الثاني. روحبيت 34 له النسبة المئوية الأدنى (17,05%) لجميع الأصناف والسميات الأصلية في حين أن كوكوريل هو الأعلى بنسبة 24,76%. يتغير اللينوليليوليلاميتيين (PLO) من 1,91 بالنسبة لـ بيوتيت فيوليت إلى 10,15 لـ سالونينك. النسب المئوية لكل من P00 و L00 و PLO لا ترتبطها روابط بسيطة مع معدلات من حمض الـ18:0 و حمض لينوليك. وعلى فان التصنيف بالنسبة المئوية المتزايدة لهذه الجليسريدات الثلاثية ليس هو نفسه بالضبط مثل التصنيف بالمعدلات المتزايدة من هذين الحمضين.

[16, 5]. لا يسهل دائمًا تطبيق طرق القياس الكيميائي وهي تتطلب برامج خاصة ومتخصصين لفسير النتائج بشكل صحيح. وقد سعينا كذلك إلى تطوير طريقة بسيطة وسريعة وموثوقة وبصرية للاستجابة إلى الإشكالية المطروحة. العرض التقديمي للطريقة المقترنة وتطبيقاتها يشكل الجزء II من هذه الدراسة [23].

بعد إنشاء بنك معلومات أمراً لا غنى عنه في مراقبة تحديد المنشأ النباتي أو الجغرافي لزيوت الزيتون [18]. في هذه المرحلة، من الممكن إذاً استعمال معالجة القياس الكيميائي للبيانات، القائمة على التركيبات من الأحماض الدهنية ومن الجليسيريدات الثلاثية لزيوت، بما يتيح في حالات عديدة تحديد المنشأ التوقيعي لزيوت الزيتون الفرنسية أو علامات الاعتماد (AOC).



- [12] Forina M., Tiscornia E. (1982). Pattern recognition methods in the prediction of Italian olive oil origine by their fatty acid content. *Ann. Chim.*, 72, 143-155.
- [13] Leardi R., Paganuzzi V. (1987). Characterization of the origin of extravirgin olive oils on the basis of sterol composition and statistical analysis. *Riv. Ital. Sostanze Grasse*, 64, 131-136
- [14] Angerosa F., Servili M., Selvaggini R., Taticchi A., Esposto S., Montedoro G. (2004). Volatile compounds in virgin olive oil: occurrence and their relationship with the quality. *J. of chromatography A*, 1054, 17-31.
- [15] Guinda A., Lanzon A., Albi T. (1996). Differences in hydrocarbons of virgin olive oils obtained from several olive varieties. *J. Agric. Food Chem.*, 44, 1723-1726.
- [16] Ollivier D., Artaud J., Pinatel C., Durbec J. P., Guérère M. (2006) Differentiation of french virgin olive oil RDOs by sensory characteristics, fatty acid and triacylglycerol compositions and chemometrics. *Food Chem.*, 97: 382-393.
- [17] Ollivier D. (2006). Compositions en acides gras et en triglycérides d'huiles d'olive vierges françaises (*Olea europaea, subsp. europaea*). Application à la détermination de leurs origines variétales et géographiques. *Thèse de Doctorat en Sciences*. Université Paul Cézanne (Aix-Marseille III), France.
- [18] Ollivier D., Pinatel C., Ollivier V., Artaud J. (2013). Banque de données AGTG 33. Résultats non publiés.
- [19] Fiebig H. J. (1985). HPLC separation of triglycerides. *Fette Seifen Anstrichmittel*, 84(2), 53-57
- [20] Moreda M., Perez-Camino M.C., Cert A. (2003). Improved method for the determination of triacylglycerols in olive oils by high performance liquid chromatography. *Grasas y Aceites* 54(2), 175-179
- [21] Conseil oléicole International. Norme commerciale applicable à l'huile d'olive et à l'huile de grignons d'olive. 2010, T.15/NC n° 5. Principe de Vergara, 154, 28002 Madrid, Espagne
- [22] Règlement (CEE) européen n°2568/91 de la Commission du 11 juillet 1991. Relatif aux caractéristiques des huiles d'olive et des huiles de grignons d'olive ainsi qu'aux méthodes y afférentes. *J.O.C.E.* du 05 septembre 2003.
- [23] Pinatel C., Ollivier D., Ollivier V., Artaud J. (2014). Nouvelle approche pour la détermination de l'origine des huiles d'olive : morphogrammes et morphotypes (Partie II). *Olivae*,
- [1] Breton C., Terral J.-F., Pinatel C., Médail F., Bonhomme F., Bervillé A. (2009). The origins of the domestication of the olive tree. *C. R. Biologies* 332, 1059-1064.
- [2] Moutier N., Pinatel C., Martre A., Roger J. P., Khadari B., Burgevin J. F., Ollivier D., Artaud J. (2004). Identification et caractérisation des variétés d'oliviers cultivées en France (Tome 1). Naturalia Publications, Turriers, France.
- [3] Moutier N., Pinatel C., Martre A., Roger J. P., Khadari B., Burgevin J. F., Ollivier D., Artaud J. (2011). Identification et caractérisation des variétés d'oliviers cultivées en France (Tome 2). Naturalia Publications, Turriers, France.
- [4] Catalogue officiel des espèces et variétés. Rubrique II, Classe 1. <http://www.geves.fr>
- [5] Ollivier D., Artaud J., Pinatel C., Durbec J. P., Guérère M. (2003). Triacylglycerol and fatty acid compositions of French virgin olive oils. Characterisation by chemometrics. *J. Agric. Food Chem.*, 51: 5223-5731
- [6] Ollivier D., Pinatel C., Dupuy N., Guérère M., Artaud J. (2007). Caractérisations sensorielles et chimiques d'huiles d'olive vierges de six AOC françaises. *OCL*, 14, n°2, 116-129.
- [7] Busconi M., Feroni C., Corradi M., Bengiorni C., Cattapan F., Fogher C. (2003). DNA extraction from olive oil and its use in the identification of the production cultivar. *Food Chem.*, 83, 127-134.
- [8] Galtier O., Dupuy N., Le Dréau Y., Ollivier D., Pinatel C., Kister J., Artaud J. (2007). Geographic origins and compositions of virgin olive oils determined by chemometric analysis of NIR spectra. *Analytica Chimica Acta*, 1-2, 136-144.
- [9] Galtier O., Le Dréau Y., Ollivier D., Kister J., Artaud J., Dupuy N. (2008). Lipid compositions and French Registered Designations of Origins of virgin olive oils predicted by chemometric analysis of MIR spectra. *Applied Spectroscopy*, 62(5), 583-590.
- [10] Mannina L., Patumi M., Proietti N., Bassi D., Segre A. L. (2001). Geographical characterization of Italian extra virgin olive oils using high field <sup>1</sup>H NMR spectroscopy. *J. Agric. Food Chem.*, 49, 2687-2696.
- [11] Vlahof G., Del Re P., Simone N. (2003). Determination of geographical origin of olive oils using <sup>13</sup>C Nuclear Magnetic Resonance spectroscopy. I Classification of olive oils of the Puglia region with denomination of protected origin. *J. Agric. Food Chem.*, 51, 5612-5615.

# طريقة جديدة لتحديد منشأ زيوت الزيتون:

## المورفوغرام والأنماط المورفولوجية (الجزء II)

كريستيان ببناتل<sup>1</sup>، دنيس أوليفييه<sup>2</sup>، فيرونيك أوليفييه<sup>2</sup>، جاك أرتو<sup>3</sup>

<sup>1</sup>مخابر مارسيليا، الإدارية المشتركة للمختبرات، وزارة المالية، 146traverse Charles-Susini, 13388 Marseille Cedex 13 ، فرنسا  
<sup>2</sup>الهيئة الفرنسية لمهن الزيتون، AFIDOL، بيت المزارعين، 22 طريق Henri-Pontier 13626 Aix-en-Provence Cedex، فرنسا  
<sup>3</sup>جامعة أيلكس مارسيليا، كلية علوم سان جيروم، طريق Escadrille Normandie-Niemen 13397 Marseille cedex 20، فرنسا

العينة أو تلك إلى مجموعة معطاة. بعض البرامج الإحصائية المتنوعة (Pirouette®، Unscrambler®...) تسمح بإجراء سريع لهذا النوع من العمل. بعد إعداد النماذج، يمكن توزيعها على مستخدمين من أجل مراقبة العينات. إلا أن، إدارة هذه النماذج أمر شاق وتكلفة هذه البرامج مرتفعة. بالإضافة إلى ذلك، يشار إلى أن تبادل النماذج بين هيئات المراقبة أمر معقد، لأنه يتطلب توافق نفس البرامج والتدريبات المناسبة على كل موقع من موقع التحليل.

وعليه فقد بحثنا عن تسهيل تمييز منشأ الزيوت من خلال التركيب من الأحماض الدهنية ومن الجليسريدات الثلاثية. تهدف هذه المقالة إلى تقديم آداة تتبع فحصاً سريعاً للعينات، بدون برنامج آخر بخلاف برنامج إكسل® Excel. تقوم هذه الآداب على تطوير عرض إجمالي للتركيب من الأحماض الدهنية ومن الجليسريدات الثلاثية. لذلك، فإنه يتم مراجعة توزيع البيانات من الأحماض الدهنية ومن الجليسريدات الثلاثية، المتضمنة في قاعدة بيانات، وذلك لغرض اختيار ثوابت أكثر فعالية مع الحفاظ على مجال تطبيق كاف. هناك أمثلة للتطبيق العملي تتبع استخدام فائدة النهج المقترن.

## 2. المواد والطرق

### 2.1 قاعدة البيانات

لدينا قاعدة بيانات تحتوي على التركيبات من الأحماض الدهنية ومن الجليسريدات الثلاثية تقريراً 3900 عينة زيت. وقد تم تجميعها خلال حملات الإنتاج بداية من 1998 إلى 2011. وتم الإبقاء فقط على العينات التي يتحقق فيها بوضوح على الأقل ثلاثة معايير التالية: الصنف، التسمية الأصلية، البلد المنتج، وهو ما يتواافق مع حوالي 3500 عينة. وقد تم الحصول على العينات بواسطة إحدى الطرق التالية:

### 1. مقدمة

نشأت أول تسمية أصلية مدققة لزيت الزيتون في فرنسا في عام 1994 لإقليم نيون. في عام 2006، بواسطة القانون N°510 حدّدت التشريعات الأوروبيّة المفهومين "تسمية أصلية محمية" (AOP) و"دليل جغرافي محمي" (IGP). وفي يومنا هذا، يمتلك إنتاج الزيتون الأوروبي مئات من مفاهيم AOP وIGP مسجلة، وعشرات قيد التسجيل [1]. فضلاً عن ذلك، تقوم حالياً دولة المغرب المنتجة للزيتون بوضع تسميات أصلية لزيوت زيتونها.

وعلامات الاعتماد تلك مازالت غير معروفة بالقدر الكافي لدى المستهلكين. ولغرض حصولها على تقدير المستهلكين والحفاظ عليها، ينبغي أن تكون هذه التسميات الأصلية موثوقة وذات مغزى، ويتعين أن تتيح للمستهلكين إمكانية تمييز المنتجات المتميزة عن غيرها القيام دون مجازفة بالخطأ. بخلاف أدوات التتبع المنصوص عليها بداية في كراسات الشروط الخاصة بتلك التسميات، يتطلب إتاحة إمكانية إجراءفحوصات عن المنتج مباشرة على المنتجات النهائية، بالمراقبة الذاتية أو المراقبة الخارجية أو أيضاً المراقبة في أماكن البيع بواسطة أجهزة الدولة.

وقد أوضحت هذه المقالات إمكانية استعمال التركيب من الأحماض الدهنية ومن الجليسريدات الثلاثية لغرض تحديد منشأ زيوت الزيتون [6-2]. فضلاً عن ذلك، فقد أوضحنا [7] أنه بالنسبة للصنف تاتش، لا يتغير التركيب من الأحماض الدهنية خلال فترة الحصاد. إلا أن هذه ليست هي الحال لجميع الأصناف.

المعالجة بالقياس الكيميائي للبيانات الكروماتوغرافية توضح إمكانية تحديد مجموعات من عينات متوافقة مع تسميات مختلفة. تتيح هذه الطرق الإحصائية تخصيص مجموعات، ولكنها لا تتيح بسهولة التحقق حالة بحالة من انتفاء مثل هذه

مطحنة صغيرة تقارن بنظام أبينكور، لكنها معدلة لغرض الحصول على حجم زيت أكبر في المرة (22% عينات، فئة L)

9-هيكاديسينيوبيك)، C17:0، حمض مارجاريك (حمض هيبتاديكانويبيك)، C17:1 ω8، حمض مارجاروليفيك (حمض 9-هيبتاديسينويبيك)، C18:1 ω9، حمض الزيتيك (حمض 9-أوكتاديسينويبيك)، C18:1 ω7، حمض سيسفاكسينيك-(حمض 11-أوكتاديسينويبيك)، C18:2 ω6، حمض لينولييك (حمض 9,12-أوكتاديكادينويبيك)، C18:3 ω3، حمض لينولينيك (حمض 12,15-أوكتاديكاتريينويبيك)، C20:0، حمض أرشيديك (حمض إيكوزانويبيك)، C20:1 ω9، حمض جوندوبيك (حمض 11-إيكوزينويبيك)، C22:0، حمض البيهينيك (حمض دوكوزانويبيك)، C24:0، حمض لينجوسيريك (حمض تتراكوزانويبيك). يشار إلى الجليسيريدات الثلاثية بالأحرف الخاصة بالأسماء الموجزة لسلسل زيتية محددة على الغليسرين: P: بالميتول، Po: بالميتوليل، S: ستيراروبيل، O: أوليلول: L: لينوليلول، Ln: لينولينول، A: أرشيدول.

### 3. أنظمة تمثيل اختيار المعطيات

#### 3.1 اختيار نظام التمثيل

بالنسبة لكل عينة، توجد النتائج على شكل مجموعتين من النسب المئوية، إحداها تميز التركيب من الأحماض الدهنية والأخرى التركيب من الجليسيريدات الثلاثية. وهي تشمل على التوالي 14 قيمة و 19 قيمة.

كل واحدة من هاتين المجموعتين تعطي تمثيلاً شاملاً لتركيب العينة، فمن الممكن استعمال تمثيل الرسم البياني بالقطاع. هذا التمثيل يُبرز جيداً خصائص زيت الزيتون بشكل عام، بيد أنه لا يتيح إبراز الفروقات بين زيوت الأصناف المختلفة. الشكل 1 يعطي تمثيلات التركيب من الأحماض الدهنية للعينات المتطابقة تماماً الواردة من اثنتين من التسميات الفرنسية Haute-Provence (AOP) وهذا المتوسط الناقص أو المتوسط المخفض (0,25) هو المتوسط المحتسب من خلال 25% من القيم الواقعة إيجابياً وسلبياً حول المتوسط.

-أخذ العينة من عند المنتجين (56% من العينات، فئة P)

-الحصول على العينات من نوعيات زيتون، معملية، بواسطة

-توريق العينات بواسطة معهد بحثي أو مختبر تحليل أو هيئة منتجة أو كل هيئة ذات صلة بإنتاج الزيتون (15% من العينات، الفئة R)،

-شراء تجاري (7% من العينات، فئة A).

تم تحليل هذه العينات بين عامي 1999 و 2012. وجرى تنفيذ التحليلات تبعاً للإجراءات المحددة سابقاً [2, 3, 5, 6].

روجعت النتائج بقدر إدراجهما في قاعدة البيانات. تم استبعاد العينات التي تعطي نتائج غير طبيعية وتثير شكواً فيما يتعلق بأصالتها. بعد هذا الانقاء، تحتوي قاعدة البيانات هذه على

2588 عينة من 23 بلد و 35 مسمى أصلي وأكثر من 200 صنفًا. كل هذه المجموعات الفرعية غير ممثلة بنفس عدد

العينات. وعليه فإن بعض التسميات الفرنسية الأصلية المحمية AOP والتسميات الأصلية المدققة يصل عددها حتى 200 عينة، في حين أنه بالنسبة للتسميات الأصلية المحمية

لدول أخرى، لدينا فقط من 1 إلى 5 عينة. الصنف "أجلاندو"، أول صنف زيت بفرنسا، مثل 140 عينة، في حين أنه لا يتواجد لدينا سوى عينة واحدة بعدد 80 صنفًا.

### 2.2. الكميات الإحصائية

معامل تسطيح فيشر أو كورتزيس الموحد معيارياً يقيس تشتت النتائج لمتغير عشوائي. إحدى قيم كورتزيس المرتفعة تفترس تشتت "مدبب".

معامل الانحراف يقيس انحراف التوزيع لمتغير عشوائي فعلي. يتعين أن يكون موجباً أو سالباً إذا أتى الانحراف على يمين أو على يسار المتوسط.

المتوسط الناقص أو المتوسط المخفض (0,25) هو المتوسط المحتسب من خلال 25% من القيم الواقعة إيجابياً وسلبياً حول المتوسط.

### 2.3. مدونة

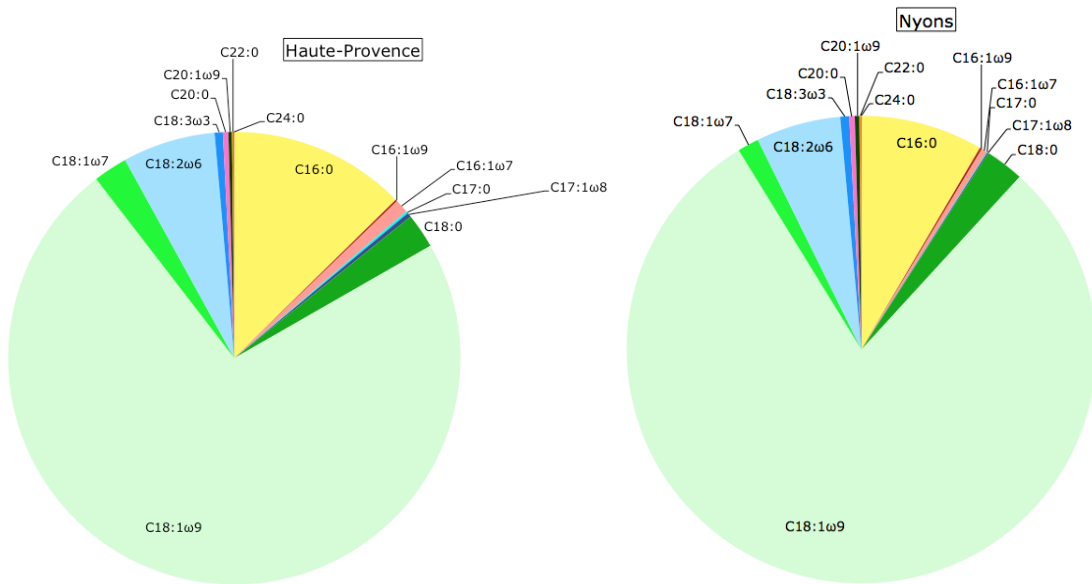
الأحماض الدهنية: C16:0، حمض بالميتيك (حمض

هيكاديكانويبيك)، C16:1 ω9، حمض هيبوجيك (حمض 7-هيكاديسينيوبيك)، C16:1 ω7، حمض بالميتوليك (حمض

Tableau 1	C16:0	C16:1ω9	C16:1ω7	C17:0	C17:1ω8	C18:0	C18:1ω9	C18:1ω7	C18:2ω6	C18:3ω3	C20:0	C20:1ω9	C22:0	C24:0
Haute-Provence	12,17	0,13	0,94	0,15	0,30	2,39	70,00	2,35	6,37	0,56	0,38	0,24	0,11	0,05
Nyons	8,43	0,15	0,39	0,05	0,08	2,68	79,48	1,47	5,83	0,61	0,38	0,31	0,10	0,04

جدول 1 : التركيب من الأحماض الدهنية لعينتين من التسميات الفرنسية الأصلية المحمية

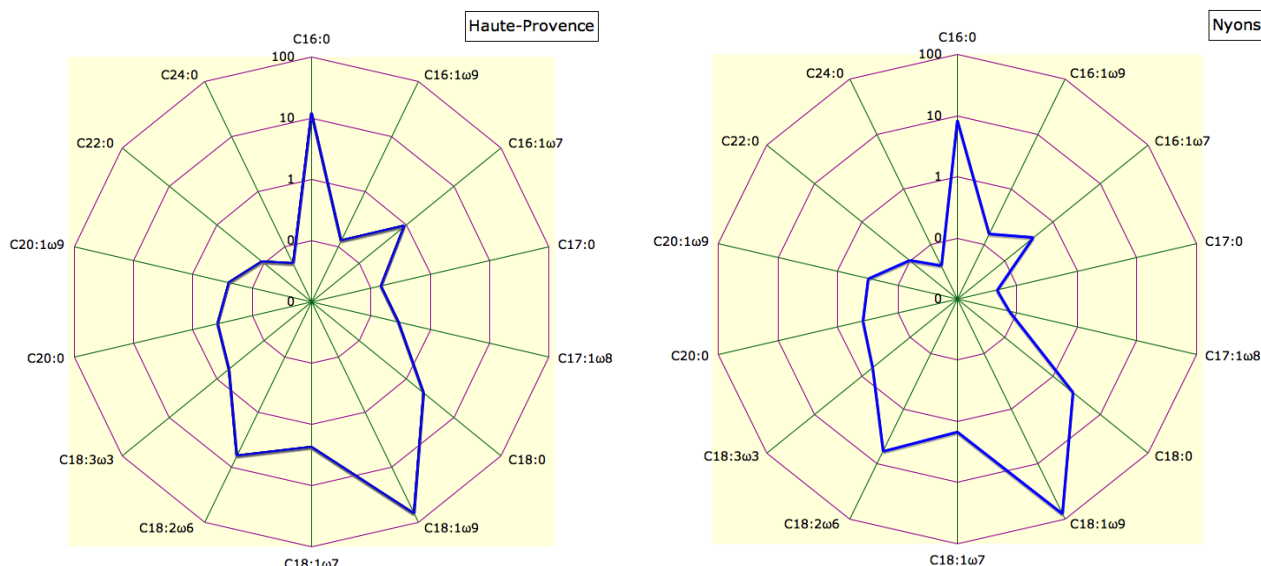
AOP



**شكل 1 :** التمثيل بالقطاع لمتوسط التركيب من الأحماض الدهنية لعينات اثنتين من التسميات الفرنسية الأصلية المحمية AOP

المكونات الأعلى، ويمكن تخزين هيئته بسهولة. إلا أن الفروقات بين العينتين لا تبدو أفضل إلا مع الرسومات البيانية بالقطاع (شكل 2).

الرسم البياني بـ "نجمة"، يسمى أيضاً "رادار" أو "نجمة العنكبوت"، يمكن أن يعطي تمثيلاً مهماً بالقدر الكافي من خلال استعمال تدرج لوغاريتمي. وذلك يشير مباشرة إلى



**شكل 2 :** تمثيل الرادار لمتوسط التركيب من الأحماض الدهنية لعينات اثنتين من التسميات الفرنسية الأصلية المحمية AOP

بواسطة انحرافها المتوسط، بالقياس إلى الحد الأقصى للانحراف المعروف لهذا المركب (شكل 3). وعليه فإن كل محور يمثل حداً يتراوح من - 100% إلى + 100%， حيث يتعلق المصدر بالمتوسط. مثلاً، المحتوى من حمض هيبوجيريك (16:09:1) لعينة زيت Nyons، وهي 0,15%， ومماثلة بالقيمة (0,13-0,29)/(0,13-0,29)، حيث 0,13 هو متوسط هذا المركب على مجمل قاعدة البيانات و 0,29 هي القيمة

### 3.2. مواصفة حد التغير

تأتي الصعوبة في إيجاد تمثيل فعال من أنه على الرغم من الفروقات بين تركيبات الأصناف، فإن السلسلة التاريخية للمكونات تكون هي نفسها دائماً. يتغير كل مكون من المكونات على حد معين يمكن تحديده بمتوسط وقيمة دينياً وقيمة قصوى. داخل نطاق التنوع هذا، يمكن تعريف قيمة المركب لعينة معطاة

(C18:1ω9) والتريوليدين (OOO). فضلاً عن ذلك، فإن هذه التوزيعات في ذات الوقت موحدة جداً على القيم الوسطى وتنتشر بقوة من الجانب الموجب. يقدم الجدول 2 خصائص توزيع 14 حمضًا دهنيًا. بالنسبة لكل منهم، النسبة المئوية للفيتامين المتضمنة في نطاق من الانحراف المعياري من جهة ومن جهة أخرى للمتوسط تمثل أكثر من 68% باستثناء حمض بالميتيك. معامل تسطيح فيشر أو كورتوزيس الموحد معياريًا، مرتفع بشكل عام، وهو ما يفسر توزيعات "مديبة" جدًا: التوزيع مجمعًا حول المتوسط. لا يقترب معامل التسطيح هذا من الصفر (وهو ما يتوافق مع توزيع طبقي) إلى حمض بالميتيك، الذي يت忤د توزيعه سكلا هرميًّا على نحو أكبر. معامل الانحراف بشكل عام موجب، وهو ما يفسر تمددًا على القيم المرتفعة. وهذه حمض الزيتيك يعرض تمددًا طفيفًا على اليسار مع معامل انحراف سلبي.

	Moyenne	Médiane	écartype	Mini	Maxi	Coefficient d'aplatissement (Kurtosis)	Coefficient d'asymétrie
C16:0	12,02	11,98	1,97	7,02	20,89	0,22	0,19
C16:1ω9	0,13	0,13	0,03	0,04	0,29	1,57	0,27
C16:1ω7	0,90	0,87	0,40	0,18	5,55	11,31	1,99
C17:0	0,10	0,08	0,06	0,02	0,50	4,52	1,49
C17:1ω8	0,18	0,14	0,11	0,04	0,74	1,04	1,02
C18:0	2,44	2,43	0,49	1,05	6,11	3,06	0,85
C18:1ω9	71,93	72,63	4,88	45,49	83,96	1,24	-0,71
C18:1ω7	2,32	2,31	0,57	0,72	6,30	2,98	1,00
C18:2ω6	8,48	7,87	2,91	2,04	23,63	1,19	0,96
C18:3ω3	0,66	0,64	0,13	0,34	1,41	2,85	1,39
C20:0	0,39	0,39	0,05	0,21	0,62	1,02	0,01
C20:1ω9	0,28	0,27	0,04	0,16	0,53	1,35	0,72
C22:0	0,11	0,12	0,02	0,05	0,28	3,98	0,50
C24:0	0,05	0,05	0,01	0,00	0,12	1,18	0,14

جدول 2: خصائص توزيعات الأحماض الدهنية لعينات البنك المعطاة

المتوسط	Moyenne
المتوسط	Médiane
الانحراف المعياري	écartype
الحد الأدنى	Mini
الحد الأقصى لمعامل التسطيح	Maxi
(كورتوزيس)	Coefficient (d'aplatissement (Kurtosis
معامل الانحراف	Coefficient d'asymétrie

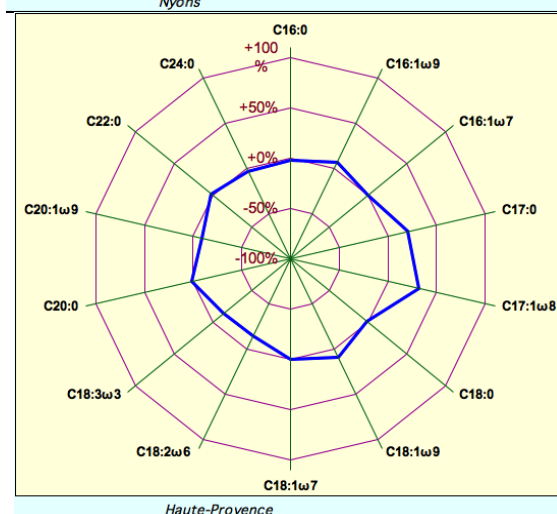
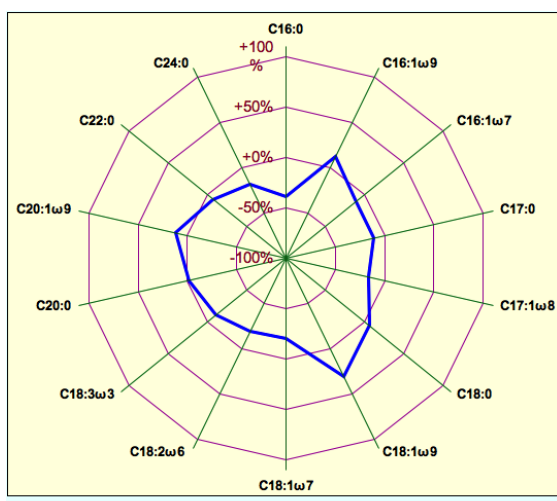
### 3.3.2. توزيع بعض المكونات

شكل عام، الجليسيريدات الثلاثية لها توزيعات أكثر تباعدًا من توزيع طبيعي عنه بالنسبة للأحماض الدهنية، ومعامل التسطيح ومعامل الانحراف أكثر ارتفاعًا. بعض المكونات لها توزيعات خاصة موضحة فيما يلي.

#### 3.3.2.1. حمض مارجاريك

توزيع حمض مارجاريك (C17:0) هو أحد أكثر التوزيعات من حيث عدم التناقض من بين الأحماض الدهنية، مع معامل انحراف 1,49. المتوسط والوسيط هما على التوالي

القصوى التي تم ملاحظتها، أي  $12,5\% = 0,02/0,16$ . تم الحصول على أشكال محددة من شأنها السماح بتمييز العينتين بالنظر. إلا أنه على الرغم من أننا بصدد زيوت مختلفة جدًا من حيث تركيبها من الأحماض الدهنية، نجد أن الأشكال الناتجة عن نمط التمثيل هذا مازالت قريبة جدًا من شكل دائري (شكل 3). تظهر مساحة التمثيل غير مستغلة بشكل كبير.



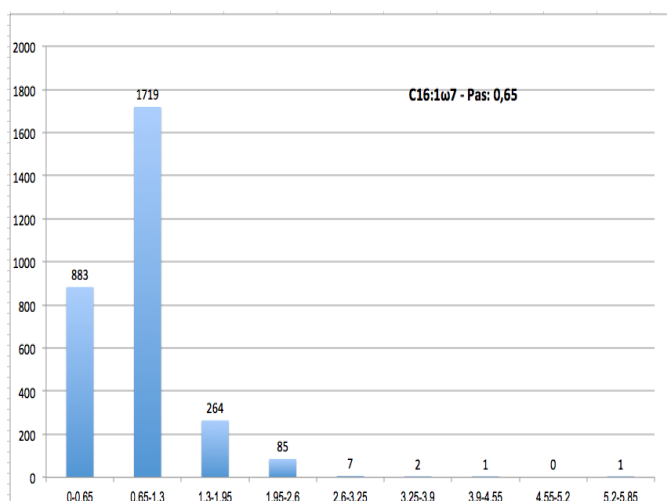
شكل 3: تمثيل الرادار للأحماض الدهنية للعينتين الواردتين من التسميات الفرنسية الأصلية الحمية Nyons AOP و Haute-Provence على حد تغير مناسب لكل مكون.

### 3.3. خفض حد التغير

للغرض تحسين إمكانيات التمييز البصري للعينات الاعتيادية، هناك نهج ينص على أن يتم تحديد مجال التغير استعمال قيم محددة وفقًا للانحراف المعياري، مثل على سبيل المثال (متوسط +/- الانحراف المعياري). إلا أن هذا يتطلب البدء بمراجعة توزيع قيم كل مكون من المكونات (الأحماض الدهنية والجليسيريدات الثلاثية).

#### 3.3.1. توزيع القيم في قاعدة البيانات

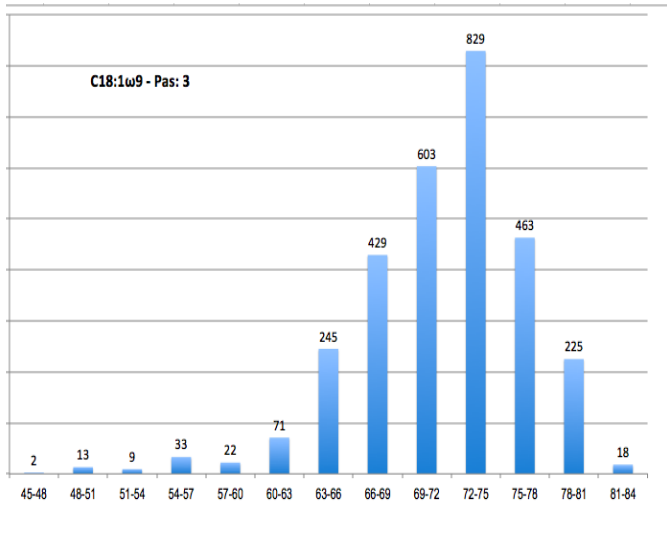
معظم المكونات تتبع توزيعًا إيجابيًّا غير متناسق (جدول 2). فقط اثنان منهم يوضحان انحرافًا سلبيًّا، حمض الزيتيك



شكل 5 . توزيع قيم حمض بالميتولييك (C16:1ω7 - Pas: 0,65) من خلال فئات الخطوات %0,65

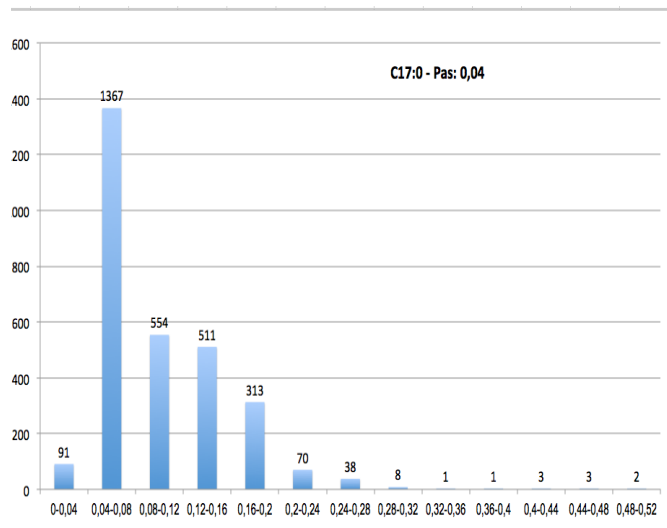
### 3.3.2.3 حمض الزيتيك

حمض الزيتيك هو الحمض الدهني الوحيد الذي له معامل انحراف سالب، وهو ما يتوافق مع وجود بعض القيم المنخفضة جداً، وبالتالي البعيدة عن النمط (75-72%). 23 عينة لها قيمة أقل من 54%. 16 عينة من بينها لزيوت تونسية منتجة من الصنف "شيمالي". 7 عينات تم إنتاجها من الصنف "أربكينا"، 5 منها واردة من الأرجنتين، وواحدة من المغرب وواحدة من تونس. عينة واحدة واردة من صنف فرنسي هامشي جداً ذو إنتاج زيت ضعيف جداً: الصنف "سيريزبيه" (شكل 6).



شكل 6 . توزيع قيم حمض الزيتيك (C18:1ω9) من خلال فئات الخطوات %3

و0,08%، في حين أن أدنى قيمة هي 0,02% والقيمة القصوى هي 0,50%. تمثل فئات خطوات الرسم البياني (شكل 4) يظهر هذا التوزيع غير متناسق بدرجة كبيرة.



شكل 4 . توزيع قيم حمض مارجاريك (C17:0 - Pas: 0,04) من خلال فئات الخطوات %0,04

يتوارد كل من المتوسط (0,10%) والوسيط (0,08%) والمتوسط (0,08-0,04%) متباينين جداً من مركز حد التغير (%0,26%). وعليه فإنه بالنسبة للغالبية العظمى من الزيوت، سيقترب وضع هذا المركب على تمثيل الرسم البياني بالرادار من صفر %. فقط 17 عينة تتواجد في النصف الأعلى من الجزء الأيمن من التوزيع، أي إلى ما بعد 28%. تتكون هذه المجموعات الفرعية من 12 عينة ناتجة عن الصنف "أجلاندو" من الفئة L المأخوذة في إطار دراسة تهدف إلى ملاحظة خصائص الزيوت الناتجة في ظروف خاصة من الجفاف أثناء حملة 2007. نتجت أربع عينات أخرى من الفئة L من صنف محلي متواضع، الصنف "فنتولان". لا توجد سوى عينة من الفئة P، وهو زيت "أجلاندو" أحادي التنويع.

### 3.3.2.2 حمض بالميتولييك

توزيع حمض بالميتولييك (C16:1ω7) هو أكثر التوزيعات من حيث عدم التناقض لكل الأحماض الدهنية، مع معامل انحراف 1,99. وهو أيضاً الأكثر "تدبيباً"، مع معامل تسطيح 11,3. النصف العلوي من الجزء الأيمن من التوزيع (<3,28) يحتوي على 4 عينات فقط. يشار هنا إلى زيت أحادي التنويع من "شجرة زيتون" من الفئة P، مورد بواسطة أحد المنتجين ووارد من قطعة أرض واحدة، ذات تربة كثيرة الحصى وحساسة للجفاف، وكذلك عينتين من "شجرة زيتون" من الفئة L وواردة من نفس قطعة الأرض هذه. لا توجد سوى عينة من الفئة R، تم إنتاجها في الأرجنتين من خلال الصنف "أربكينا" (شكل 5).

بعينات أصناف "أجلاندو" أو أوليفير المنتجة في ظروف خاصة جدًا. توجد عينات هذين الصنفين في قاعدة البيانات لأنها واردة من عمليةأخذ عينات شاملة بشكل خاص لدراسة محددة. وعينات أخرى ناتجة عن صنف نادر، مثل "افتولان". الثانية ليست شاذة لأن قاعدة البيانات موجهة، بمعنى أنها مكونة من عينات تم الحصول عليها بواسطة نظام تجميع وليس بواسطة عينات كان من المخطط على سبيل المثال تجميعها. الأمر يتعلق هنا بعينات واردة من دول أو أصناف قليلة التمثيل. وهي شاذة لأن قاعدة البيانات تحتوي على عدد قليل جدًا من عينات من هذه المصادر.

في سبيل إعداد آلية فعالة للتحديد السريع للزيوت لعرض التحقق من مصدرها، من الأولوية أن يتم البحث عن أفضل تمييز بيني ممكّن للزيوت التي يمكن تواجدها في التجارة. يمكن تخفيض حد التغير على حساب العينات المتطرفة، لغرض تحسين المعالجة البيانية للعينات الأكثر شيوعًا. يتبع إدًا تحديد قاعدة بيانات أكثر توازنًا من قاعدة البيانات الإجمالية الأولى. وسوف تتكون هذه القاعدة من مجموعات محددة: الدول، أقاليم الإنتاج، الأصناف. لا يتم إدراج المجموعات إلا بداية من وجود حد أدنى من عينات مستخدمة. هذه الحدود معينة بما يميز المجموعات غير الفرنسية، لغرض موازنة قاعدة البيانات. الجدول 4 يعرض أدنى عدد من العينات لكل فئة وعدد المجموعات التي تم الحصول عليها لكل فئة.

Catégories	Nombre limite	Nombre de groupes
Variétés étrangères cultivées en France	10	2
Variétés étrangères cultivées dans leurs pays d'origine	4	12
Variétés françaises cultivées en France	10	16
Pays Producteurs	4	15
Dénomination d'origine, étrangère	2	12
Dénomination d'origine, Française	10	7

جدول 4. مختلف المجموعات بقاعدة البيانات الفئات

الأصناف الأجنبية المزروعة في فرنسا  
الأصناف الأجنبية المزروعة في مواطنها الأصلية  
الدول المنتجة  
تسمية أصلية، أجنبية  
تسمية أصلية، فرنسية  
عدد محدود  
عدد المجموعات

Catégories  
Variétés étrangères cultivées en France  
Variétés étrangères cultivées dans leurs pays d'origine  
Pays Producteurs  
Dénomination d'origine, étrangère  
Dénomination d'origine, Française  
Nombre limite  
Nombre de groupes

حدود القيم الأكثر تقييدًا تتيح إنشاء تمثيلات بيانية أكثر وضوحاً (الجدول 5أ و 5ب). فضلاً عن ذلك، يتم نقل قيم الوسيط والمتوسط، بسبب التركيب الأكثر توازنًا لقاعدة البيانات هذه (FATG-DB-06). بالنسبة لحمض مارجاريك (C17:0) مثلاً، تم خفض المتوسط بشكل واضح، وكان التوزيع أقل تركيزاً على البيانات الفرنسية.

### 3.3.2.4. توزيع الجليسريدات الثلاثية

الجدول 3 يعطي توزيع الجليسريدات الثلاثية. وبه أيضًا معامل التسطيح بشكل عام موجب ويبلغ قيمًا مرتفعة جدًا (LLL، PoOP، PLnL). هذه المكونات تُعزز معامل انحراف مرتفع جدًا، التوزيعات خاصة جدًا، مجمعة جدًا حول الوسيط، ولكنها تتسم بتمدد ملحوظ جدًا من ناحية القيم المرتفعة.

	Moyenne	Médiane	écartype	Mini	Maxi	Coefficient d'aplatissement (Kurtosis)	Coefficient d'asymétrie
LLL	0,16	0,11	0,14	0,00	1,84	21,42	3,42
OLnL	0,28	0,25	0,14	0,04	1,49	7,98	1,99
PLnL	0,07	0,06	0,05	0,00	0,48	13,24	2,57
LOL	2,15	1,78	1,23	0,24	9,42	2,24	1,35
OLnO	1,62	1,61	0,32	0,61	3,17	1,32	0,17
PLL	0,73	0,56	0,56	0,03	4,79	6,58	2,07
PLnO	0,76	0,74	0,20	0,25	2,37	4,57	1,10
LOO	13,31	13,08	2,85	4,37	24,45	0,30	0,13
PoOO	1,75	1,76	0,66	0,14	9,23	9,26	1,26
PLO	6,15	5,73	2,22	1,74	16,42	0,92	0,87
PoOP	0,93	0,89	0,44	0,11	6,17	10,89	1,54
PLP	0,64	0,54	0,40	0,03	4,09	8,07	2,01
OOO	41,74	42,45	7,51	14,33	63,15	-0,15	-0,23
SLO	0,85	0,82	0,36	0,01	3,27	1,73	0,57
POO	20,67	20,64	2,56	12,67	34,84	1,76	0,56
POP	3,29	3,28	0,76	1,43	7,07	0,86	0,41
SOO	3,65	3,52	0,86	1,14	8,22	1,68	0,90
SOP	0,85	0,83	0,22	0,33	2,09	1,36	0,66
POA	0,47	0,46	0,11	0,06	1,00	0,69	0,49

المتوسط	Moyenne
المتوسط	Médiane
الانحراف المعياري	écartype
الحد الأدنى	Mini
الحد الأقصى لمعامل التسطيح	Maxi
(كورتوزيس)	Coefficient (d'aplatissement (Kurtosis
معامل الانحراف	Coefficient d'asymétrie

جدول 3. خصائص توزيعات الجليسريدات الثلاثية لعينات البنك المعطاة

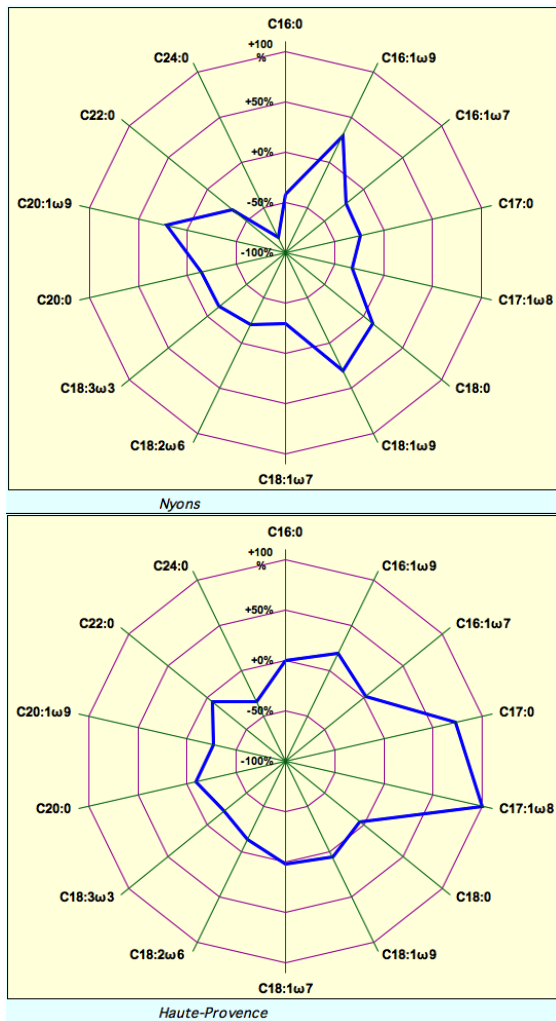
توزيع الجليسريدات الثلاثية يوضح نفس الخصائص، أي غالبية التوزيعات المسجوبة على اليمين، ماعدا بالنسبة للتريلينوليين. والتريلينوليين يقدم التوزيع الأعلى من حيث عدم التناقض.

توجد عينات غير قياسية مجددًا في مناطق بعيدة جدًا عن مناطق التوزيع. بالنسبة للتريلينوليين، يتعلق الأمر بعينات الصنف "أريبيكينا" المزروعة في الأرجنتين. توجد عينات "أريبيكينا"، في منطقة أقصى اليمين من التوزيع PLP، مع العديد من العينات التونسية الناتجة من الصنف "شيملاي".

### 3.3.3. الملاحظات والرؤى

تحليل توزيع المكونات المختلفة وبخاصة القيم المنطرفة، يتضح وجود نوعين من عينات شاذة، لأسباب متعارضة تماماً. الأولى هي تلك الشاذة بشكل لا يمكن تجنبه لأنها ناتجة عن ظروف خاصة هي نفسها شاذة. الأمر يتعلق على سبيل المثال

باستخدام قيم جدول البيانات أعلاه لغرض تمثيل مكونات عينتين (التسمية الفرنسية الأصلية المحمية Nyons والتسمية الفرنسية الأصلية المحمية Haute-Provence) مأخوذة كمثال، التمثيلات معبرة بوضوح. تظهر خصائص الزيوت على الفور، مثلاً، المحتوى المرتفع جداً لعنيدة Haute-Provence من حمض مارجارولييك C17:1ω8 من حمض Provence (شكل 7).



شكل 7. تمثيل ردار للعينتين الواردتين من التسمية الفرنسية الأصلية للمحمية Nyons والتسمية الفرنسية الأصلية للمحمية Haute-Provence من خلال قاعدة بيانات جديدة.

من أجل التزود بأداة دائمة، ينبغي تعين الحدود بواسطة بيانات إحصائية. في الواقع، إذا كانت حدود نطاق التغيير محددة ببساطة بالقيمة الدنيا والقيمة القصوى، فإن إضافة عناصر جديدة قد يؤدي من حين لآخر إلى تعديلات كبيرة في التمثيلات. فضلاً عن ذلك، يمكن الحصول على تمثيل أفضل من خلال إزاحة مركز نطاق التغيير وفقاً لتوزيع القيم.

بعد عمليات محاكاة مختلفة، تم الحصول على أفضل النتائج لحساب مركز مجال التغيير من خلال المتوسط الميتور أو المتوسط المخفض الذي أضيفت إليه القيمة المطلقة لفارق بين المتوسط والمتوسط. تم حساب الحد السفلي والحد العلوي على التوالي عن طريق طرح وإضافة الانحراف المعياري مرتبين إلى مركز مجال التغييرات. (جدول 6أ و6ب).

FATG-DB-06	Moyenne	Médiane	Moyenne réduite 0,25	Écart-type	Minimum	Maximum
C16:0	12,07	11,68	11,83	1,91	8,43	19,68
C16:1ω9	0,12	0,13	0,12	0,03	0,06	0,20
C16:1ω7	0,92	0,81	0,84	0,44	0,26	2,80
C17:0	0,08	0,07	0,08	0,04	0,04	0,21
C17:1ω8	0,15	0,12	0,14	0,08	0,05	0,35
C18:0	2,54	2,53	2,51	0,53	1,56	4,13
C18:1ω9	71,55	72,90	72,24	5,30	48,94	79,48
C18:1ω7	2,33	2,20	2,27	0,60	1,20	4,87
C18:2ω6	8,68	7,88	8,29	3,37	2,93	19,93
C18:3ω3	0,68	0,64	0,66	0,11	0,49	1,01
C20:0	0,41	0,41	0,41	0,06	0,28	0,58
C20:1ω9	0,29	0,28	0,29	0,04	0,20	0,40
C22:0	0,12	0,12	0,12	0,02	0,08	0,18
C24:0	0,06	0,06	0,06	0,01	0,04	0,08

جدول 5أ. خصائص توزيعات الأحماض الدهنية من خلال ست فنات من العينات المحددة في الجدول 4

المتوسط	Moyenne
المتوسط	Médiane
متوسط مخفض 0,25	Moyenne réduite 0,25
الانحراف المعياري	Écart-type
الحد الأدنى	Minimum
الحد الأقصى	Maximum

FATG-DB-06	Moyenne	Médiane	Moyenne réduite 0,25	Écart-type	Minimum	Maximum
LLL	0,17	0,12	0,14	0,15	0,04	0,97
OLnL	0,28	0,24	0,26	0,14	0,08	0,90
PLnL	0,07	0,06	0,06	0,04	0,02	0,29
LOL	2,21	1,86	2,01	1,27	0,37	6,17
OLnO	1,64	1,58	1,61	0,25	1,17	2,65
PLL	0,77	0,58	0,65	0,65	0,12	4,10
PLnO	0,77	0,73	0,73	0,21	0,46	1,92
L00	13,18	13,21	13,19	3,10	5,50	20,26
Po00	1,80	1,72	1,75	0,54	0,98	3,17
PLO	6,26	5,75	6,00	2,42	2,33	15,65
PoOP	0,94	0,81	0,89	0,40	0,28	2,28
PLP	0,72	0,59	0,63	0,52	0,19	3,61
OO0	41,08	42,94	41,62	7,37	16,58	54,20
SLO	0,93	0,87	0,89	0,35	0,28	1,97
P00	20,41	20,47	20,45	2,12	14,68	26,38
POP	3,35	3,27	3,29	0,63	1,99	5,59
SO0	3,88	3,75	3,83	0,93	1,72	6,00
SOP	0,90	0,87	0,89	0,19	0,54	1,53
POA	0,51	0,50	0,50	0,11	0,27	0,80

جدول 5ب. خصائص توزيعات الجليسيريدات الثلاثية من خلال ست فنات من العينات المحددة في الجدول 4

المتوسط	Moyenne
المتوسط	Médiane
متوسط مخفض 0,25	Moyenne réduite 0,25
الانحراف المعياري	Écart-type
الحد الأدنى	Minimum
الحد الأقصى	Maximum

FATG-DB-06	Centre de plage de variation	Borne inférieure	Borne supérieure
LLL	0,18	-0,11	0,48
OLnL	0,29	0,01	0,57
PLnL	0,07	-0,01	0,15
LOL	2,36	-0,18	4,91
OLnO	1,67	1,18	2,16
PLL	0,84	-0,45	2,13
PLnO	0,77	0,34	1,19
LOO	13,15	6,95	19,36
PoOO	1,83	0,76	2,90
PLO	6,52	1,68	11,37
PoOP	1,02	0,22	1,81
PLP	0,76	-0,27	1,80
OOO	39,76	25,03	54,49
SLO	0,95	0,24	1,66
POO	20,39	16,16	24,62
POP	3,37	2,11	4,63
SOO	3,97	2,11	5,83
SOP	0,92	0,54	1,29
POA	0,52	0,30	0,73

مركز نطاق التغير  
الحد السفلي  
الحد العلوي

Centre de plage de variation  
Borne inférieure  
Bonne superiéure

جدول 6ب: الخصائص الجديدة لتوزيعات الأحماض الدهنية من أجل توسيع التمثيل البياني

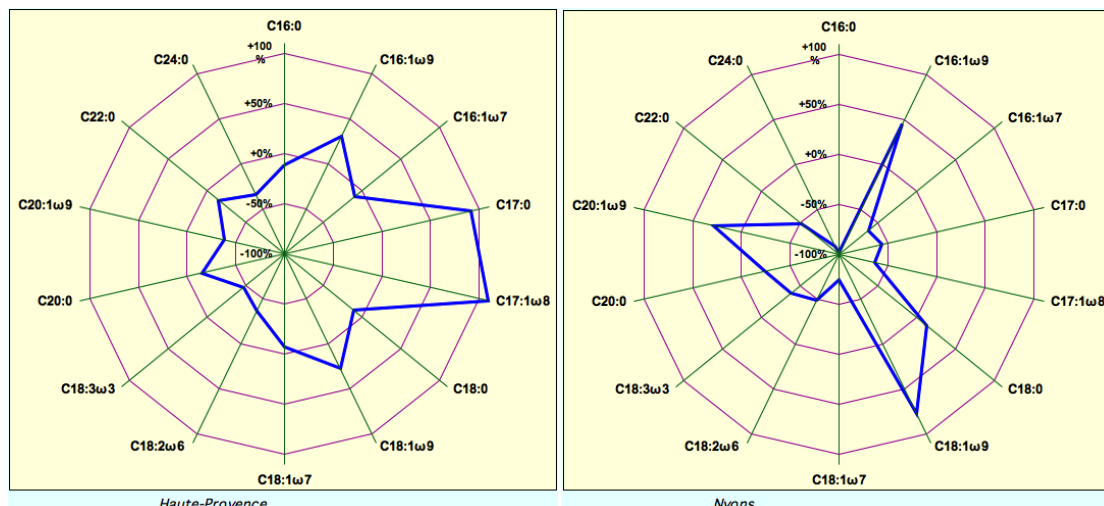
FATG-DB-06	Centre de plage de variation	Borne inférieure	Borne supérieure
C16:0	12,22	8,40	16,05
C16:1ω9	0,12	0,07	0,17
C16:1ω7	0,94	0,06	1,82
C17:0	0,10	0,01	0,18
C17:1ω8	0,18	0,02	0,33
C18:0	2,51	1,46	3,56
C18:1ω9	70,88	60,28	81,48
C18:1ω7	2,40	1,19	3,61
C18:2ω6	9,10	2,35	15,85
C18:3ω3	0,70	0,47	0,93
C20:0	0,41	0,30	0,52
C20:1ω9	0,29	0,21	0,37
C22:0	0,12	0,08	0,17
C24:0	0,06	0,04	0,07

مركز نطاق التغير  
الحد السفلي  
الحد العلوي

Centre de plage de variation  
Borne inférieure  
Bonne superiéure

جدول 6أ: الخصائص الجديدة لتوزيعات الأحماض الدهنية من أجل توسيع التمثيل البياني

مع عينات من أصلين مأخوذتين كمثال، تم توسيع التمثيلات باستخدام هذه السلسلة الجديدة من القيم. الأشكال الناتجة تعبر بطريقة قصوى عن خصائص الزيوت وهي سهلة في التحديد البصري (شكل 8).



شكل 8: تمثيل ردار موسع للأحماض الدهنية للعينتين الواردتين من التسمية الفرنسية الأصلية المحمية Nyons والتسمية الفرنسية الأصلية المحمية- Provence.

## العينة.

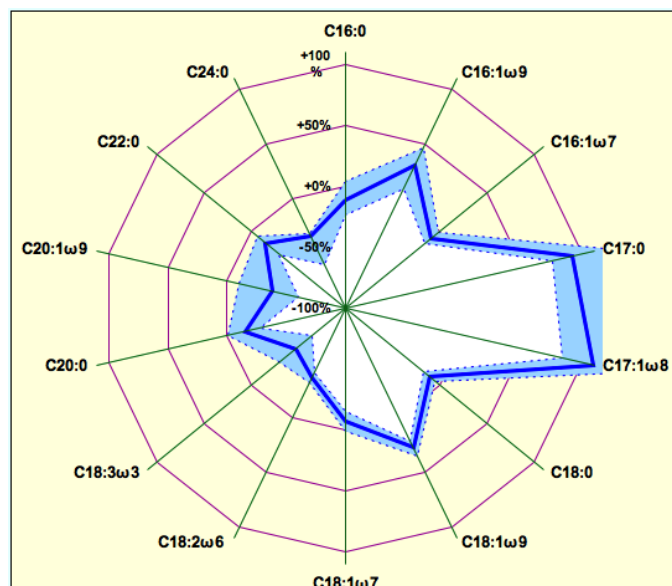
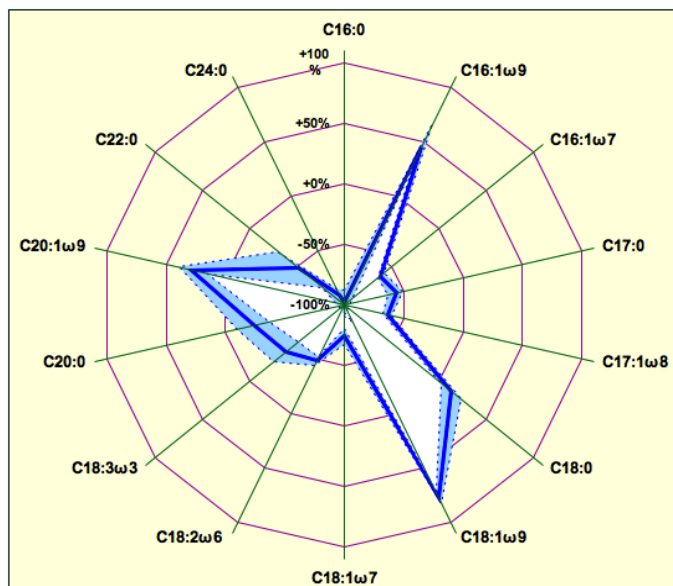
بالنسبة لتمثيل المجموعات (الصنف، التسميات الفرنسية الأصلية المحمية AOP، الدولة)، لغرض تصويب التغيرات الداخلية بشكل أفضل، يتم إكمال التمثيل بإضافة الربع الأول والربع الثالث (تخطيط منقط). نطق "الأنماط المورفولوجية" على التمثيل. مثلاً، النط. المورفولوجي "AOP Nyons" تشكل من خلال التركيب من الأحماض الدهنية لعدد 151 عينة زيت زيتون من Nyons، تم تجميعها في 15 حملة. النط. المورفولوجي "AOP Haute-Provence" تشكل من خلال التركيب من الأحماض الدهنية لعدد 141 عينة زيت زيتون من Haute-Provence، تم تجميعها في 12 حملة (شكل 9).

## 3.3.4. تطبيق على التحقق من منشأ الزيوت

تم التتحقق من تجانس العينات الواردة من التسميات الفرنسية الأصلية المحمية AOP وكذا تحديد هويتها من خلال تركيباتها من الأحماض الدهنية والجليسريدات الثلاثية. والفترتان التاليتان تعرضا بالتفصيل لنمط العمل للتحقق من تطابق العينات بالنسبة لاثنتين من هذه التسميات (Haute و-Nyons Provence).

## 3.3.4.1 مفاهيم المورفogramm والأنماط المورفولوجية

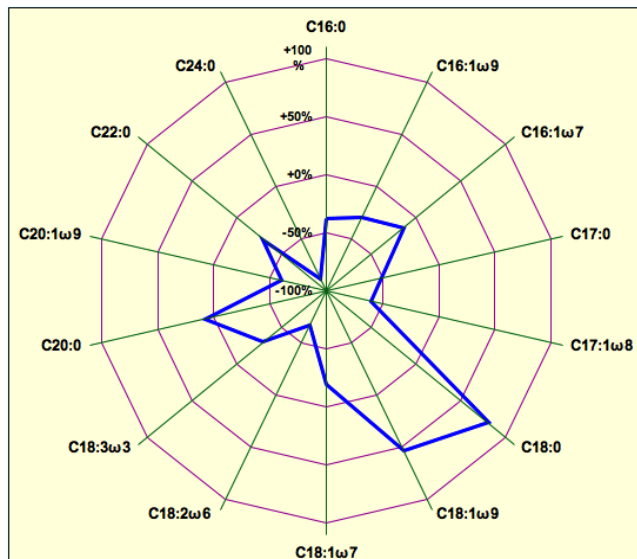
نطق كلمة "مورفogram" على التمثيل البياني للتركيبات من الأحماض الدهنية ومن الجليسريدات الثلاثية لعينة تبعاً للطريقة الموضحة أعلاه فالأمر يتعلق بحقيقة "بصمة رقمية" لمنشأ



شكل 9. الأنماط المورفولوجية للتركيبات من الأحماض الدهنية للتسميات الفرنسية الأصلية المحمية AOP Nyons و-Haute-Provence.

مع أي من التسميتين الفرنسيتين الأصليتين المحميتيين AOP المماثلتين في شكل 9. الأمر يتعلق في الواقع بعينة الصنف "بيكوال".

تطابقة المورفogram بالنمط. المورفولوجي يسمح بسرعة شديدة بإعطاء التشخيص حول المنشأ الفعلي للعينة. مثلاً، يظهر على الفور أن العينة الممثلة في الشكل 10 أدناه لا تتوافق



شكل 10: مورفوغرام الأحماض الدهنية لعينة الصنف "Picual"

### اختبار بواسطة التجميعات

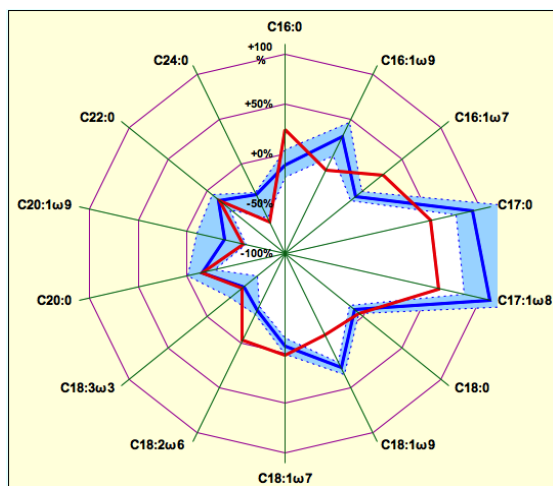
بتعمق أكثر، الشكل 11 ب يبين النطاق الكامل لتغيرات الأحماض الدهنية لجميع عينات التسميات الفرنسية الأصلية المحمية AOP Nyons (n=151) لبنك البيانات دون الاقتصار على الرابع الأول والثالث. تتوارد عينة الاختبار في حد نطاقات التغيرات على العديد من المكونات (أحماض بالميتيك، مارجاريليك، مارجاروليبيك، أوليليك، فاكسينيك)، ولكنها توجد على وجه الخصوص بوضوح خارج مجال التغيرات لحمض بالميتوليليك (شكل 11 ب، السهم الأحمر). لغرض دعم هذه النتيجة، يتم تطبيق نهج مشابه على التركيب من الجليسيريدات الثلاثية لخلط احتلaciي والتسمية الفرنسية الأصلية المحمية AOP Nyons. الشكل 11 ج يوضح العديد من القيم الحدية للجليسيريدات الثلاثية لعينة احتلaciي بالنسبة لذائق الخاصة بالتسمية الفرنسية الأصلية المحمية AOP Nyons وجلسيدي ثلاثي (PoOP، السهم الأحمر) خارج مجال التغيرات القصوى. من الممكن إذاً رفض هذه العينة على أنها غير مطابقة لتركيب زيت Nyons.

تم تنفيذ اختبارين من خلال تجميعات مختلفة، تم الحصول عليهما من خلال تركيبات عينات حقيقة أخذت عشوائياً في قاعدة البيانات.

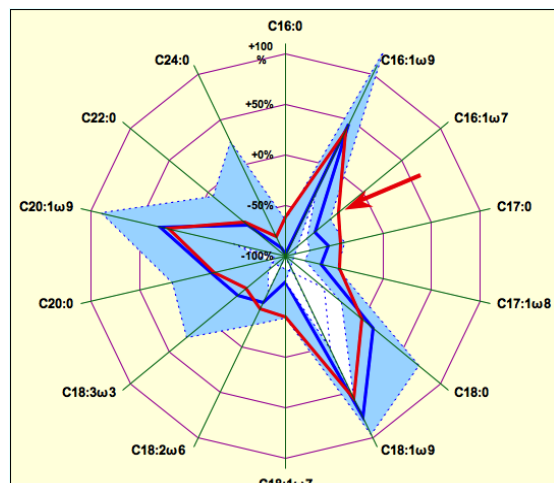
الاختبار الأول يخص عينة مختلفة تشكلت من خلال تجميع 20% من عينة الصنف "أربيكينا" و 80% من عينة التسمية الفرنسية الأصلية المحمية AOP Nyons التي تم الحصول على تركيبتها من الأحماض الدهنية بواسطة الحساب.

مورفوغرام هذه العينة (باللون الأحمر) مطابق للنمط المورفولوجي للتسميات الفرنسية الأصلية المحمية AOP Nyons (باللون الأزرق) (شكل 11 أ). هناك تطابق شديد بين تمثيلات اثنين من الزيت، ولكن العديد من نقاط المخطط الأحمر تبتعد عن المخطط الأزرق، وبخاصة بالنسبة للأحماض بالميتيك وبالميتوليليك ومارجاريليك ومارجاروليبيك وأوليليك Z-فاكسينيك وحمض لينوليليك. وهذه الملاحظة تضع هذه العينة في موضع شك كبير فيما يتعلق بمنشأ التسمية الفرنسية الأصلية المحمية AOP Nyons وضرورة الفحص

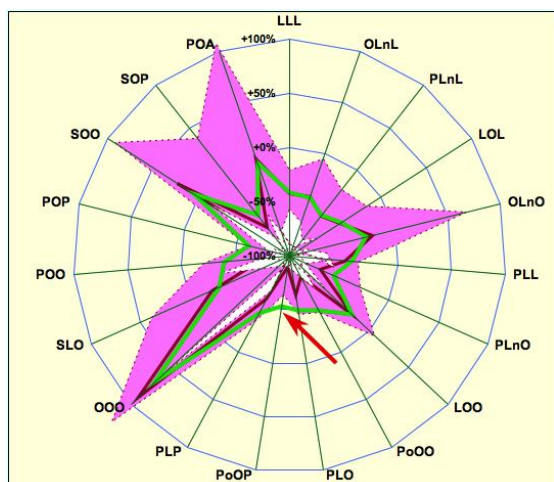
تم تنفيذ الاختبار الثاني من خلال عينة زيت تونسي أخذت عشوائياً، بارتفاع 20% وعينة Haute-Provence (80%). يمكن الحصول على نفس النتيجة من خلال نفس مخطط العمل. تم التعرف على خمس نقاط مشبوبة على الشكل 12: C12:0، C17:1ω8، C17:0، C16:1ω7، C16:0 ، C18:2ω6 ، C18:1ω9 ، C18:1ω7 ، C18:2ω6 ، C18:3ω3 ، C20:0 ، C20:1ω9 ، C22:0 ، C24:0 ، C16:1ω9 ، C16:1ω7 ، C17:0 ، C18:0 ، C18:1ω7 ، C18:1ω9 ، C18:2ω6 ، C18:3ω3 ، C20:0 ، C20:1ω9 ، C22:0 ، C24:0 ، C16:0 . في شكل 12ب، تخرج نقطة من المنطقة باللون الأزرق والأخرى ضمن الحد، وهو ما يقود إلى استبعاد العينة من العينات الممكنة للتسمية الفرنسية الأصلية المحمية AOP Haute-Provence. يتضح الشكل 12ج الحصول على تأكيد هذه الخاتمة من خلال التركيب من الجليسيريدات الثلاثية.



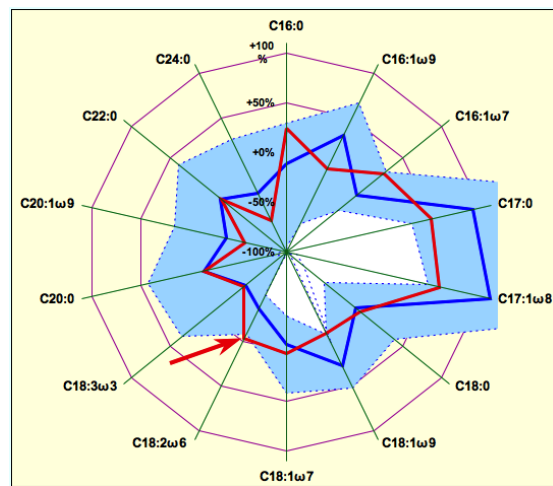
شكل 12أ: وضعية مميزة لمورفogram الأحماض الدهنية للعينة الاختلاقية بالنط المورفولوجي للأحماض الدهنية للتسمية الفرنسية الأصلية المحمية AOP Haute-Provence



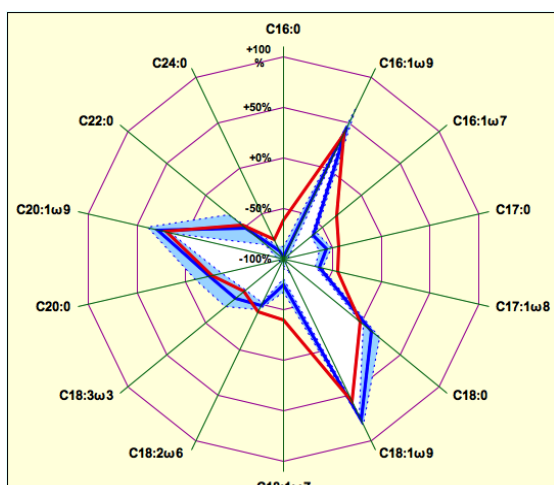
شكل 11ب: وضعية مميزة لمورفogram الأحماض الدهنية للعينة الاختلاقية بالنط المورفولوجي للأحماض الدهنية للتسمية الفرنسية الأصلية المحمية AOP Nyons مع الحد الأقصى لمجال التغير



شكل 11ج: وضعية مميزة لمورفogram الجليسيريدات الثلاثية للعينة الاختلاقية بالنط المورفولوجي للجليسيريدات الثلاثية للتسمية الفرنسية الأصلية المحمية AOP Nyons مع الحد الأقصى لمجال التغير



شكل 12ب: وضعية مميزة لمورفogram الأحماض الدهنية للعينة الاختلاقية بالنط المورفولوجي للأحماض الدهنية للتسمية الفرنسية الأصلية المحمية AOP Haute-Provence مع الحد الأقصى لمجال التغير

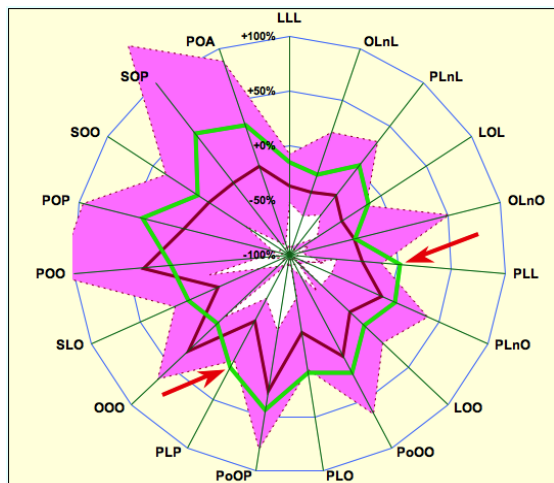


شكل 11أ: وضعية مميزة لمورفogram الأحماض الدهنية للعينة الاختلاقية بالنط المورفولوجي للأحماض الدهنية للتسمية الفرنسية الأصلية المحمية AOP Nyons على الرابع الأول والرابع الثالث

## النتائج

طريقة تمثيل التركيب من الأحماض الدهنية ومن الجليسريدات الثلاثية للعينات بواسطة المورفونغرام وللكيانات (أصناف، التسميات الفرنسية الأصلية المحمية AOP، الدول) عن طريق مجمل الصفات المورفولوجية تتيح عمل تحقق سريع لمطابقة المنشآ. قواعد البيانات التي تتيح إنشاء أنماط مورفولوجية يمكن إثرائها في كل حملة إنتاج لغرض إدماج خصائص كل واحدة من الحملات. إلا أنه ينبغي التتحقق من العينات المدرجة واحدة تلو الأخرى، في حين أن استعمال هذه الطريقة يجعل هذا التتحقق سهلاً وسريراً.

يمكن تطبيق هذه الطريقة بواسطة أي مختبر لديه القدرة على إجراء التحليلات الضرورية. الأنماط المورفولوجية المرجعية للتسميات المتاحة، وكذلك الأدوات التي تتيح استخدامها للتحقق من المطابقة يمكن تنزيلها من موقع AFIDOL الانترنэт.



**شكل 12ج:** وضعية مميزة لمورفوغرام الجليسريدات الثلاثية للعينة الاختلاقية بالنمط المورفولوجي للجليسريدات الثلاثية للتسممية الفرنسية الأصلية AOP مع الحد الأقصى لمجال التغير

المراجع

- [5] Ollivier D., Artaud J., Pinatel C., Durbec J. P., Guérère M., (2006). Differentiation of french virgin olive oil RDOs by sensory characteristics, fatty acid and triacylglycerol compositions and chemometrics. *Food Chem.*, 97: 382-393.

[6] Ollivier D., (2006). Compositions en acides gras et en triglycérides d'huiles d'olive vierges françaises (*Oleaeuropaea*, *subspeuropaea*). Application à la détermination de leurs origines variétales et géographiques. Thèse de Doctorat en Sciences. Université Paul Cézanne (Aix-Marseille III), France.

[7] Pinatel C., Jourdan J.-P., Ollivier D., Artaud J., Lassale J., (2006). Déroulement de la maturité de la Tanche dans le Nyonsais. *Le Nouvel Olivier*, N°53, 3-9

[1]<http://ec.europa.eu/agriculture/quality/door/list.htm>

[2] Ollivier D., Artaud J., Pinatel C., Durbec J. P., Guérère M., (2003). Triacylglycerol and fatty acid compositions of French virgin olive oils. Characterisation by chemometrics. *J. Agric. Food Chem.*, 51: 5223-5731.

[3] Ollivier D., Pinatel C., Dupuy N., Guérère M., Artaud J., (2007). Caractérisations sensorielles et chimiques d'huiles d'olive vierges de six AOC françaises. *OCL*, 14, n°2, 116-129.

[4] Forina M., Tiscornia E. (1982). Pattern recognition methods in the prediction of Italian olive oil origine by their fatty acid content. *Ann. Chim.*, 72, 143-155

# OLIVÆ



المجلة الرسمية للمجلس الدولي لزيتون

**Official Journal of the International Olive Council**

**Journal officiel du Conseil oléicole international**

**Revista Oficial del Consejo Oleícola Internacional**

**Rivista Ufficiale del Consiglio Oleicolo Internazionale**